

Regione Piemonte

CITTA' METROPOLITANA DI TORINO



COMUNE DI CAPRIE

**LAVORI DI SISTEMAZIONE IDRAULICA
RIO CALCINERA E REALIZZAZIONE
DI AREE DI LAMINAZIONE**

- PROGETTO ESECUTIVO LOTTO PRIMO -

il progettista

ing. Roberto Truffa Giachet

il responsabile del servizio

geom. Patrizia Volturno

allegato

U

oggetto

**CALCOLI STRUTTURALI:
RELAZIONE E TABULATI CANALE**

rif. 211474

data Novembre '21

1	29/03/2021	PROGETTO DEFINITIVO	4		
2	02/11/2021	PROGETTO ESECUTIVO	5		
3			6		
EMISSIONE		NOTE	EMISSIONE		NOTE

Progetto: Canale in c.a.
Ditta: Comune di Caprie
Comune: Comune di Caprie
Progettista: ing. Roberto Truffa Giachet
Direttore dei Lavori: ing. Roberto Truffa Giachet
Impresa:

Normative di riferimento

- Legge nr. 1086 del 05/11/1971.

Norme per la disciplina delle opere in conglomerato cementizio, normale e precompresso ed a struttura metallica.

- Legge nr. 64 del 02/02/1974.

Provvedimenti per le costruzioni con particolari prescrizioni per le zone sismiche.

- D.M. LL.PP. del 11/03/1988.

Norme tecniche riguardanti le indagini sui terreni e sulle rocce, la stabilità dei pendii naturali e delle scarpate, i criteri generali e le prescrizioni per la progettazione, l'esecuzione e il collaudo delle opere di sostegno delle terre e delle opere di fondazione.

- D.M. LL.PP. del 14/02/1992.

Norme tecniche per l'esecuzione delle opere in cemento armato normale e precompresso e per le strutture metalliche.

- D.M. 9 Gennaio 1996

Norme Tecniche per il calcolo, l'esecuzione ed il collaudo delle strutture in cemento armato normale e precompresso e per le strutture metalliche

- D.M. 16 Gennaio 1996

Norme Tecniche relative ai 'Criteri generali per la verifica di sicurezza delle costruzioni e dei carichi e sovraccarichi'

- D.M. 16 Gennaio 1996

Norme Tecniche per le costruzioni in zone sismiche

- Circolare Ministero LL.PP. 15 Ottobre 1996 N. 252 AA.GG./S.T.C.

Istruzioni per l'applicazione delle Norme Tecniche di cui al D.M. 9 Gennaio 1996

- Circolare Ministero LL.PP. 10 Aprile 1997 N. 65/AA.GG.

Istruzioni per l'applicazione delle Norme Tecniche per le costruzioni in zone sismiche di cui al D.M. 16 Gennaio 1996

Norme Tecniche 2018 (D.M. 17/01/2018)

Spinta sui piedritti

Spinta attiva - Metodo di Coulomb

La teoria di Coulomb considera l'ipotesi di un cuneo di spinta a monte della parete che si muove rigidamente lungo una superficie di rottura rettilinea. Dall'equilibrio del cuneo si ricava la spinta che il terreno esercita sull'opera di sostegno. In particolare Coulomb ammette, al contrario della teoria di Rankine, l'esistenza di attrito fra il terreno e la parete, e quindi la retta di spinta risulta inclinata rispetto alla normale alla parete stesso di un angolo di attrito terra-parete.

L'espressione della spinta esercitata da un terrapieno, di peso di volume γ , su una parete di altezza H , risulta espressa secondo la teoria di Coulomb dalla seguente relazione (per terreno incoerente)

$$S = 1/2\gamma H^2 K_a$$

K_a rappresenta il coefficiente di spinta attiva di Coulomb nella versione riveduta da Muller-Breslau, espresso come

$$K_a = \frac{\sin(\alpha + \phi)}{\sqrt{[\sin(\phi+\delta)\sin(\phi-\beta)]} \left[\sin^2\alpha \sin(\alpha-\delta) [1 + \frac{\sqrt{[\sin(\alpha-\delta)\sin(\alpha+\beta)]}}{\sqrt{[\sin(\alpha-\delta)\sin(\alpha+\beta)]}}]^2 \right]}$$

dove ϕ è l'angolo d'attrito del terreno, α rappresenta l'angolo che la parete forma con l'orizzontale ($\alpha = 90^\circ$ per parete verticale), δ è l'angolo d'attrito terreno-parete, β è l'inclinazione del terrapieno rispetto all'orizzontale.

La spinta risulta inclinata dell'angolo d'attrito terreno-parete δ rispetto alla normale alla parete.

Il diagramma delle pressioni del terreno sulla parete risulta triangolare con il vertice in alto. Il punto di applicazione della spinta si trova in corrispondenza del baricentro del diagramma delle pressioni ($1/3 H$ rispetto alla base della parete). L'espressione di K_a perde di significato per $\beta > \phi$. Questo coincide con quanto si intuisce fisicamente: la pendenza del terreno a monte della parete non può superare l'angolo di natural declivio del terreno stesso.

Nel caso di terreno dotato di attrito e coesione c l'espressione della pressione del terreno ad una generica profondità z vale

$$\sigma_a = \gamma z K_a - 2 c \sqrt{K_a}$$

Spinta in presenza di falda

Nel caso in cui a monte della parete sia presente la falda il diagramma delle pressioni sulla parete risulta modificato a causa della sottospinta che l'acqua esercita sul terreno. Il peso di volume del terreno al di sopra della linea di falda non subisce variazioni. Viceversa al di sotto del livello di falda va considerato il peso di volume di galleggiamento

$$\gamma_a = \gamma_{sat} - \gamma_w$$

dove γ_{sat} è il peso di volume saturo del terreno (dipendente dall'indice dei pori) e γ_w è il peso di volume dell'acqua. Quindi il diagramma delle pressioni al di sotto della linea di falda ha una pendenza minore. Al diagramma così ottenuto va sommato il diagramma triangolare legato alla pressione idrostatica esercitata dall'acqua.

Spinta a Riposo

Si assume che sui piedritti agisca la spinta calcolata in condizioni di riposo.
Il coefficiente di spinta a riposo è espresso dalla relazione

$$K_0 = 1 - \sin\phi$$

dove ϕ rappresenta l'angolo d'attrito interno del terreno di rinfianco.

Quindi la pressione laterale, ad una generica profondità z e la spinta totale sulla parete di altezza H valgono

$$\sigma = \gamma z K_0 + p_v K_0$$

$$S = 1/2 \gamma H^2 K_0 + p_v K_0 H$$

dove p_v è la pressione verticale agente in corrispondenza della calotta.

Spinta in presenza di sisma - Metodo di Mononobe-Okabe

Per tener conto dell'incremento di spinta dovuta al sisma si fa riferimento al metodo di Mononobe-Okabe (cui fa riferimento la Normativa Italiana).

La Normativa Italiana suggerisce di tener conto di un incremento di spinta dovuto al sisma nel modo seguente.

Detta ε l'inclinazione del terrapieno rispetto all'orizzontale e β l'inclinazione della parete rispetto alla verticale, si calcola la spinta S' considerando un'inclinazione del terrapieno e della parete pari a

$$\varepsilon' = \varepsilon + \theta$$

$$\beta' = \beta + \theta$$

dove $\theta = \arctg(k_h/(1 \pm k_v))$ essendo k_h il coefficiente sismico orizzontale e k_v il coefficiente sismico verticale, definito in funzione di k_h .

Detta S la spinta calcolata in condizioni statiche l'incremento di spinta da applicare è espresso da

$$\Delta S = AS' - S$$

dove il coefficiente A vale

$$A = \frac{\cos^2(\beta + \theta)}{\cos^2 \beta \cos \theta}$$

Tale incremento di spinta deve essere applicato ad una distanza dalla base pari a 1/2 dell'altezza della parete.

Oltre a questo incremento bisogna tener conto delle forze d'inerzia orizzontali che si destano per effetto del sisma. Tale forza viene valutata come

$$F_i = CW$$

dove W è il peso della parete e dei relativi sovraccarichi permanenti e va applicata nel baricentro dei pesi.

Strategia di soluzione

A partire dal tipo di terreno, dalla geometria e dai sovraccarichi agenti il programma è in grado di conoscere tutti i carichi agenti sulla struttura per ogni combinazione di carico.

La struttura scatolare viene schematizzata come un telaio piano e viene risolta mediante il metodo degli elementi finiti (FEM). Più dettagliatamente il telaio viene discretizzato in una serie di elementi connessi fra di loro nei nodi.

Il terreno di rinfianco e di fondazione viene invece schematizzato con una serie di elementi molle non reagenti a trazione (modello di Winkler). L'area della singola molla è direttamente proporzionale alla costante di Winkler del terreno e all'area di influenza della molla stessa.

A partire dalla matrice di rigidezza del singolo elemento, K_e , si assembla la matrice di rigidezza di tutta la struttura K . Tutti i carichi agenti sulla struttura vengono trasformati in carichi nodali(reazioni di incastro perfetto) ed inseriti nel vettore dei carichi nodali p .

Indicando con u il vettore degli spostamenti nodali (incogniti), la relazione risolutiva può essere scritta nella forma

$$K u = p$$

Da questa equazione matriciale si ricavano gli spostamenti incogniti u

$$u = K^{-1} p$$

Noti gli spostamenti nodali è possibile risalire alle sollecitazioni nei vari elementi.

La soluzione del sistema viene fatta per ogni combinazione di carico agente sullo scatolare. Il successivo calcolo delle armature nei vari elementi viene condotto tenendo conto delle condizioni più gravose che si possono verificare nelle sezioni fra tutte le combinazioni di carico.

Geometria scatolare

Descrizione: Scatolare tipo vasca

Altezza esterna	3,60	[m]
Larghezza esterna	3,60	[m]
Lunghezza mensola di fondazione sinistra	0,50	[m]
Lunghezza mensola di fondazione destra	0,50	[m]
Spessore piedritto sinistro	0,30	[m]
Spessore piedritto destro	0,30	[m]
Spessore fondazione	0,40	[m]

Caratteristiche strati terreno

Strato di rinfianco

Descrizione	Terreno di rinfianco	
Peso di volume	1800,00	[kg/mc]
Peso di volume saturo	2000,00	[kg/mc]
Angolo di attrito	32,00	[°]
Angolo di attrito terreno struttura	20,00	[°]
Coesione	0,00	[kg/cmq]
Costante di Winkler	0,00	[kg/cmq/cm]

Strato di base

Descrizione	Terreno di base	
Peso di volume	1800,00	[kg/mc]
Peso di volume saturo	2000,00	[kg/mc]
Angolo di attrito	32,00	[°]
Angolo di attrito terreno struttura	20,00	[°]
Coesione	0,00	[kg/cmq]
Costante di Winkler	5,00	[kg/cmq/cm]
Tensione ammissibile	2,00	[kg/cmq]

Caratteristiche materiali utilizzati

Materiale calcestruzzo

R _{ck} calcestruzzo	300,00	[kg/cmq]
Peso specifico calcestruzzo	2500,00	[kg/mc]
Modulo elastico E	314471,61	[kg/cmq]
Tensione ammissibile acciaio	2600,00	[kg/cmq]
Tensione ammissibile cls (σ_{amm})	97,50	[kg/cmq]
Tensione tang.ammissibile cls (τ_{c0})	6,00	[kg/cmq]
Tensione tang.ammissibile cls (τ_{c1})	18,29	[kg/cmq]
Coeff. omogeneizzazione cls teso/compresso (n')	0,50	
Coeff. omogeneizzazione acciaio/cls (n)	15,00	
Coefficiente dilatazione termica	0,0000120	

Condizioni di carico

Convenzioni adottate

Origine in corrispondenza dello spigolo inferiore sinistro della struttura

Carichi verticali positivi se diretti verso il basso
 Carichi orizzontali positivi se diretti verso destra
 Coppie concentrate positive se antiorarie
 Ascisse X (espresse in m) positive verso destra
 Ordinate Y (espresse in m) positive verso l'alto
 Carichi concentrati espressi in kg
 Coppie concentrate espressi in kgm
 Carichi distribuiti espressi in kg/m

Simbologia adottata e unità di misura

Forze concentrate

X	ascissa del punto di applicazione dei carichi verticali concentrati
Y	ordinata del punto di applicazione dei carichi orizzontali concentrati
F _y	componente Y del carico concentrato
F _x	componente X del carico concentrato
M	momento

Forze distribuite

X _i , X _f	ascisse del punto iniziale e finale per carichi distribuiti verticali
Y _i , Y _f	ordinate del punto iniziale e finale per carichi distribuiti orizzontali
V _{ni}	componente normale del carico distribuito nel punto iniziale
V _{nf}	componente normale del carico distribuito nel punto finale
V _{ti}	componente tangenziale del carico distribuito nel punto iniziale
V _{tf}	componente tangenziale del carico distribuito nel punto finale
D _{te}	variazione termica lembo esterno espressa in gradi centigradi
D _{ti}	variazione termica lembo interno espressa in gradi centigradi

Condizione di carico n°1 (Peso Proprio)

Condizione di carico n°2 (Spinta terreno sinistra)

Condizione di carico n°3 (Spinta terreno destra)

Condizione di carico n°4 (Sisma da sinistra)

Condizione di carico n°5 (Sisma da destra)

Impostazioni di progetto

Verifica materiali:

Stato Limite Ultimo

Coefficiente di sicurezza calcestruzzo γ_c	1.60
Fattore riduzione da resistenza cubica a cilindrica	0.83
Fattore di riduzione per carichi di lungo periodo	0.85
Coefficiente di sicurezza acciaio	1.15
Coefficiente di sicurezza per la sezione	1.00

Verifica Taglio - Metodo dell'inclinazione variabile del traliccio

$$V_{Rd} = [0.18*k*(100.0*p_l*fck)^{1/3}/\gamma_c + 0.15*\sigma_{cp}]*bw*d > (vmin + 0.15*\sigma_{cp})*b_w*d$$

$$V_{Rsd} = 0.9*d*A_{sw}/s*f_y d * (\text{ctg}\alpha + \text{ctg}\theta) * \sin\alpha$$

$$V_{Rcd} = 0.9*d*b_w*\alpha_c*f_cd * (\text{ctg}(0) + \text{ctg}(\alpha)) / (1.0 + \text{ctg}^2\theta)$$

con:

d	altezza utile sezione [mm]
b _w	larghezza minima sezione [mm]
σ_{cp}	tensione media di compressione [N/mm ²]
p_l	rapporto geometrico di armatura
A _{sw}	area armatura trasversale [mm ²]
s	interasse tra due armature trasversali consecutive [mm]
α_c	coefficiente maggiorativo, funzione di fcd e σ_{cp}

$$\begin{aligned}f_{cd}' &= 0.5 \cdot f_{cd} \\k &= 1 + (200/d)^{1/2} \\v_{min} &= 0.035 \cdot k^{3/2} \cdot f_{ck}^{1/2}\end{aligned}$$

Stato Limite di Esercizio

Criteri di scelta per verifiche tensioni di esercizio:

Ambiente poco aggressivo

Limite tensioni di compressione nel calcestruzzo (comb. rare) 0.60 f_{ck}

Limite tensioni di compressione nel calcestruzzo (comb. quasi perm.) 0.45 f_{ck}

Limite tensioni di trazione nell'acciaio (comb. rare) 0.70 f_{yk}

Criteri verifiche a fessurazione:

Armatura sensibile

Apertura limite fessure espresse in [mm]

Apertura limite fessure w1=0,10 w2=0,20 w3=0,40

Verifiche secondo :

Norme Tecniche 2008 - Approccio 1

Coprifero sezioni 3,00 [cm]

Descrizione combinazioni di carico

Simbologia adottata

γ	Coefficiente di partecipazione della condizione
ψ	Coefficiente di combinazione della condizione
C	Coefficiente totale di partecipazione della condizione

Norme Tecniche 2008

Simbologia adottata

γ_{G1sfav}	Coefficiente parziale sfavorevole sulle azioni permanenti
γ_{G1fav}	Coefficiente parziale favorevole sulle azioni permanenti
γ_{G2sfav}	Coefficiente parziale sfavorevole sulle azioni permanenti non strutturali
γ_{G2fav}	Coefficiente parziale favorevole sulle azioni permanenti non strutturali
γ_Q	Coefficiente parziale sulle azioni variabili
$\gamma_{tan\phi'}$	Coefficiente parziale di riduzione dell'angolo di attrito drenato
γ_c'	Coefficiente parziale di riduzione della coesione drenata
γ_{cu}	Coefficiente parziale di riduzione della coesione non drenata
γ_{qu}	Coefficiente parziale di riduzione del carico ultimo

Coefficienti di partecipazione combinazioni statiche

Coefficienti parziali per le azioni o per l'effetto delle azioni:

<i>Carichi</i>	<i>Effetto</i>	<i>A1</i>	<i>A2</i>
Permanenti	Favorevole	γ_{G1fav}	1,00
Permanenti	Sfavorevole	γ_{G1sfav}	1,30
Permanenti non strutturali	Favorevole	γ_{G2fav}	0,00
Permanenti non strutturali	Sfavorevole	γ_{G2sfav}	1,50
Variabili	Favorevole	γ_Qfav	0,00
Variabili	Sfavorevole	γ_Qsfav	1,50

Coefficienti parziali per i parametri geotecnici del terreno:

<i>Parametri</i>		<i>M1</i>	<i>M2</i>
Tangente dell'angolo di attrito	$\gamma_{tan\phi'}$	1,00	1,25
Coesione efficace	γ_c'	1,00	1,25
Resistenza non drenata	γ_{cu}	1,00	1,40
Resistenza a compressione uniaxiale	γ_{qu}	1,00	1,60
Peso dell'unità di volume	γ_γ	1,00	1,00

Coefficienti di partecipazione combinazioni sismiche

Coefficienti parziali per le azioni o per l'effetto delle azioni:

<i>Carichi</i>	<i>Effetto</i>	<i>A1</i>	<i>A2</i>
Permanenti	Favorevole	γ_{G1fav}	1,00
Permanenti	Sfavorevole	γ_{G1sfav}	1,00
Permanenti	Favorevole	γ_{G2fav}	0,00
Permanenti	Sfavorevole	γ_{G2sfav}	1,00
Variabili	Favorevole	γ_Qfav	0,00
Variabili	Sfavorevole	γ_Qsfav	1,00

Coefficienti parziali per i parametri geotecnici del terreno:

<i>Parametri</i>		<i>M1</i>	<i>M2</i>
Tangente dell'angolo di attrito	$\gamma_{tan\phi'}$	1,00	1,25
Coesione efficace	γ_c'	1,00	1,25
Resistenza non drenata	γ_{cu}	1,00	1,40
Resistenza a compressione uniaxiale	γ_{qu}	1,00	1,60

Peso dell'unità di volume	γ_γ	1,00	1,00
---------------------------	-----------------	------	------

Coefficienti di partecipazione combinazioni staticheCoefficienti parziali per le azioni o per l'effetto delle azioni:

<i>Carichi</i>	<i>Effetto</i>	<i>A1</i>	<i>A2</i>
Permanenti	Favorevole	γ_{G1fav}	1,00
Permanenti	Sfavorevole	γ_{G1sfav}	1,30
Permanenti non strutturali	Favorevole	γ_{G2fav}	0,00
Permanenti non strutturali	Sfavorevole	γ_{G2sfav}	1,50
Variabili	Favorevole	γ_{Qfav}	0,00
Variabili	Sfavorevole	γ_{Qsfav}	1,50

Coefficienti parziali per i parametri geotecnici del terreno:

<i>Parametri</i>		<i>M1</i>	<i>M2</i>
Tangente dell'angolo di attrito	$\gamma_{tan\phi'}$	1,00	1,25
Coesione efficace	γ_c'	1,00	1,25
Resistenza non drenata	γ_{cu}	1,00	1,40
Resistenza a compressione uniassiale	γ_{qu}	1,00	1,60
Peso dell'unità di volume	γ_γ	1,00	1,00

Coefficienti di partecipazione combinazioni sismicheCoefficienti parziali per le azioni o per l'effetto delle azioni:

<i>Carichi</i>	<i>Effetto</i>	<i>A1</i>	<i>A2</i>
Permanenti	Favorevole	γ_{G1fav}	1,00
Permanenti	Sfavorevole	γ_{G1sfav}	1,00
Permanenti	Favorevole	γ_{G2fav}	0,00
Permanenti	Sfavorevole	γ_{G2sfav}	1,00
Variabili	Favorevole	γ_{Qfav}	0,00
Variabili	Sfavorevole	γ_{Qsfav}	1,00

Coefficienti parziali per i parametri geotecnici del terreno:

<i>Parametri</i>		<i>M1</i>	<i>M2</i>
Tangente dell'angolo di attrito	$\gamma_{tan\phi'}$	1,00	1,25
Coesione efficace	γ_c'	1,00	1,25
Resistenza non drenata	γ_{cu}	1,00	1,40
Resistenza a compressione uniassiale	γ_{qu}	1,00	1,60
Peso dell'unità di volume	γ_γ	1,00	1,00

Coeff. di combinazione $\Psi_0 = 0,70$ $\Psi_1 = 0,50$ $\Psi_2 = 0,20$ Combinazione n° 1 SLU (Caso A1-M1)

	γ	Ψ	C
Peso Proprio	1.30	1.00	1.30
Spinta terreno sinistra	1.30	1.00	1.30
Spinta terreno destra	1.30	1.00	1.30

Combinazione n° 2 SLU (Caso A1-M1)

	γ	Ψ	C
Peso Proprio	1.00	1.00	1.00
Spinta terreno sinistra	1.00	1.00	1.00

Spinta terreno destra	1.00	1.00	1.00
-----------------------	------	------	------

Combinazione n° 3 SLU (Caso A2-M2)

	γ	Ψ	C
Peso Proprio	1.00	1.00	1.00
Spinta terreno sinistra	1.00	1.00	1.00
Spinta terreno destra	1.00	1.00	1.00

Combinazione n° 4 SLU (Caso A2-M2)

	γ	Ψ	C
Peso Proprio	1.00	1.00	1.00
Spinta terreno sinistra	1.00	1.00	1.00
Spinta terreno destra	1.00	1.00	1.00

Combinazione n° 5 SLU (Caso A1-M1) - Sisma Vert. positivo

	γ	Ψ	C
Peso Proprio	1.00	1.00	1.00
Spinta terreno sinistra	1.00	1.00	1.00
Spinta terreno destra	1.00	1.00	1.00
Sisma da sinistra	1.00	1.00	1.00

Combinazione n° 6 SLU (Caso A1-M1) - Sisma Vert. negativo

	γ	Ψ	C
Peso Proprio	1.00	1.00	1.00
Spinta terreno sinistra	1.00	1.00	1.00
Spinta terreno destra	1.00	1.00	1.00
Sisma da sinistra	1.00	1.00	1.00

Combinazione n° 7 SLU (Caso A1-M1) - Sisma Vert. negativo

	γ	Ψ	C
Peso Proprio	1.00	1.00	1.00
Spinta terreno sinistra	1.00	1.00	1.00
Spinta terreno destra	1.00	1.00	1.00
Sisma da sinistra	1.00	1.00	1.00

Combinazione n° 8 SLU (Caso A1-M1) - Sisma Vert. positivo

	γ	Ψ	C
Peso Proprio	1.00	1.00	1.00
Spinta terreno sinistra	1.00	1.00	1.00
Spinta terreno destra	1.00	1.00	1.00
Sisma da sinistra	1.00	1.00	1.00

Combinazione n° 9 SLU (Caso A2-M2) - Sisma Vert. negativo

	γ	Ψ	C
Peso Proprio	1.00	1.00	1.00
Spinta terreno sinistra	1.00	1.00	1.00
Spinta terreno destra	1.00	1.00	1.00
Sisma da sinistra	1.00	1.00	1.00

Combinazione n° 10 SLU (Caso A2-M2) - Sisma Vert. positivo

	γ	Ψ	C
Peso Proprio	1.00	1.00	1.00
Spinta terreno sinistra	1.00	1.00	1.00

Spinta terreno destra	1.00	1.00	1.00
Sisma da sinistra	1.00	1.00	1.00

Combinazione n° 11 SLU (Caso A2-M2) - Sisma Vert. positivo

	γ	Ψ	C
Peso Proprio	1.00	1.00	1.00
Spinta terreno sinistra	1.00	1.00	1.00
Spinta terreno destra	1.00	1.00	1.00
Sisma da sinistra	1.00	1.00	1.00

Combinazione n° 12 SLU (Caso A2-M2) - Sisma Vert. negativo

	γ	Ψ	C
Peso Proprio	1.00	1.00	1.00
Spinta terreno sinistra	1.00	1.00	1.00
Spinta terreno destra	1.00	1.00	1.00
Sisma da sinistra	1.00	1.00	1.00

Combinazione n° 13 SLU (Caso A1-M1) - Sisma Vert. positivo

	γ	Ψ	C
Peso Proprio	1.00	1.00	1.00
Spinta terreno sinistra	1.00	1.00	1.00
Spinta terreno destra	1.00	1.00	1.00
Sisma da destra	1.00	1.00	1.00

Combinazione n° 14 SLU (Caso A1-M1) - Sisma Vert. negativo

	γ	Ψ	C
Peso Proprio	1.00	1.00	1.00
Spinta terreno sinistra	1.00	1.00	1.00
Spinta terreno destra	1.00	1.00	1.00
Sisma da destra	1.00	1.00	1.00

Combinazione n° 15 SLU (Caso A1-M1) - Sisma Vert. negativo

	γ	Ψ	C
Peso Proprio	1.00	1.00	1.00
Spinta terreno sinistra	1.00	1.00	1.00
Spinta terreno destra	1.00	1.00	1.00
Sisma da destra	1.00	1.00	1.00

Combinazione n° 16 SLU (Caso A1-M1) - Sisma Vert. positivo

	γ	Ψ	C
Peso Proprio	1.00	1.00	1.00
Spinta terreno sinistra	1.00	1.00	1.00
Spinta terreno destra	1.00	1.00	1.00
Sisma da destra	1.00	1.00	1.00

Combinazione n° 17 SLU (Caso A2-M2) - Sisma Vert. negativo

	γ	Ψ	C
Peso Proprio	1.00	1.00	1.00
Spinta terreno sinistra	1.00	1.00	1.00
Spinta terreno destra	1.00	1.00	1.00
Sisma da destra	1.00	1.00	1.00

Combinazione n° 18 SLU (Caso A2-M2) - Sisma Vert. positivo

	γ	Ψ	C
Peso Proprio	1.00	1.00	1.00
Spinta terreno sinistra	1.00	1.00	1.00
Spinta terreno destra	1.00	1.00	1.00
Sisma da destra	1.00	1.00	1.00

Combinazione n° 19 SLU (Caso A2-M2) - Sisma Vert. positivo

	γ	Ψ	C
Peso Proprio	1.00	1.00	1.00
Spinta terreno sinistra	1.00	1.00	1.00
Spinta terreno destra	1.00	1.00	1.00
Sisma da destra	1.00	1.00	1.00

Combinazione n° 20 SLU (Caso A2-M2) - Sisma Vert. negativo

	γ	Ψ	C
Peso Proprio	1.00	1.00	1.00
Spinta terreno sinistra	1.00	1.00	1.00
Spinta terreno destra	1.00	1.00	1.00
Sisma da destra	1.00	1.00	1.00

Combinazione n° 21 SLE (Quasi Permanente)

	γ	Ψ	C
Peso Proprio	1.00	1.00	1.00
Spinta terreno sinistra	1.00	1.00	1.00
Spinta terreno destra	1.00	1.00	1.00

Combinazione n° 22 SLE (Frequente)

	γ	Ψ	C
Peso Proprio	1.00	1.00	1.00
Spinta terreno sinistra	1.00	1.00	1.00
Spinta terreno destra	1.00	1.00	1.00

Combinazione n° 23 SLE (Rara)

	γ	Ψ	C
Peso Proprio	1.00	1.00	1.00
Spinta terreno sinistra	1.00	1.00	1.00
Spinta terreno destra	1.00	1.00	1.00

Combinazione n° 24 SLE (Quasi Permanente) - Sisma Vert. positivo

	γ	Ψ	C
Peso Proprio	1.00	1.00	1.00
Spinta terreno sinistra	1.00	1.00	1.00
Spinta terreno destra	1.00	1.00	1.00
Sisma da sinistra	1.00	1.00	1.00

Combinazione n° 25 SLE (Quasi Permanente) - Sisma Vert. negativo

	γ	Ψ	C
Peso Proprio	1.00	1.00	1.00
Spinta terreno sinistra	1.00	1.00	1.00
Spinta terreno destra	1.00	1.00	1.00
Sisma da sinistra	1.00	1.00	1.00

Combinazione n° 26 SLE (Quasi Permanente) - Sisma Vert. positivo

	γ	Ψ	C
Peso Proprio	1.00	1.00	1.00
Spinta terreno sinistra	1.00	1.00	1.00
Spinta terreno destra	1.00	1.00	1.00
Sisma da destra	1.00	1.00	1.00

Combinazione n° 27 SLE (Quasi Permanente) - Sisma Vert. negativo

	γ	Ψ	C
Peso Proprio	1.00	1.00	1.00
Spinta terreno sinistra	1.00	1.00	1.00
Spinta terreno destra	1.00	1.00	1.00
Sisma da destra	1.00	1.00	1.00

Combinazione n° 28 SLE (Frequente) - Sisma Vert. positivo

	γ	Ψ	C
Peso Proprio	1.00	1.00	1.00
Spinta terreno sinistra	1.00	1.00	1.00
Spinta terreno destra	1.00	1.00	1.00
Sisma da sinistra	1.00	1.00	1.00

Combinazione n° 29 SLE (Frequente) - Sisma Vert. negativo

	γ	Ψ	C
Peso Proprio	1.00	1.00	1.00
Spinta terreno sinistra	1.00	1.00	1.00
Spinta terreno destra	1.00	1.00	1.00
Sisma da sinistra	1.00	1.00	1.00

Combinazione n° 30 SLE (Frequente) - Sisma Vert. positivo

	γ	Ψ	C
Peso Proprio	1.00	1.00	1.00
Spinta terreno sinistra	1.00	1.00	1.00
Spinta terreno destra	1.00	1.00	1.00
Sisma da destra	1.00	1.00	1.00

Combinazione n° 31 SLE (Frequente) - Sisma Vert. negativo

	γ	Ψ	C
Peso Proprio	1.00	1.00	1.00
Spinta terreno sinistra	1.00	1.00	1.00
Spinta terreno destra	1.00	1.00	1.00
Sisma da destra	1.00	1.00	1.00

Combinazione n° 32 SLE (Rara) - Sisma Vert. positivo

	γ	Ψ	C
Peso Proprio	1.00	1.00	1.00
Spinta terreno sinistra	1.00	1.00	1.00
Spinta terreno destra	1.00	1.00	1.00
Sisma da sinistra	1.00	1.00	1.00

Combinazione n° 33 SLE (Rara) - Sisma Vert. negativo

	γ	Ψ	C
Peso Proprio	1.00	1.00	1.00
Spinta terreno sinistra	1.00	1.00	1.00
Spinta terreno destra	1.00	1.00	1.00
Sisma da sinistra	1.00	1.00	1.00

Combinazione n° 34 SLE (Rara) - Sisma Vert. positivo

	γ	Ψ	C
Peso Proprio	1.00	1.00	1.00
Spinta terreno sinistra	1.00	1.00	1.00
Spinta terreno destra	1.00	1.00	1.00
Sisma da destra	1.00	1.00	1.00

Combinazione n° 35 SLE (Rara) - Sisma Vert. negativo

	γ	Ψ	C
Peso Proprio	1.00	1.00	1.00
Spinta terreno sinistra	1.00	1.00	1.00
Spinta terreno destra	1.00	1.00	1.00
Sisma da destra	1.00	1.00	1.00

Analisi della spinta e verifiche

Simbologia adottata ed unità di misura

Origine in corrispondenza dello spigolo inferiore sinistro della struttura
 Le forze orizzontali sono considerate positive se agenti verso destra
 Le forze verticali sono considerate positive se agenti verso il basso
 X ascisse (espresso in m) positive verso destra
 Y ordinate (espresso in m) positive verso l'alto
 M momento espresso in kgm
 V taglio espresso in kg
 SN sforzo normale espresso in kg
 ux spostamento direzione X espresso in cm
 uy spostamento direzione Y espresso in cm
 σ_t pressione sul terreno espressa in kg/cm²

Tipo di analisi

Pressione in calotta

Spinta sui piedritti

Pressione geostatica

Attiva	[combinazione 1]
Attiva	[combinazione 2]
Attiva	[combinazione 3]
Attiva	[combinazione 4]
Attiva	[combinazione 5]
Attiva	[combinazione 6]
Attiva	[combinazione 7]
Attiva	[combinazione 8]
Attiva	[combinazione 9]
Attiva	[combinazione 10]
Attiva	[combinazione 11]
Attiva	[combinazione 12]
Attiva	[combinazione 13]
Attiva	[combinazione 14]
Attiva	[combinazione 15]
Attiva	[combinazione 16]
Attiva	[combinazione 17]
Attiva	[combinazione 18]
Attiva	[combinazione 19]
Attiva	[combinazione 20]
Attiva	[combinazione 21]
Attiva	[combinazione 22]
Attiva	[combinazione 23]
Attiva	[combinazione 24]
Attiva	[combinazione 25]
Attiva	[combinazione 26]
Attiva	[combinazione 27]
Attiva	[combinazione 28]
Attiva	[combinazione 29]
Attiva	[combinazione 30]
Attiva	[combinazione 31]
Attiva	[combinazione 32]
Attiva	[combinazione 33]
Attiva	[combinazione 34]
Attiva	[combinazione 35]

Sisma

Combinazioni SLU

Accelerazione al suolo $a_g =$	1.10 [m/s ²]
Coefficiente di amplificazione per tipo di sottosuolo (S)	1.60
Coefficiente di amplificazione topografica (St)	1.00
Coefficiente riduzione (β_m)	0.24
Rapporto intensità sismica verticale/orizzontale	0.50

Coefficiente di intensità sismica orizzontale (percento) $k_h = (a_g/g * \beta_m * St * Ss) = 4.31$
 Coefficiente di intensità sismica verticale (percento) $k_v = 0.50 * k_h = 2.15$

Combinazioni SLE

Accelerazione al suolo $a_g =$	0.43 [m/s^2]
Coefficiente di amplificazione per tipo di sottosuolo (S)	1.60
Coefficiente di amplificazione topografica (St)	1.00
Coefficiente riduzione (β_m)	0.18
Rapporto intensità sismica verticale/orizzontale	0.50
Coefficiente di intensità sismica orizzontale (percento)	$k_h = (a_g/g * \beta_m * St * Ss) = 1.26$
Coefficiente di intensità sismica verticale (percento)	$k_v = 0.50 * k_h = 0.63$
Forma diagramma incremento sismico	Rettangolare
Spinta sismica	Mononobe-Okabe

Pressione in calotta(solo peso terreno) 0,00
 Angolo diffusione sovraccarico 30,00 [°]

Coefficienti di spinta

N°combinazione	Statico	Sismico
1	0,276	0,000
2	0,276	0,000
3	0,341	0,000
4	0,341	0,000
5	0,276	0,308
6	0,276	0,296
7	0,276	0,296
8	0,276	0,308
9	0,341	0,364
10	0,341	0,378
11	0,341	0,378
12	0,341	0,364
13	0,276	0,308
14	0,276	0,296
15	0,276	0,296
16	0,276	0,308
17	0,341	0,364
18	0,341	0,378
19	0,341	0,378
20	0,341	0,364
21	0,276	0,000
22	0,276	0,000
23	0,276	0,000
24	0,276	0,285
25	0,276	0,281
26	0,276	0,285
27	0,276	0,281
28	0,276	0,285
29	0,276	0,281
30	0,276	0,285
31	0,276	0,281
32	0,276	0,285
33	0,276	0,281
34	0,276	0,285
35	0,276	0,281

Discretizzazione strutturale

Numero elementi fondazione	51
Numero elementi piedritto sinistro	36
Numero elementi piedritto destro	36
Numero molle piedritto sinistro	37
Numero molle piedritto destro	37

Analisi della combinazione n° 1

Carichi verticali in calotta

X_i	X_j	$Q[\text{kg/mq}]$
-11,27	15,87	0,00

Spinte sui piedritti

Piedritto sinistro Pressione sup. 0,00 [kg/mq] Pressione inf. 2181,15 [kg/mq]
Piedritto destro Pressione sup. 0,00 [kg/mq] Pressione inf. 2181,15 [kg/mq]

Analisi della combinazione n° 2

Carichi verticali in calotta

X_i	X_j	$Q[\text{kg/mq}]$
-11,27	15,87	0,00

Spinte sui piedritti

Piedritto sinistro Pressione sup. 0,00 [kg/mq] Pressione inf. 1677,81 [kg/mq]
Piedritto destro Pressione sup. 0,00 [kg/mq] Pressione inf. 1677,81 [kg/mq]

Analisi della combinazione n° 3

Carichi verticali in calotta

X_i	X_j	$Q[\text{kg/mq}]$
-11,27	15,87	0,00

Spinte sui piedritti

Piedritto sinistro Pressione sup. 0,00 [kg/mq] Pressione inf. 2123,59 [kg/mq]
Piedritto destro Pressione sup. 0,00 [kg/mq] Pressione inf. 2123,59 [kg/mq]

Analisi della combinazione n° 4

Carichi verticali in calotta

X_i	X_j	$Q[\text{kg/mq}]$
-11,27	15,87	0,00

Spinte sui piedritti

Piedritto sinistro Pressione sup. 0,00 [kg/mq] Pressione inf. 2123,59 [kg/mq]
Piedritto destro Pressione sup. 0,00 [kg/mq] Pressione inf. 2123,59 [kg/mq]

Analisi della combinazione n° 5

Carichi verticali in calotta

X_i	X_j	$Q[\text{kg/mq}]$
-11,27	15,87	0,00

Spinte sui piedritti

Piedritto sinistro Pressione sup. 0,00 [kg/mq] Pressione inf. 1677,81 [kg/mq]
 Piedritto destro Pressione sup. 0,00 [kg/mq] Pressione inf. 1677,81 [kg/mq]

Spinte sismiche sui piedritti

Piedritto sinistro Pressione sup. 97,85 [kg/mq] Pressione inf. 97,85 [kg/mq]

Analisi della combinazione n° 6**Carichi verticali in calotta**

Xi	Xj	Q[kg/mq]
-11,27	15,87	0,00

Spinte sui piedritti

Piedritto sinistro Pressione sup. 0,00 [kg/mq] Pressione inf. 1677,81 [kg/mq]
 Piedritto destro Pressione sup. 0,00 [kg/mq] Pressione inf. 1677,81 [kg/mq]

Spinte sismiche sui piedritti

Piedritto sinistro Pressione sup. 61,90 [kg/mq] Pressione inf. 61,90 [kg/mq]

Analisi della combinazione n° 7**Carichi verticali in calotta**

Xi	Xj	Q[kg/mq]
-11,27	15,87	0,00

Spinte sui piedritti

Piedritto sinistro Pressione sup. 0,00 [kg/mq] Pressione inf. 1677,81 [kg/mq]
 Piedritto destro Pressione sup. 0,00 [kg/mq] Pressione inf. 1677,81 [kg/mq]

Spinte sismiche sui piedritti

Piedritto sinistro Pressione sup. 61,90 [kg/mq] Pressione inf. 61,90 [kg/mq]

Analisi della combinazione n° 8**Carichi verticali in calotta**

Xi	Xj	Q[kg/mq]
-11,27	15,87	0,00

Spinte sui piedritti

Piedritto sinistro Pressione sup. 0,00 [kg/mq] Pressione inf. 1677,81 [kg/mq]
 Piedritto destro Pressione sup. 0,00 [kg/mq] Pressione inf. 1677,81 [kg/mq]

Spinte sismiche sui piedritti

Piedritto sinistro Pressione sup. 97,85 [kg/mq] Pressione inf. 97,85 [kg/mq]

Analisi della combinazione n° 9

Carichi verticali in calotta

Xi	Xj	Q[kg/mq]
-11,27	15,87	0,00

Spinte sui piedritti

Piedritto sinistro Pressione sup. 0,00 [kg/mq] Pressione inf. 2123,59 [kg/mq]
 Piedritto destro Pressione sup. 0,00 [kg/mq] Pressione inf. 2123,59 [kg/mq]

Spinte sismiche sui piedritti

Piedritto sinistro Pressione sup. 68,84 [kg/mq] Pressione inf. 68,84 [kg/mq]

Analisi della combinazione n° 10

Carichi verticali in calotta

Xi	Xj	Q[kg/mq]
-11,27	15,87	0,00

Spinte sui piedritti

Piedritto sinistro Pressione sup. 0,00 [kg/mq] Pressione inf. 2123,59 [kg/mq]
 Piedritto destro Pressione sup. 0,00 [kg/mq] Pressione inf. 2123,59 [kg/mq]

Spinte sismiche sui piedritti

Piedritto sinistro Pressione sup. 114,36 [kg/mq] Pressione inf. 114,36 [kg/mq]

Analisi della combinazione n° 11

Carichi verticali in calotta

Xi	Xj	Q[kg/mq]
-11,27	15,87	0,00

Spinte sui piedritti

Piedritto sinistro Pressione sup. 0,00 [kg/mq] Pressione inf. 2123,59 [kg/mq]
 Piedritto destro Pressione sup. 0,00 [kg/mq] Pressione inf. 2123,59 [kg/mq]

Spinte sismiche sui piedritti

Piedritto sinistro Pressione sup. 114,36 [kg/mq] Pressione inf. 114,36 [kg/mq]

Analisi della combinazione n° 12**Carichi verticali in calotta**

X_i	X_j	Q[kg/mq]
-11,27	15,87	0,00

Spinte sui piedritti

Piedritto sinistro Pressione sup. 0,00 [kg/mq] Pressione inf. 2123,59 [kg/mq]
 Piedritto destro Pressione sup. 0,00 [kg/mq] Pressione inf. 2123,59 [kg/mq]

Spinte sismiche sui piedritti

Piedritto sinistro Pressione sup. 68,84 [kg/mq] Pressione inf. 68,84 [kg/mq]

Analisi della combinazione n° 13**Carichi verticali in calotta**

X_i	X_j	Q[kg/mq]
-11,27	15,87	0,00

Spinte sui piedritti

Piedritto sinistro Pressione sup. 0,00 [kg/mq] Pressione inf. 1677,81 [kg/mq]
 Piedritto destro Pressione sup. 0,00 [kg/mq] Pressione inf. 1677,81 [kg/mq]

Spinte sismiche sui piedritti

Piedritto destro Pressione sup. 97,85 [kg/mq] Pressione inf. 97,85 [kg/mq]

Analisi della combinazione n° 14**Carichi verticali in calotta**

X_i	X_j	Q[kg/mq]
-11,27	15,87	0,00

Spinte sui piedritti

Piedritto sinistro Pressione sup. 0,00 [kg/mq] Pressione inf. 1677,81 [kg/mq]
 Piedritto destro Pressione sup. 0,00 [kg/mq] Pressione inf. 1677,81 [kg/mq]

Spinte sismiche sui piedritti

Piedritto destro Pressione sup. 61,90 [kg/mq] Pressione inf. 61,90 [kg/mq]

Analisi della combinazione n° 15

Carichi verticali in calotta

X_i	X_j	$Q[\text{kg/mq}]$
-11,27	15,87	0,00

Spinte sui piedritti

Piedritto sinistro Pressione sup. 0,00 [kg/mq] Pressione inf. 1677,81 [kg/mq]
 Piedritto destro Pressione sup. 0,00 [kg/mq] Pressione inf. 1677,81 [kg/mq]

Spinte sismiche sui piedritti

Piedritto destro Pressione sup. 61,90 [kg/mq] Pressione inf. 61,90 [kg/mq]

Analisi della combinazione n° 16

Carichi verticali in calotta

X_i	X_j	$Q[\text{kg/mq}]$
-11,27	15,87	0,00

Spinte sui piedritti

Piedritto sinistro Pressione sup. 0,00 [kg/mq] Pressione inf. 1677,81 [kg/mq]
 Piedritto destro Pressione sup. 0,00 [kg/mq] Pressione inf. 1677,81 [kg/mq]

Spinte sismiche sui piedritti

Piedritto destro Pressione sup. 97,85 [kg/mq] Pressione inf. 97,85 [kg/mq]

Analisi della combinazione n° 17

Carichi verticali in calotta

X_i	X_j	$Q[\text{kg/mq}]$
-11,27	15,87	0,00

Spinte sui piedritti

Piedritto sinistro Pressione sup. 0,00 [kg/mq] Pressione inf. 2123,59 [kg/mq]
 Piedritto destro Pressione sup. 0,00 [kg/mq] Pressione inf. 2123,59 [kg/mq]

Spinte sismiche sui piedritti

Piedritto destro Pressione sup. 68,84 [kg/mq] Pressione inf. 68,84 [kg/mq]

Analisi della combinazione n° 18

Carichi verticali in calotta

X_i	X_j	$Q[\text{kg/mq}]$

-11,27	15,87	0,00
--------	-------	------

Spinte sui piedritti

Piedritto sinistro Pressione sup. 0,00 [kg/mq] Pressione inf. 2123,59 [kg/mq]
 Piedritto destro Pressione sup. 0,00 [kg/mq] Pressione inf. 2123,59 [kg/mq]

Spinte sismiche sui piedritti

Piedritto destro Pressione sup. 114,36 [kg/mq] Pressione inf. 114,36 [kg/mq]

Analisi della combinazione n° 19

Carichi verticali in calotta

Xi	Xj	Q[kg/mq]
-11,27	15,87	0,00

Spinte sui piedritti

Piedritto sinistro Pressione sup. 0,00 [kg/mq] Pressione inf. 2123,59 [kg/mq]
 Piedritto destro Pressione sup. 0,00 [kg/mq] Pressione inf. 2123,59 [kg/mq]

Spinte sismiche sui piedritti

Piedritto destro Pressione sup. 114,36 [kg/mq] Pressione inf. 114,36 [kg/mq]

Analisi della combinazione n° 20

Carichi verticali in calotta

Xi	Xj	Q[kg/mq]
-11,27	15,87	0,00

Spinte sui piedritti

Piedritto sinistro Pressione sup. 0,00 [kg/mq] Pressione inf. 2123,59 [kg/mq]
 Piedritto destro Pressione sup. 0,00 [kg/mq] Pressione inf. 2123,59 [kg/mq]

Spinte sismiche sui piedritti

Piedritto destro Pressione sup. 68,84 [kg/mq] Pressione inf. 68,84 [kg/mq]

Analisi della combinazione n° 21

Carichi verticali in calotta

Xi	Xj	Q[kg/mq]
-11,27	15,87	0,00

Spinte sui piedritti

Piedritto sinistro Pressione sup. 0,00 [kg/mq] Pressione inf. 1677,81 [kg/mq]

Piedritto destro Pressione sup. 0,00 [kg/mq] Pressione inf. 1677,81 [kg/mq]

Analisi della combinazione n° 22

Carichi verticali in calotta

X_i	X_j	$Q[\text{kg}/\text{mq}]$
-11,27	15,87	0,00

Spinte sui piedritti

Piedritto sinistro Pressione sup. 0,00 [kg/mq] Pressione inf. 1677,81 [kg/mq]
 Piedritto destro Pressione sup. 0,00 [kg/mq] Pressione inf. 1677,81 [kg/mq]

Analisi della combinazione n° 23

Carichi verticali in calotta

X_i	X_j	$Q[\text{kg}/\text{mq}]$
-11,27	15,87	0,00

Spinte sui piedritti

Piedritto sinistro Pressione sup. 0,00 [kg/mq] Pressione inf. 1677,81 [kg/mq]
 Piedritto destro Pressione sup. 0,00 [kg/mq] Pressione inf. 1677,81 [kg/mq]

Analisi della combinazione n° 24

Carichi verticali in calotta

X_i	X_j	$Q[\text{kg}/\text{mq}]$
-11,27	15,87	0,00

Spinte sui piedritti

Piedritto sinistro Pressione sup. 0,00 [kg/mq] Pressione inf. 1677,81 [kg/mq]
 Piedritto destro Pressione sup. 0,00 [kg/mq] Pressione inf. 1677,81 [kg/mq]

Spinte sismiche sui piedritti

Piedritto sinistro Pressione sup. 27,93 [kg/mq] Pressione inf. 27,93 [kg/mq]

Analisi della combinazione n° 25

Carichi verticali in calotta

X_i	X_j	$Q[\text{kg}/\text{mq}]$
-11,27	15,87	0,00

Spinte sui piedritti

Piedritto sinistro Pressione sup. 0,00 [kg/mq] Pressione inf. 1677,81 [kg/mq]
 Piedritto destro Pressione sup. 0,00 [kg/mq] Pressione inf. 1677,81 [kg/mq]

Spinte sismiche sui piedritti

Piedritto sinistro Pressione sup. 17,34 [kg/mq] Pressione inf. 17,34 [kg/mq]

Analisi della combinazione n° 26**Carichi verticali in calotta**

X_i	X_j	Q[kg/mq]
-11,27	15,87	0,00

Spinte sui piedritti

Piedritto sinistro Pressione sup. 0,00 [kg/mq] Pressione inf. 1677,81 [kg/mq]
 Piedritto destro Pressione sup. 0,00 [kg/mq] Pressione inf. 1677,81 [kg/mq]

Spinte sismiche sui piedritti

Piedritto destro Pressione sup. 27,93 [kg/mq] Pressione inf. 27,93 [kg/mq]

Analisi della combinazione n° 27**Carichi verticali in calotta**

X_i	X_j	Q[kg/mq]
-11,27	15,87	0,00

Spinte sui piedritti

Piedritto sinistro Pressione sup. 0,00 [kg/mq] Pressione inf. 1677,81 [kg/mq]
 Piedritto destro Pressione sup. 0,00 [kg/mq] Pressione inf. 1677,81 [kg/mq]

Spinte sismiche sui piedritti

Piedritto destro Pressione sup. 17,34 [kg/mq] Pressione inf. 17,34 [kg/mq]

Analisi della combinazione n° 28**Carichi verticali in calotta**

X_i	X_j	Q[kg/mq]
-11,27	15,87	0,00

Spinte sui piedritti

Piedritto sinistro Pressione sup. 0,00 [kg/mq] Pressione inf. 1677,81 [kg/mq]
 Piedritto destro Pressione sup. 0,00 [kg/mq] Pressione inf. 1677,81 [kg/mq]

Spinte sismiche sui piedritti

Piedritto sinistro Pressione sup. 27,93 [kg/mq] Pressione inf. 27,93 [kg/mq]

Analisi della combinazione n° 29

Carichi verticali in calotta

X_i	X_j	$Q[\text{kg/mq}]$
-11,27	15,87	0,00

Spinte sui piedritti

Piedritto sinistro Pressione sup. 0,00 [kg/mq] Pressione inf. 1677,81 [kg/mq]
Piedritto destro Pressione sup. 0,00 [kg/mq] Pressione inf. 1677,81 [kg/mq]

Spinte sismiche sui piedritti

Piedritto sinistro Pressione sup. 17,34 [kg/mq] Pressione inf. 17,34 [kg/mq]

Analisi della combinazione n° 30

Carichi verticali in calotta

X_i	X_j	$Q[\text{kg/mq}]$
-11,27	15,87	0,00

Spinte sui piedritti

Piedritto sinistro Pressione sup. 0,00 [kg/mq] Pressione inf. 1677,81 [kg/mq]
Piedritto destro Pressione sup. 0,00 [kg/mq] Pressione inf. 1677,81 [kg/mq]

Spinte sismiche sui piedritti

Piedritto destro Pressione sup. 27,93 [kg/mq] Pressione inf. 27,93 [kg/mq]

Analisi della combinazione n° 31

Carichi verticali in calotta

X_i	X_j	$Q[\text{kg/mq}]$
-11,27	15,87	0,00

Spinte sui piedritti

Piedritto sinistro Pressione sup. 0,00 [kg/mq] Pressione inf. 1677,81 [kg/mq]
Piedritto destro Pressione sup. 0,00 [kg/mq] Pressione inf. 1677,81 [kg/mq]

Spinte sismiche sui piedritti

Piedritto destro Pressione sup. 17,34 [kg/mq] Pressione inf. 17,34 [kg/mq]

Analisi della combinazione n° 32

Carichi verticali in calotta

X_i	X_j	$Q[\text{kg/mq}]$
-11,27	15,87	0,00

Spinte sui piedritti

Piedritto sinistro Pressione sup. 0,00 [kg/mq] Pressione inf. 1677,81 [kg/mq]
Piedritto destro Pressione sup. 0,00 [kg/mq] Pressione inf. 1677,81 [kg/mq]

Spinte sismiche sui piedritti

Piedritto sinistro Pressione sup. 27,93 [kg/mq] Pressione inf. 27,93 [kg/mq]

Analisi della combinazione n° 33Carichi verticali in calotta

X_i	X_j	$Q[\text{kg/mq}]$
-11,27	15,87	0,00

Spinte sui piedritti

Piedritto sinistro Pressione sup. 0,00 [kg/mq] Pressione inf. 1677,81 [kg/mq]
Piedritto destro Pressione sup. 0,00 [kg/mq] Pressione inf. 1677,81 [kg/mq]

Spinte sismiche sui piedritti

Piedritto sinistro Pressione sup. 17,34 [kg/mq] Pressione inf. 17,34 [kg/mq]

Analisi della combinazione n° 34Carichi verticali in calotta

X_i	X_j	$Q[\text{kg/mq}]$
-11,27	15,87	0,00

Spinte sui piedritti

Piedritto sinistro Pressione sup. 0,00 [kg/mq] Pressione inf. 1677,81 [kg/mq]
Piedritto destro Pressione sup. 0,00 [kg/mq] Pressione inf. 1677,81 [kg/mq]

Spinte sismiche sui piedritti

Piedritto destro Pressione sup. 27,93 [kg/mq] Pressione inf. 27,93 [kg/mq]

Analisi della combinazione n° 35Carichi verticali in calotta

X_i	X_j	$Q[\text{kg/mq}]$
-11,27	15,87	0,00

Spinte sui piedritti

Piedritto sinistro Pressione sup. 0,00 [kg/mq] Pressione inf. 1677,81 [kg/mq]
Piedritto destro Pressione sup. 0,00 [kg/mq] Pressione inf. 1677,81 [kg/mq]

Spinte sismiche sui piedritti

Piedritto destro Pressione sup. 17,34 [kg/mq] Pressione inf. 17,34 [kg/mq]

Spostamenti

Spostamenti fondazione (Combinazione n° 1)

X [m]	u _x [cm]	u _y [cm]
0,00	0,000	0,087
1,10	0,000	0,089
2,30	0,000	0,086
3,43	0,000	0,088
4,60	0,000	0,087

Spostamenti piedritto sinistro (Combinazione n° 1)

Y [m]	u _x [cm]	u _y [cm]
0,20	0,000	0,088
1,90	0,056	0,089
3,60	0,142	0,089

Spostamenti piedritto destro (Combinazione n° 1)

Y [m]	u _x [cm]	u _y [cm]
0,20	0,000	0,088
1,90	-0,056	0,089
3,60	-0,142	0,089

Spostamenti fondazione (Combinazione n° 2)

X [m]	u _x [cm]	u _y [cm]
0,00	0,000	0,067
1,10	0,000	0,068
2,30	0,000	0,066
3,43	0,000	0,068
4,60	0,000	0,067

Spostamenti piedritto sinistro (Combinazione n° 2)

Y [m]	u _x [cm]	u _y [cm]
0,20	0,000	0,068
1,90	0,043	0,068
3,60	0,109	0,068

Spostamenti piedritto destro (Combinazione n° 2)

Y [m]	u _x [cm]	u _y [cm]
0,20	0,000	0,068
1,90	-0,043	0,068
3,60	-0,109	0,068

Spostamenti fondazione (Combinazione n° 3)

X [m]	u _x [cm]	u _y [cm]
0,00	0,000	0,061
1,10	0,000	0,069
2,30	0,000	0,069

3,43	0,000	0,069
4,60	0,000	0,061

Spostamenti piedritto sinistro (Combinazione n° 3)

Y [m]	u _x [cm]	u _y [cm]
0,20	0,000	0,066
1,90	0,064	0,066
3,60	0,158	0,067

Spostamenti piedritto destro (Combinazione n° 3)

Y [m]	u _x [cm]	u _y [cm]
0,20	0,000	0,066
1,90	-0,064	0,066
3,60	-0,158	0,067

Spostamenti fondazione (Combinazione n° 4)

X [m]	u _x [cm]	u _y [cm]
0,00	0,000	0,061
1,10	0,000	0,069
2,30	0,000	0,069
3,43	0,000	0,069
4,60	0,000	0,061

Spostamenti piedritto sinistro (Combinazione n° 4)

Y [m]	u _x [cm]	u _y [cm]
0,20	0,000	0,066
1,90	0,064	0,066
3,60	0,158	0,067

Spostamenti piedritto destro (Combinazione n° 4)

Y [m]	u _x [cm]	u _y [cm]
0,20	0,000	0,066
1,90	-0,064	0,066
3,60	-0,158	0,067

Spostamenti fondazione (Combinazione n° 5)

X [m]	u _x [cm]	u _y [cm]
0,00	0,031	0,059
1,10	0,031	0,067
2,30	0,030	0,068
3,43	0,030	0,071
4,60	0,030	0,072

Spostamenti piedritto sinistro (Combinazione n° 5)

Y [m]	u _x [cm]	u _y [cm]
0,20	0,031	0,065
1,90	0,094	0,065

3,60	0,190	0,065
------	-------	-------

Spostamenti piedritto destro (Combinazione n° 5)

Y [m]	u_x [cm]	u_y [cm]
0,20	0,030	0,072
1,90	-0,007	0,072
3,60	-0,066	0,073

Spostamenti fondazione (Combinazione n° 6)

X [m]	u_x [cm]	u_y [cm]
0,00	0,026	0,060
1,10	0,026	0,066
2,30	0,025	0,066
3,43	0,025	0,069
4,60	0,025	0,069

Spostamenti piedritto sinistro (Combinazione n° 6)

Y [m]	u_x [cm]	u_y [cm]
0,20	0,026	0,064
1,90	0,084	0,064
3,60	0,172	0,064

Spostamenti piedritto destro (Combinazione n° 6)

Y [m]	u_x [cm]	u_y [cm]
0,20	0,025	0,070
1,90	-0,013	0,070
3,60	-0,072	0,070

Spostamenti fondazione (Combinazione n° 7)

X [m]	u_x [cm]	u_y [cm]
0,00	0,026	0,060
1,10	0,026	0,066
2,30	0,025	0,066
3,43	0,025	0,069
4,60	0,025	0,069

Spostamenti piedritto sinistro (Combinazione n° 7)

Y [m]	u_x [cm]	u_y [cm]
0,20	0,026	0,064
1,90	0,084	0,064
3,60	0,172	0,064

Spostamenti piedritto destro (Combinazione n° 7)

Y [m]	u_x [cm]	u_y [cm]
0,20	0,025	0,070
1,90	-0,013	0,070
3,60	-0,072	0,070

Spostamenti fondazione (Combinazione n° 8)

X [m]	u _x [cm]	u _y [cm]
0,00	0,031	0,059
1,10	0,031	0,067
2,30	0,030	0,068
3,43	0,030	0,071
4,60	0,030	0,072

Spostamenti piedritto sinistro (Combinazione n° 8)

Y [m]	u _x [cm]	u _y [cm]
0,20	0,031	0,065
1,90	0,094	0,065
3,60	0,190	0,065

Spostamenti piedritto destro (Combinazione n° 8)

Y [m]	u _x [cm]	u _y [cm]
0,20	0,030	0,072
1,90	-0,007	0,072
3,60	-0,066	0,073

Spostamenti fondazione (Combinazione n° 9)

X [m]	u _x [cm]	u _y [cm]
0,00	0,027	0,053
1,10	0,027	0,066
2,30	0,026	0,069
3,43	0,026	0,070
4,60	0,026	0,063

Spostamenti piedritto sinistro (Combinazione n° 9)

Y [m]	u _x [cm]	u _y [cm]
0,20	0,027	0,062
1,90	0,107	0,062
3,60	0,225	0,062

Spostamenti piedritto destro (Combinazione n° 9)

Y [m]	u _x [cm]	u _y [cm]
0,20	0,026	0,068
1,90	-0,033	0,068
3,60	-0,120	0,068

Spostamenti fondazione (Combinazione n° 10)

X [m]	u _x [cm]	u _y [cm]
0,00	0,033	0,052
1,10	0,033	0,067
2,30	0,033	0,071
3,43	0,032	0,072
4,60	0,032	0,066

Spostamenti piedritto sinistro (Combinazione n° 10)

Y [m]	u _x [cm]	u _y [cm]
0,20	0,033	0,062
1,90	0,121	0,063
3,60	0,248	0,063

Spostamenti piedritto destro (Combinazione n° 10)

Y [m]	u _x [cm]	u _y [cm]
0,20	0,032	0,070
1,90	-0,026	0,071
3,60	-0,112	0,071

Spostamenti fondazione (Combinazione n° 11)

X [m]	u _x [cm]	u _y [cm]
0,00	0,033	0,052
1,10	0,033	0,067
2,30	0,033	0,071
3,43	0,032	0,072
4,60	0,032	0,066

Spostamenti piedritto sinistro (Combinazione n° 11)

Y [m]	u _x [cm]	u _y [cm]
0,20	0,033	0,062
1,90	0,121	0,063
3,60	0,248	0,063

Spostamenti piedritto destro (Combinazione n° 11)

Y [m]	u _x [cm]	u _y [cm]
0,20	0,032	0,070
1,90	-0,026	0,071
3,60	-0,112	0,071

Spostamenti fondazione (Combinazione n° 12)

X [m]	u _x [cm]	u _y [cm]
0,00	0,027	0,053
1,10	0,027	0,066
2,30	0,026	0,069
3,43	0,026	0,070
4,60	0,026	0,063

Spostamenti piedritto sinistro (Combinazione n° 12)

Y [m]	u _x [cm]	u _y [cm]
0,20	0,027	0,062
1,90	0,107	0,062
3,60	0,225	0,062

Spostamenti piedritto destro (Combinazione n° 12)

Y [m]	u_x [cm]	u_y [cm]
0,20	0,026	0,068
1,90	-0,033	0,068
3,60	-0,120	0,068

Spostamenti fondazione (Combinazione n° 13)

X [m]	u_x [cm]	u_y [cm]
0,00	-0,030	0,072
1,10	-0,030	0,072
2,30	-0,030	0,068
3,43	-0,031	0,067
4,60	-0,031	0,059

Spostamenti piedritto sinistro (Combinazione n° 13)

Y [m]	u_x [cm]	u_y [cm]
0,20	-0,030	0,072
1,90	0,007	0,072
3,60	0,066	0,073

Spostamenti piedritto destro (Combinazione n° 13)

Y [m]	u_x [cm]	u_y [cm]
0,20	-0,031	0,065
1,90	-0,094	0,065
3,60	-0,190	0,065

Spostamenti fondazione (Combinazione n° 14)

X [m]	u_x [cm]	u_y [cm]
0,00	-0,025	0,069
1,10	-0,025	0,069
2,30	-0,025	0,066
3,43	-0,026	0,066
4,60	-0,026	0,060

Spostamenti piedritto sinistro (Combinazione n° 14)

Y [m]	u_x [cm]	u_y [cm]
0,20	-0,025	0,070
1,90	0,013	0,070
3,60	0,072	0,070

Spostamenti piedritto destro (Combinazione n° 14)

Y [m]	u_x [cm]	u_y [cm]
0,20	-0,026	0,064
1,90	-0,084	0,064
3,60	-0,172	0,064

Spostamenti fondazione (Combinazione n° 15)

X [m]	u_x [cm]	u_y [cm]
0,00	-0,025	0,069

1,10	-0,025	0,069
2,30	-0,025	0,066
3,43	-0,026	0,066
4,60	-0,026	0,060

Spostamenti piedritto sinistro (Combinazione n° 15)

Y [m]	u _x [cm]	u _y [cm]
0,20	-0,025	0,070
1,90	0,013	0,070
3,60	0,072	0,070

Spostamenti piedritto destro (Combinazione n° 15)

Y [m]	u _x [cm]	u _y [cm]
0,20	-0,026	0,064
1,90	-0,084	0,064
3,60	-0,172	0,064

Spostamenti fondazione (Combinazione n° 16)

X [m]	u _x [cm]	u _y [cm]
0,00	-0,030	0,072
1,10	-0,030	0,072
2,30	-0,030	0,068
3,43	-0,031	0,067
4,60	-0,031	0,059

Spostamenti piedritto sinistro (Combinazione n° 16)

Y [m]	u _x [cm]	u _y [cm]
0,20	-0,030	0,072
1,90	0,007	0,072
3,60	0,066	0,073

Spostamenti piedritto destro (Combinazione n° 16)

Y [m]	u _x [cm]	u _y [cm]
0,20	-0,031	0,065
1,90	-0,094	0,065
3,60	-0,190	0,065

Spostamenti fondazione (Combinazione n° 17)

X [m]	u _x [cm]	u _y [cm]
0,00	-0,026	0,063
1,10	-0,026	0,070
2,30	-0,026	0,069
3,43	-0,027	0,066
4,60	-0,027	0,053

Spostamenti piedritto sinistro (Combinazione n° 17)

Y [m]	u _x [cm]	u _y [cm]

0,20	-0,026	0,068
1,90	0,033	0,068
3,60	0,120	0,068

Spostamenti piedritto destro (Combinazione n° 17)

Y [m]	u _x [cm]	u _y [cm]
0,20	-0,027	0,062
1,90	-0,107	0,062
3,60	-0,225	0,062

Spostamenti fondazione (Combinazione n° 18)

X [m]	u _x [cm]	u _y [cm]
0,00	-0,032	0,066
1,10	-0,032	0,072
2,30	-0,033	0,071
3,43	-0,033	0,068
4,60	-0,033	0,052

Spostamenti piedritto sinistro (Combinazione n° 18)

Y [m]	u _x [cm]	u _y [cm]
0,20	-0,032	0,070
1,90	0,026	0,071
3,60	0,112	0,071

Spostamenti piedritto destro (Combinazione n° 18)

Y [m]	u _x [cm]	u _y [cm]
0,20	-0,033	0,062
1,90	-0,121	0,063
3,60	-0,248	0,063

Spostamenti fondazione (Combinazione n° 19)

X [m]	u _x [cm]	u _y [cm]
0,00	-0,032	0,066
1,10	-0,032	0,072
2,30	-0,033	0,071
3,43	-0,033	0,068
4,60	-0,033	0,052

Spostamenti piedritto sinistro (Combinazione n° 19)

Y [m]	u _x [cm]	u _y [cm]
0,20	-0,032	0,070
1,90	0,026	0,071
3,60	0,112	0,071

Spostamenti piedritto destro (Combinazione n° 19)

Y [m]	u _x [cm]	u _y [cm]
0,20	-0,033	0,062
1,90	-0,121	0,063
3,60	-0,248	0,063

Spostamenti fondazione (Combinazione n° 20)

X [m]	u _x [cm]	u _y [cm]
0,00	-0,026	0,063
1,10	-0,026	0,070
2,30	-0,026	0,069
3,43	-0,027	0,066
4,60	-0,027	0,053

Spostamenti piedritto sinistro (Combinazione n° 20)

Y [m]	u _x [cm]	u _y [cm]
0,20	-0,026	0,068
1,90	0,033	0,068
3,60	0,120	0,068

Spostamenti piedritto destro (Combinazione n° 20)

Y [m]	u _x [cm]	u _y [cm]
0,20	-0,027	0,062
1,90	-0,107	0,062
3,60	-0,225	0,062

Spostamenti fondazione (Combinazione n° 21)

X [m]	u _x [cm]	u _y [cm]
0,00	0,000	0,067
1,10	0,000	0,068
2,30	0,000	0,066
3,43	0,000	0,068
4,60	0,000	0,067

Spostamenti piedritto sinistro (Combinazione n° 21)

Y [m]	u _x [cm]	u _y [cm]
0,20	0,000	0,068
1,90	0,043	0,068
3,60	0,109	0,068

Spostamenti piedritto destro (Combinazione n° 21)

Y [m]	u _x [cm]	u _y [cm]
0,20	0,000	0,068
1,90	-0,043	0,068
3,60	-0,109	0,068

Spostamenti fondazione (Combinazione n° 22)

X [m]	u _x [cm]	u _y [cm]
0,00	0,000	0,067
1,10	0,000	0,068
2,30	0,000	0,066
3,43	0,000	0,068
4,60	0,000	0,067

Spostamenti piedritto sinistro (Combinazione n° 22)

Y [m]	u_x [cm]	u_y [cm]
0,20	0,000	0,068
1,90	0,043	0,068
3,60	0,109	0,068

Spostamenti piedritto destro (Combinazione n° 22)

Y [m]	u_x [cm]	u_y [cm]
0,20	0,000	0,068
1,90	-0,043	0,068
3,60	-0,109	0,068

Spostamenti fondazione (Combinazione n° 23)

X [m]	u_x [cm]	u_y [cm]
0,00	0,000	0,067
1,10	0,000	0,068
2,30	0,000	0,066
3,43	0,000	0,068
4,60	0,000	0,067

Spostamenti piedritto sinistro (Combinazione n° 23)

Y [m]	u_x [cm]	u_y [cm]
0,20	0,000	0,068
1,90	0,043	0,068
3,60	0,109	0,068

Spostamenti piedritto destro (Combinazione n° 23)

Y [m]	u_x [cm]	u_y [cm]
0,20	0,000	0,068
1,90	-0,043	0,068
3,60	-0,109	0,068

Spostamenti fondazione (Combinazione n° 24)

X [m]	u_x [cm]	u_y [cm]
0,00	0,009	0,065
1,10	0,009	0,068
2,30	0,009	0,067
3,43	0,009	0,069
4,60	0,008	0,068

Spostamenti piedritto sinistro (Combinazione n° 24)

Y [m]	u_x [cm]	u_y [cm]
0,20	0,009	0,067
1,90	0,058	0,067
3,60	0,133	0,067

Spostamenti piedritto destro (Combinazione n° 24)

Y [m]	u _x [cm]	u _y [cm]
0,20	0,008	0,069
1,90	-0,033	0,070
3,60	-0,097	0,070

Spostamenti fondazione (Combinazione n° 25)

X [m]	u _x [cm]	u _y [cm]
0,00	0,008	0,065
1,10	0,008	0,067
2,30	0,007	0,066
3,43	0,007	0,068
4,60	0,007	0,067

Spostamenti piedritto sinistro (Combinazione n° 25)

Y [m]	u _x [cm]	u _y [cm]
0,20	0,008	0,067
1,90	0,055	0,067
3,60	0,127	0,067

Spostamenti piedritto destro (Combinazione n° 25)

Y [m]	u _x [cm]	u _y [cm]
0,20	0,007	0,068
1,90	-0,034	0,069
3,60	-0,098	0,069

Spostamenti fondazione (Combinazione n° 26)

X [m]	u _x [cm]	u _y [cm]
0,00	-0,008	0,068
1,10	-0,009	0,069
2,30	-0,009	0,067
3,43	-0,009	0,068
4,60	-0,009	0,065

Spostamenti piedritto sinistro (Combinazione n° 26)

Y [m]	u _x [cm]	u _y [cm]
0,20	-0,008	0,069
1,90	0,033	0,070
3,60	0,097	0,070

Spostamenti piedritto destro (Combinazione n° 26)

Y [m]	u _x [cm]	u _y [cm]
0,20	-0,009	0,067
1,90	-0,058	0,067
3,60	-0,133	0,067

Spostamenti fondazione (Combinazione n° 27)

X [m]	u_x [cm]	u_y [cm]
0,00	-0,007	0,067
1,10	-0,007	0,068
2,30	-0,007	0,066
3,43	-0,008	0,067
4,60	-0,008	0,065

Spostamenti piedritto sinistro (Combinazione n° 27)

Y [m]	u_x [cm]	u_y [cm]
0,20	-0,007	0,068
1,90	0,034	0,069
3,60	0,098	0,069

Spostamenti piedritto destro (Combinazione n° 27)

Y [m]	u_x [cm]	u_y [cm]
0,20	-0,008	0,067
1,90	-0,055	0,067
3,60	-0,127	0,067

Spostamenti fondazione (Combinazione n° 28)

X [m]	u_x [cm]	u_y [cm]
0,00	0,009	0,065
1,10	0,009	0,068
2,30	0,009	0,067
3,43	0,009	0,069
4,60	0,008	0,068

Spostamenti piedritto sinistro (Combinazione n° 28)

Y [m]	u_x [cm]	u_y [cm]
0,20	0,009	0,067
1,90	0,058	0,067
3,60	0,133	0,067

Spostamenti piedritto destro (Combinazione n° 28)

Y [m]	u_x [cm]	u_y [cm]
0,20	0,008	0,069
1,90	-0,033	0,070
3,60	-0,097	0,070

Spostamenti fondazione (Combinazione n° 29)

X [m]	u_x [cm]	u_y [cm]
0,00	0,008	0,065
1,10	0,008	0,067
2,30	0,007	0,066
3,43	0,007	0,068
4,60	0,007	0,067

Spostamenti piedritto sinistro (Combinazione n° 29)

Y [m]	u_x [cm]	u_y [cm]
0,20	0,008	0,067
1,90	0,055	0,067
3,60	0,127	0,067

Spostamenti piedritto destro (Combinazione n° 29)

Y [m]	u_x [cm]	u_y [cm]
0,20	0,007	0,068
1,90	-0,034	0,069
3,60	-0,098	0,069

Spostamenti fondazione (Combinazione n° 30)

X [m]	u_x [cm]	u_y [cm]
0,00	-0,008	0,068
1,10	-0,009	0,069
2,30	-0,009	0,067
3,43	-0,009	0,068
4,60	-0,009	0,065

Spostamenti piedritto sinistro (Combinazione n° 30)

Y [m]	u_x [cm]	u_y [cm]
0,20	-0,008	0,069
1,90	0,033	0,070
3,60	0,097	0,070

Spostamenti piedritto destro (Combinazione n° 30)

Y [m]	u_x [cm]	u_y [cm]
0,20	-0,009	0,067
1,90	-0,058	0,067
3,60	-0,133	0,067

Spostamenti fondazione (Combinazione n° 31)

X [m]	u_x [cm]	u_y [cm]
0,00	-0,007	0,067
1,10	-0,007	0,068
2,30	-0,007	0,066
3,43	-0,008	0,067
4,60	-0,008	0,065

Spostamenti piedritto sinistro (Combinazione n° 31)

Y [m]	u_x [cm]	u_y [cm]
0,20	-0,007	0,068
1,90	0,034	0,069
3,60	0,098	0,069

Spostamenti piedritto destro (Combinazione n° 31)

Y [m]	u_x [cm]	u_y [cm]
0,20	-0,008	0,067

1,90	-0,055	0,067
3,60	-0,127	0,067

Spostamenti fondazione (Combinazione n° 32)

X [m]	u _x [cm]	u _y [cm]
0,00	0,009	0,065
1,10	0,009	0,068
2,30	0,009	0,067
3,43	0,009	0,069
4,60	0,008	0,068

Spostamenti piedritto sinistro (Combinazione n° 32)

Y [m]	u _x [cm]	u _y [cm]
0,20	0,009	0,067
1,90	0,058	0,067
3,60	0,133	0,067

Spostamenti piedritto destro (Combinazione n° 32)

Y [m]	u _x [cm]	u _y [cm]
0,20	0,008	0,069
1,90	-0,033	0,070
3,60	-0,097	0,070

Spostamenti fondazione (Combinazione n° 33)

X [m]	u _x [cm]	u _y [cm]
0,00	0,008	0,065
1,10	0,008	0,067
2,30	0,007	0,066
3,43	0,007	0,068
4,60	0,007	0,067

Spostamenti piedritto sinistro (Combinazione n° 33)

Y [m]	u _x [cm]	u _y [cm]
0,20	0,008	0,067
1,90	0,055	0,067
3,60	0,127	0,067

Spostamenti piedritto destro (Combinazione n° 33)

Y [m]	u _x [cm]	u _y [cm]
0,20	0,007	0,068
1,90	-0,034	0,069
3,60	-0,098	0,069

Spostamenti fondazione (Combinazione n° 34)

X [m]	u _x [cm]	u _y [cm]
0,00	-0,008	0,068
1,10	-0,009	0,069
2,30	-0,009	0,067

3,43	-0,009	0,068
4,60	-0,009	0,065

Spostamenti piedritto sinistro (Combinazione n° 34)

Y [m]	u _x [cm]	u _y [cm]
0,20	-0,008	0,069
1,90	0,033	0,070
3,60	0,097	0,070

Spostamenti piedritto destro (Combinazione n° 34)

Y [m]	u _x [cm]	u _y [cm]
0,20	-0,009	0,067
1,90	-0,058	0,067
3,60	-0,133	0,067

Spostamenti fondazione (Combinazione n° 35)

X [m]	u _x [cm]	u _y [cm]
0,00	-0,007	0,067
1,10	-0,007	0,068
2,30	-0,007	0,066
3,43	-0,008	0,067
4,60	-0,008	0,065

Spostamenti piedritto sinistro (Combinazione n° 35)

Y [m]	u _x [cm]	u _y [cm]
0,20	-0,007	0,068
1,90	0,034	0,069
3,60	0,098	0,069

Spostamenti piedritto destro (Combinazione n° 35)

Y [m]	u _x [cm]	u _y [cm]
0,20	-0,008	0,067
1,90	-0,055	0,067
3,60	-0,127	0,067

Sollecitazioni

Sollecitazioni fondazione (Combinazione n° 1)

X [m]	M [kgm]	V [kg]	N [kg]
0,00	0,00	180,55	-5,67
1,10	-1157,78	-3430,37	3496,30
2,30	1014,40	200,92	3496,30
3,43	-892,73	3624,58	3496,30
4,60	0,00	-180,55	-5,67

Sollecitazioni piedritto sinistro (Combinazione n° 1)

Y [m]	M [kgm]	V [kg]	N [kg]
0,20	-3969,70	3501,96	3315,00
1,90	-496,52	875,49	1657,50
3,60	0,00	0,00	0,00

Sollecitazioni piedritto destro (Combinazione n° 1)

Y [m]	M [kgm]	V [kg]	N [kg]
0,20	-3969,70	-3501,96	3315,00
1,90	-496,52	-875,49	1657,50
3,60	0,00	0,00	0,00

Sollecitazioni fondazione (Combinazione n° 2)

X [m]	M [kgm]	V [kg]	N [kg]
0,00	0,00	138,88	-4,36
1,10	-890,60	-2638,74	2689,46
2,30	780,31	154,55	2689,46
3,43	-686,71	2788,14	2689,46
4,60	0,00	-138,88	-4,36

Sollecitazioni piedritto sinistro (Combinazione n° 2)

Y [m]	M [kgm]	V [kg]	N [kg]
0,20	-3053,62	2693,82	2550,00
1,90	-381,94	673,45	1275,00
3,60	0,00	0,00	0,00

Sollecitazioni piedritto destro (Combinazione n° 2)

Y [m]	M [kgm]	V [kg]	N [kg]
0,20	-3053,62	-2693,82	2550,00
1,90	-381,94	-673,45	1275,00
3,60	0,00	0,00	0,00

Sollecitazioni fondazione (Combinazione n° 3)

X [m]	M [kgm]	V [kg]	N [kg]
0,00	0,00	126,25	-5,52
1,10	-1589,10	-2779,21	3404,02
2,30	182,98	162,15	3404,02

3,43	-1374,63	2929,43	3404,02
4,60	0,00	-126,25	-5,52

Sollecitazioni piedritto sinistro (Combinazione n° 3)

Y [m]	M [kgm]	V [kg]	N [kg]
0,20	-3864,93	3409,53	2550,00
1,90	-483,41	852,38	1275,00
3,60	0,00	0,00	0,00

Sollecitazioni piedritto destro (Combinazione n° 3)

Y [m]	M [kgm]	V [kg]	N [kg]
0,20	-3864,93	-3409,53	2550,00
1,90	-483,41	-852,38	1275,00
3,60	0,00	0,00	0,00

Sollecitazioni fondazione (Combinazione n° 4)

X [m]	M [kgm]	V [kg]	N [kg]
0,00	0,00	126,25	-5,52
1,10	-1589,10	-2779,21	3404,02
2,30	182,98	162,15	3404,02
3,43	-1374,63	2929,43	3404,02
4,60	0,00	-126,25	-5,52

Sollecitazioni piedritto sinistro (Combinazione n° 4)

Y [m]	M [kgm]	V [kg]	N [kg]
0,20	-3864,93	3409,53	2550,00
1,90	-483,41	852,38	1275,00
3,60	0,00	0,00	0,00

Sollecitazioni piedritto destro (Combinazione n° 4)

Y [m]	M [kgm]	V [kg]	N [kg]
0,20	-3864,93	-3409,53	2550,00
1,90	-483,41	-852,38	1275,00
3,60	0,00	0,00	0,00

Sollecitazioni fondazione (Combinazione n° 5)

X [m]	M [kgm]	V [kg]	N [kg]
0,00	0,00	123,89	-379,81
1,10	-1450,78	-2944,08	2803,88
2,30	594,23	-130,67	2855,55
3,43	-610,19	2631,66	2903,99
4,60	0,00	-149,41	370,56

Sollecitazioni piedritto sinistro (Combinazione n° 5)

Y [m]	M [kgm]	V [kg]	N [kg]
0,20	-3805,88	3136,32	2604,90
1,90	-570,00	894,71	1302,45

3,60	0,00	0,00	0,00
------	------	------	------

Sollecitazioni piedritto destro (Combinazione n° 5)

Y [m]	M [kgm]	V [kg]	N [kg]
0,20	-2866,96	-2584,02	2604,90
1,90	-335,27	-618,56	1302,45
3,60	0,00	0,00	0,00

Sollecitazioni fondazione (Combinazione n° 6)

X [m]	M [kgm]	V [kg]	N [kg]
0,00	0,00	124,00	-318,59
1,10	-1304,75	-2828,77	2742,85
2,30	626,49	-71,34	2794,52
3,43	-608,85	2613,90	2842,96
4,60	0,00	-143,87	309,53

Sollecitazioni piedritto sinistro (Combinazione n° 6)

Y [m]	M [kgm]	V [kg]	N [kg]
0,20	-3598,06	3014,08	2495,10
1,90	-518,05	833,59	1247,55
3,60	0,00	0,00	0,00

Sollecitazioni piedritto destro (Combinazione n° 6)

Y [m]	M [kgm]	V [kg]	N [kg]
0,20	-2866,96	-2584,02	2495,10
1,90	-335,27	-618,56	1247,55
3,60	0,00	0,00	0,00

Sollecitazioni fondazione (Combinazione n° 7)

X [m]	M [kgm]	V [kg]	N [kg]
0,00	0,00	124,00	-318,59
1,10	-1304,75	-2828,77	2742,85
2,30	626,49	-71,34	2794,52
3,43	-608,85	2613,90	2842,96
4,60	0,00	-143,87	309,53

Sollecitazioni piedritto sinistro (Combinazione n° 7)

Y [m]	M [kgm]	V [kg]	N [kg]
0,20	-3598,06	3014,08	2495,10
1,90	-518,05	833,59	1247,55
3,60	0,00	0,00	0,00

Sollecitazioni piedritto destro (Combinazione n° 7)

Y [m]	M [kgm]	V [kg]	N [kg]
0,20	-2866,96	-2584,02	2495,10
1,90	-335,27	-618,56	1247,55
3,60	0,00	0,00	0,00

Sollecitazioni fondazione (Combinazione n° 8)

X [m]	M [kgm]	V [kg]	N [kg]
0,00	0,00	123,89	-379,81
1,10	-1450,78	-2944,08	2803,88
2,30	594,23	-130,67	2855,55
3,43	-610,19	2631,66	2903,99
4,60	0,00	-149,41	370,56

Sollecitazioni piedritto sinistro (Combinazione n° 8)

Y [m]	M [kgm]	V [kg]	N [kg]
0,20	-3805,88	3136,32	2604,90
1,90	-570,00	894,71	1302,45
3,60	0,00	0,00	0,00

Sollecitazioni piedritto destro (Combinazione n° 8)

Y [m]	M [kgm]	V [kg]	N [kg]
0,20	-2866,96	-2584,02	2604,90
1,90	-335,27	-618,56	1302,45
3,60	0,00	0,00	0,00

Sollecitazioni fondazione (Combinazione n° 9)

X [m]	M [kgm]	V [kg]	N [kg]
0,00	0,00	110,51	-331,57
1,10	-2034,37	-2982,68	3469,19
2,30	14,39	-75,94	3520,86
3,43	-1300,66	2748,81	3569,30
4,60	0,00	-131,47	320,16

Sollecitazioni piedritto sinistro (Combinazione n° 9)

Y [m]	M [kgm]	V [kg]	N [kg]
0,20	-4449,50	3753,40	2495,10
1,90	-629,55	1024,32	1247,55
3,60	0,00	0,00	0,00

Sollecitazioni piedritto destro (Combinazione n° 9)

Y [m]	M [kgm]	V [kg]	N [kg]
0,20	-3678,27	-3299,74	2495,10
1,90	-436,75	-797,48	1247,55
3,60	0,00	0,00	0,00

Sollecitazioni fondazione (Combinazione n° 10)

X [m]	M [kgm]	V [kg]	N [kg]
0,00	0,00	109,22	-409,07
1,10	-2223,29	-3116,53	3546,45
2,30	-38,22	-152,07	3598,12
3,43	-1307,38	2757,78	3646,56
4,60	0,00	-137,33	397,41

Sollecitazioni piedritto sinistro (Combinazione n° 10)

Y [m]	M [kgm]	V [kg]	N [kg]
0,20	-4712,58	3908,16	2604,90
1,90	-695,33	1101,69	1302,45
3,60	0,00	0,00	0,00

Sollecitazioni piedritto destro (Combinazione n° 10)

Y [m]	M [kgm]	V [kg]	N [kg]
0,20	-3678,27	-3299,74	2604,90
1,90	-436,75	-797,48	1302,45
3,60	0,00	0,00	0,00

Sollecitazioni fondazione (Combinazione n° 11)

X [m]	M [kgm]	V [kg]	N [kg]
0,00	0,00	109,22	-409,07
1,10	-2223,29	-3116,53	3546,45
2,30	-38,22	-152,07	3598,12
3,43	-1307,38	2757,78	3646,56
4,60	0,00	-137,33	397,41

Sollecitazioni piedritto sinistro (Combinazione n° 11)

Y [m]	M [kgm]	V [kg]	N [kg]
0,20	-4712,58	3908,16	2604,90
1,90	-695,33	1101,69	1302,45
3,60	0,00	0,00	0,00

Sollecitazioni piedritto destro (Combinazione n° 11)

Y [m]	M [kgm]	V [kg]	N [kg]
0,20	-3678,27	-3299,74	2604,90
1,90	-436,75	-797,48	1302,45
3,60	0,00	0,00	0,00

Sollecitazioni fondazione (Combinazione n° 12)

X [m]	M [kgm]	V [kg]	N [kg]
0,00	0,00	110,51	-331,57
1,10	-2034,37	-2982,68	3469,19
2,30	14,39	-75,94	3520,86
3,43	-1300,66	2748,81	3569,30
4,60	0,00	-131,47	320,16

Sollecitazioni piedritto sinistro (Combinazione n° 12)

Y [m]	M [kgm]	V [kg]	N [kg]
0,20	-4449,50	3753,40	2495,10
1,90	-629,55	1024,32	1247,55
3,60	0,00	0,00	0,00

Sollecitazioni piedritto destro (Combinazione n° 12)

Y [m]	M [kgm]	V [kg]	N [kg]
0,20	-3678,27	-3299,74	2495,10
1,90	-436,75	-797,48	1247,55
3,60	0,00	0,00	0,00

Sollecitazioni fondazione (Combinazione n° 13)

X [m]	M [kgm]	V [kg]	N [kg]
0,00	0,00	149,40	370,56
1,10	-802,17	-2476,96	2907,21
2,30	594,21	448,91	2855,55
3,43	-1223,98	3093,94	2807,10
4,60	0,00	-123,89	-379,81

Sollecitazioni piedritto sinistro (Combinazione n° 13)

Y [m]	M [kgm]	V [kg]	N [kg]
0,20	-2866,96	2584,02	2604,90
1,90	-335,27	618,56	1302,45
3,60	0,00	0,00	0,00

Sollecitazioni piedritto destro (Combinazione n° 13)

Y [m]	M [kgm]	V [kg]	N [kg]
0,20	-3805,88	-3136,32	2604,90
1,90	-570,00	-894,71	1302,45
3,60	0,00	0,00	0,00

Sollecitazioni fondazione (Combinazione n° 14)

X [m]	M [kgm]	V [kg]	N [kg]
0,00	0,00	143,86	309,53
1,10	-799,70	-2465,03	2846,19
2,30	626,47	379,96	2794,52
3,43	-1086,78	2973,86	2746,08
4,60	0,00	-124,00	-318,59

Sollecitazioni piedritto sinistro (Combinazione n° 14)

Y [m]	M [kgm]	V [kg]	N [kg]
0,20	-2866,96	2584,02	2495,10
1,90	-335,27	618,56	1247,55
3,60	0,00	0,00	0,00

Sollecitazioni piedritto destro (Combinazione n° 14)

Y [m]	M [kgm]	V [kg]	N [kg]
0,20	-3598,06	-3014,08	2495,10
1,90	-518,05	-833,59	1247,55
3,60	0,00	0,00	0,00

Sollecitazioni fondazione (Combinazione n° 15)

X [m]	M [kgm]	V [kg]	N [kg]
0,00	0,00	143,86	309,53

1,10	-799,70	-2465,03	2846,19
2,30	626,47	379,96	2794,52
3,43	-1086,78	2973,86	2746,08
4,60	0,00	-124,00	-318,59

Sollecitazioni piedritto sinistro (Combinazione n° 15)

Y [m]	M [kgm]	V [kg]	N [kg]
0,20	-2866,96	2584,02	2495,10
1,90	-335,27	618,56	1247,55
3,60	0,00	0,00	0,00

Sollecitazioni piedritto destro (Combinazione n° 15)

Y [m]	M [kgm]	V [kg]	N [kg]
0,20	-3598,06	-3014,08	2495,10
1,90	-518,05	-833,59	1247,55
3,60	0,00	0,00	0,00

Sollecitazioni fondazione (Combinazione n° 16)

X [m]	M [kgm]	V [kg]	N [kg]
0,00	0,00	149,40	370,56
1,10	-802,17	-2476,96	2907,21
2,30	594,21	448,91	2855,55
3,43	-1223,98	3093,94	2807,10
4,60	0,00	-123,89	-379,81

Sollecitazioni piedritto sinistro (Combinazione n° 16)

Y [m]	M [kgm]	V [kg]	N [kg]
0,20	-2866,96	2584,02	2604,90
1,90	-335,27	618,56	1302,45
3,60	0,00	0,00	0,00

Sollecitazioni piedritto destro (Combinazione n° 16)

Y [m]	M [kgm]	V [kg]	N [kg]
0,20	-3805,88	-3136,32	2604,90
1,90	-570,00	-894,71	1302,45
3,60	0,00	0,00	0,00

Sollecitazioni fondazione (Combinazione n° 17)

X [m]	M [kgm]	V [kg]	N [kg]
0,00	0,00	131,47	320,16
1,10	-1501,61	-2598,99	3572,53
2,30	14,37	400,13	3520,86
3,43	-1804,83	3128,53	3472,42
4,60	0,00	-110,51	-331,57

Sollecitazioni piedritto sinistro (Combinazione n° 17)

Y [m]	M [kgm]	V [kg]	N [kg]

0,20	-3678,27	3299,74	2495,10
1,90	-436,75	797,48	1247,55
3,60	0,00	0,00	0,00

Sollecitazioni piedritto destro (Combinazione n° 17)

Y [m]	M [kgm]	V [kg]	N [kg]
0,20	-4449,50	-3753,40	2495,10
1,90	-629,55	-1024,32	1247,55
3,60	0,00	0,00	0,00

Sollecitazioni fondazione (Combinazione n° 18)

X [m]	M [kgm]	V [kg]	N [kg]
0,00	0,00	137,33	397,41
1,10	-1508,78	-2601,95	3649,79
2,30	-38,25	486,40	3598,12
3,43	-1983,52	3267,03	3549,68
4,60	0,00	-109,22	-409,07

Sollecitazioni piedritto sinistro (Combinazione n° 18)

Y [m]	M [kgm]	V [kg]	N [kg]
0,20	-3678,27	3299,74	2604,90
1,90	-436,75	797,48	1302,45
3,60	0,00	0,00	0,00

Sollecitazioni piedritto destro (Combinazione n° 18)

Y [m]	M [kgm]	V [kg]	N [kg]
0,20	-4712,58	-3908,16	2604,90
1,90	-695,33	-1101,69	1302,45
3,60	0,00	0,00	0,00

Sollecitazioni fondazione (Combinazione n° 19)

X [m]	M [kgm]	V [kg]	N [kg]
0,00	0,00	137,33	397,41
1,10	-1508,78	-2601,95	3649,79
2,30	-38,25	486,40	3598,12
3,43	-1983,52	3267,03	3549,68
4,60	0,00	-109,22	-409,07

Sollecitazioni piedritto sinistro (Combinazione n° 19)

Y [m]	M [kgm]	V [kg]	N [kg]
0,20	-3678,27	3299,74	2604,90
1,90	-436,75	797,48	1302,45
3,60	0,00	0,00	0,00

Sollecitazioni piedritto destro (Combinazione n° 19)

Y [m]	M [kgm]	V [kg]	N [kg]
0,20	-4712,58	-3908,16	2604,90
1,90	-695,33	-1101,69	1302,45
3,60	0,00	0,00	0,00

Sollecitazioni fondazione (Combinazione n° 20)

X [m]	M [kgm]	V [kg]	N [kg]
0,00	0,00	131,47	320,16
1,10	-1501,61	-2598,99	3572,53
2,30	14,37	400,13	3520,86
3,43	-1804,83	3128,53	3472,42
4,60	0,00	-110,51	-331,57

Sollecitazioni piedritto sinistro (Combinazione n° 20)

Y [m]	M [kgm]	V [kg]	N [kg]
0,20	-3678,27	3299,74	2495,10
1,90	-436,75	797,48	1247,55
3,60	0,00	0,00	0,00

Sollecitazioni piedritto destro (Combinazione n° 20)

Y [m]	M [kgm]	V [kg]	N [kg]
0,20	-4449,50	-3753,40	2495,10
1,90	-629,55	-1024,32	1247,55
3,60	0,00	0,00	0,00

Sollecitazioni fondazione (Combinazione n° 21)

X [m]	M [kgm]	V [kg]	N [kg]
0,00	0,00	138,88	-4,36
1,10	-890,60	-2638,74	2689,46
2,30	780,31	154,55	2689,46
3,43	-686,71	2788,14	2689,46
4,60	0,00	-138,88	-4,36

Sollecitazioni piedritto sinistro (Combinazione n° 21)

Y [m]	M [kgm]	V [kg]	N [kg]
0,20	-3053,62	2693,82	2550,00
1,90	-381,94	673,45	1275,00
3,60	0,00	0,00	0,00

Sollecitazioni piedritto destro (Combinazione n° 21)

Y [m]	M [kgm]	V [kg]	N [kg]
0,20	-3053,62	-2693,82	2550,00
1,90	-381,94	-673,45	1275,00
3,60	0,00	0,00	0,00

Sollecitazioni fondazione (Combinazione n° 22)

X [m]	M [kgm]	V [kg]	N [kg]
0,00	0,00	138,88	-4,36
1,10	-890,60	-2638,74	2689,46
2,30	780,31	154,55	2689,46
3,43	-686,71	2788,14	2689,46
4,60	0,00	-138,88	-4,36

Sollecitazioni piedritto sinistro (Combinazione n° 22)

Y [m]	M [kgm]	V [kg]	N [kg]
0,20	-3053,62	2693,82	2550,00
1,90	-381,94	673,45	1275,00
3,60	0,00	0,00	0,00

Sollecitazioni piedritto destro (Combinazione n° 22)

Y [m]	M [kgm]	V [kg]	N [kg]
0,20	-3053,62	-2693,82	2550,00
1,90	-381,94	-673,45	1275,00
3,60	0,00	0,00	0,00

Sollecitazioni fondazione (Combinazione n° 23)

X [m]	M [kgm]	V [kg]	N [kg]
0,00	0,00	138,88	-4,36
1,10	-890,60	-2638,74	2689,46
2,30	780,31	154,55	2689,46
3,43	-686,71	2788,14	2689,46
4,60	0,00	-138,88	-4,36

Sollecitazioni piedritto sinistro (Combinazione n° 23)

Y [m]	M [kgm]	V [kg]	N [kg]
0,20	-3053,62	2693,82	2550,00
1,90	-381,94	673,45	1275,00
3,60	0,00	0,00	0,00

Sollecitazioni piedritto destro (Combinazione n° 23)

Y [m]	M [kgm]	V [kg]	N [kg]
0,20	-3053,62	-2693,82	2550,00
1,90	-381,94	-673,45	1275,00
3,60	0,00	0,00	0,00

Sollecitazioni fondazione (Combinazione n° 24)

X [m]	M [kgm]	V [kg]	N [kg]
0,00	0,00	134,58	-113,14
1,10	-1051,43	-2726,79	2721,72
2,30	727,37	72,26	2736,87
3,43	-663,85	2742,96	2751,07
4,60	0,00	-141,94	104,27

Sollecitazioni piedritto sinistro (Combinazione n° 24)

Y [m]	M [kgm]	V [kg]	N [kg]
0,20	-3269,78	2820,97	2566,10
1,90	-435,98	737,03	1283,05
3,60	0,00	0,00	0,00

Sollecitazioni piedritto destro (Combinazione n° 24)

Y [m]	M [kgm]	V [kg]	N [kg]
0,20	-2998,89	-2661,63	2566,10
1,90	-368,26	-657,36	1283,05
3,60	0,00	0,00	0,00

Sollecitazioni fondazione (Combinazione n° 25)

X [m]	M [kgm]	V [kg]	N [kg]
0,00	0,00	134,62	-95,12
1,10	-1008,42	-2692,90	2703,75
2,30	736,92	89,74	2718,90
3,43	-663,43	2737,79	2733,10
4,60	0,00	-140,32	86,30

Sollecitazioni piedritto sinistro (Combinazione n° 25)

Y [m]	M [kgm]	V [kg]	N [kg]
0,20	-3208,59	2784,98	2533,90
1,90	-420,68	719,03	1266,95
3,60	0,00	0,00	0,00

Sollecitazioni piedritto destro (Combinazione n° 25)

Y [m]	M [kgm]	V [kg]	N [kg]
0,20	-2998,89	-2661,63	2533,90
1,90	-368,26	-657,36	1266,95
3,60	0,00	0,00	0,00

Sollecitazioni fondazione (Combinazione n° 26)

X [m]	M [kgm]	V [kg]	N [kg]
0,00	0,00	141,94	104,27
1,10	-864,30	-2592,02	2752,01
2,30	727,36	239,48	2736,87
3,43	-840,93	2876,33	2722,66
4,60	0,00	-134,58	-113,14

Sollecitazioni piedritto sinistro (Combinazione n° 26)

Y [m]	M [kgm]	V [kg]	N [kg]
0,20	-2998,89	2661,63	2566,10
1,90	-368,26	657,36	1283,05
3,60	0,00	0,00	0,00

Sollecitazioni piedritto destro (Combinazione n° 26)

Y [m]	M [kgm]	V [kg]	N [kg]
0,20	-3269,78	-2820,97	2566,10
1,90	-435,98	-737,03	1283,05
3,60	0,00	0,00	0,00

Sollecitazioni fondazione (Combinazione n° 27)

X [m]	M [kgm]	V [kg]	N [kg]
0,00	0,00	140,32	86,30
1,10	-863,56	-2588,57	2734,05
2,30	736,92	219,18	2718,90
3,43	-800,51	2841,04	2704,70
4,60	0,00	-134,62	-95,12

Sollecitazioni piedritto sinistro (Combinazione n° 27)

Y [m]	M [kgm]	V [kg]	N [kg]
0,20	-2998,89	2661,63	2533,90
1,90	-368,26	657,36	1266,95
3,60	0,00	0,00	0,00

Sollecitazioni piedritto destro (Combinazione n° 27)

Y [m]	M [kgm]	V [kg]	N [kg]
0,20	-3208,59	-2784,98	2533,90
1,90	-420,68	-719,03	1266,95
3,60	0,00	0,00	0,00

Sollecitazioni fondazione (Combinazione n° 28)

X [m]	M [kgm]	V [kg]	N [kg]
0,00	0,00	134,58	-113,14
1,10	-1051,43	-2726,79	2721,72
2,30	727,37	72,26	2736,87
3,43	-663,85	2742,96	2751,07
4,60	0,00	-141,94	104,27

Sollecitazioni piedritto sinistro (Combinazione n° 28)

Y [m]	M [kgm]	V [kg]	N [kg]
0,20	-3269,78	2820,97	2566,10
1,90	-435,98	737,03	1283,05
3,60	0,00	0,00	0,00

Sollecitazioni piedritto destro (Combinazione n° 28)

Y [m]	M [kgm]	V [kg]	N [kg]
0,20	-2998,89	-2661,63	2566,10
1,90	-368,26	-657,36	1283,05
3,60	0,00	0,00	0,00

Sollecitazioni fondazione (Combinazione n° 29)

X [m]	M [kgm]	V [kg]	N [kg]
0,00	0,00	134,62	-95,12
1,10	-1008,42	-2692,90	2703,75
2,30	736,92	89,74	2718,90
3,43	-663,43	2737,79	2733,10
4,60	0,00	-140,32	86,30

Sollecitazioni piedritto sinistro (Combinazione n° 29)

Y [m]	M [kgm]	V [kg]	N [kg]
0,20	-3208,59	2784,98	2533,90
1,90	-420,68	719,03	1266,95
3,60	0,00	0,00	0,00

Sollecitazioni piedritto destro (Combinazione n° 29)

Y [m]	M [kgm]	V [kg]	N [kg]
0,20	-2998,89	-2661,63	2533,90
1,90	-368,26	-657,36	1266,95
3,60	0,00	0,00	0,00

Sollecitazioni fondazione (Combinazione n° 30)

X [m]	M [kgm]	V [kg]	N [kg]
0,00	0,00	141,94	104,27
1,10	-864,30	-2592,02	2752,01
2,30	727,36	239,48	2736,87
3,43	-840,93	2876,33	2722,66
4,60	0,00	-134,58	-113,14

Sollecitazioni piedritto sinistro (Combinazione n° 30)

Y [m]	M [kgm]	V [kg]	N [kg]
0,20	-2998,89	2661,63	2566,10
1,90	-368,26	657,36	1283,05
3,60	0,00	0,00	0,00

Sollecitazioni piedritto destro (Combinazione n° 30)

Y [m]	M [kgm]	V [kg]	N [kg]
0,20	-3269,78	-2820,97	2566,10
1,90	-435,98	-737,03	1283,05
3,60	0,00	0,00	0,00

Sollecitazioni fondazione (Combinazione n° 31)

X [m]	M [kgm]	V [kg]	N [kg]
0,00	0,00	140,32	86,30
1,10	-863,56	-2588,57	2734,05
2,30	736,92	219,18	2718,90
3,43	-800,51	2841,04	2704,70
4,60	0,00	-134,62	-95,12

Sollecitazioni piedritto sinistro (Combinazione n° 31)

Y [m]	M [kgm]	V [kg]	N [kg]
0,20	-2998,89	2661,63	2533,90
1,90	-368,26	657,36	1266,95
3,60	0,00	0,00	0,00

Sollecitazioni piedritto destro (Combinazione n° 31)

Y [m]	M [kgm]	V [kg]	N [kg]
0,20	-3208,59	-2784,98	2533,90

1,90	-420,68	-719,03	1266,95
3,60	0,00	0,00	0,00

Sollecitazioni fondazione (Combinazione n° 32)

X [m]	M [kgm]	V [kg]	N [kg]
0,00	0,00	134,58	-113,14
1,10	-1051,43	-2726,79	2721,72
2,30	727,37	72,26	2736,87
3,43	-663,85	2742,96	2751,07
4,60	0,00	-141,94	104,27

Sollecitazioni piedritto sinistro (Combinazione n° 32)

Y [m]	M [kgm]	V [kg]	N [kg]
0,20	-3269,78	2820,97	2566,10
1,90	-435,98	737,03	1283,05
3,60	0,00	0,00	0,00

Sollecitazioni piedritto destro (Combinazione n° 32)

Y [m]	M [kgm]	V [kg]	N [kg]
0,20	-2998,89	-2661,63	2566,10
1,90	-368,26	-657,36	1283,05
3,60	0,00	0,00	0,00

Sollecitazioni fondazione (Combinazione n° 33)

X [m]	M [kgm]	V [kg]	N [kg]
0,00	0,00	134,62	-95,12
1,10	-1008,42	-2692,90	2703,75
2,30	736,92	89,74	2718,90
3,43	-663,43	2737,79	2733,10
4,60	0,00	-140,32	86,30

Sollecitazioni piedritto sinistro (Combinazione n° 33)

Y [m]	M [kgm]	V [kg]	N [kg]
0,20	-3208,59	2784,98	2533,90
1,90	-420,68	719,03	1266,95
3,60	0,00	0,00	0,00

Sollecitazioni piedritto destro (Combinazione n° 33)

Y [m]	M [kgm]	V [kg]	N [kg]
0,20	-2998,89	-2661,63	2533,90
1,90	-368,26	-657,36	1266,95
3,60	0,00	0,00	0,00

Sollecitazioni fondazione (Combinazione n° 34)

X [m]	M [kgm]	V [kg]	N [kg]
0,00	0,00	141,94	104,27
1,10	-864,30	-2592,02	2752,01
2,30	727,36	239,48	2736,87

3,43	-840,93	2876,33	2722,66
4,60	0,00	-134,58	-113,14

Sollecitazioni piedritto sinistro (Combinazione n° 34)

Y [m]	M [kgm]	V [kg]	N [kg]
0,20	-2998,89	2661,63	2566,10
1,90	-368,26	657,36	1283,05
3,60	0,00	0,00	0,00

Sollecitazioni piedritto destro (Combinazione n° 34)

Y [m]	M [kgm]	V [kg]	N [kg]
0,20	-3269,78	-2820,97	2566,10
1,90	-435,98	-737,03	1283,05
3,60	0,00	0,00	0,00

Sollecitazioni fondazione (Combinazione n° 35)

X [m]	M [kgm]	V [kg]	N [kg]
0,00	0,00	140,32	86,30
1,10	-863,56	-2588,57	2734,05
2,30	736,92	219,18	2718,90
3,43	-800,51	2841,04	2704,70
4,60	0,00	-134,62	-95,12

Sollecitazioni piedritto sinistro (Combinazione n° 35)

Y [m]	M [kgm]	V [kg]	N [kg]
0,20	-2998,89	2661,63	2533,90
1,90	-368,26	657,36	1266,95
3,60	0,00	0,00	0,00

Sollecitazioni piedritto destro (Combinazione n° 35)

Y [m]	M [kgm]	V [kg]	N [kg]
0,20	-3208,59	-2784,98	2533,90
1,90	-420,68	-719,03	1266,95
3,60	0,00	0,00	0,00

Pressioni terreno

Pressioni sul terreno di fondazione (Combinazione n° 1)

X [m]	σ_t [kg/cmq]
0,00	0,43
1,10	0,44
2,30	0,43
3,43	0,44
4,60	0,43

Pressioni sul terreno di fondazione (Combinazione n° 2)

X [m]	σ_t [kg/cmq]
0,00	0,33
1,10	0,34
2,30	0,33
3,43	0,34
4,60	0,33

Pressioni sul terreno di fondazione (Combinazione n° 3)

X [m]	σ_t [kg/cmq]
0,00	0,30
1,10	0,34
2,30	0,35
3,43	0,34
4,60	0,30

Pressioni sul terreno di fondazione (Combinazione n° 4)

X [m]	σ_t [kg/cmq]
0,00	0,30
1,10	0,34
2,30	0,35
3,43	0,34
4,60	0,30

Pressioni sul terreno di fondazione (Combinazione n° 5)

X [m]	σ_t [kg/cmq]
0,00	0,30
1,10	0,33
2,30	0,34
3,43	0,36
4,60	0,36

Pressioni sul terreno di fondazione (Combinazione n° 6)

X [m]	σ_t [kg/cmq]
0,00	0,30
1,10	0,33
2,30	0,33
3,43	0,34
4,60	0,35

Pressioni sul terreno di fondazione (Combinazione n° 7)

X [m]	σ_t [kg/cmq]
0,00	0,30
1,10	0,33

2,30	0,33
3,43	0,34
4,60	0,35

Pressioni sul terreno di fondazione (Combinazione n° 8)

X [m]	σ_t [kg/cmq]
0,00	0,30
1,10	0,33
2,30	0,34
3,43	0,36
4,60	0,36

Pressioni sul terreno di fondazione (Combinazione n° 9)

X [m]	σ_t [kg/cmq]
0,00	0,27
1,10	0,33
2,30	0,35
3,43	0,35
4,60	0,32

Pressioni sul terreno di fondazione (Combinazione n° 10)

X [m]	σ_t [kg/cmq]
0,00	0,26
1,10	0,34
2,30	0,36
3,43	0,36
4,60	0,33

Pressioni sul terreno di fondazione (Combinazione n° 11)

X [m]	σ_t [kg/cmq]
0,00	0,26
1,10	0,34
2,30	0,36
3,43	0,36
4,60	0,33

Pressioni sul terreno di fondazione (Combinazione n° 12)

X [m]	σ_t [kg/cmq]
0,00	0,27
1,10	0,33
2,30	0,35
3,43	0,35
4,60	0,32

Pressioni sul terreno di fondazione (Combinazione n° 13)

X [m]	σ_t [kg/cmq]
0,00	0,36
1,10	0,36
2,30	0,34
3,43	0,34
4,60	0,30

Pressioni sul terreno di fondazione (Combinazione n° 14)

X [m]	σ_t [kg/cmq]
0,00	0,36
1,10	0,36
2,30	0,34
3,43	0,34
4,60	0,30

0,00	0,35
1,10	0,35
2,30	0,33
3,43	0,33
4,60	0,30

Pressioni sul terreno di fondazione (Combinazione n° 15)

X [m]	σ_t [kg/cmq]
0,00	0,35
1,10	0,35
2,30	0,33
3,43	0,33
4,60	0,30

Pressioni sul terreno di fondazione (Combinazione n° 16)

X [m]	σ_t [kg/cmq]
0,00	0,36
1,10	0,36
2,30	0,34
3,43	0,34
4,60	0,30

Pressioni sul terreno di fondazione (Combinazione n° 17)

X [m]	σ_t [kg/cmq]
0,00	0,32
1,10	0,35
2,30	0,35
3,43	0,33
4,60	0,27

Pressioni sul terreno di fondazione (Combinazione n° 18)

X [m]	σ_t [kg/cmq]
0,00	0,33
1,10	0,36
2,30	0,36
3,43	0,34
4,60	0,26

Pressioni sul terreno di fondazione (Combinazione n° 19)

X [m]	σ_t [kg/cmq]
0,00	0,33
1,10	0,36
2,30	0,36
3,43	0,34
4,60	0,26

Pressioni sul terreno di fondazione (Combinazione n° 20)

X [m]	σ_t [kg/cmq]
0,00	0,32
1,10	0,35
2,30	0,35
3,43	0,33
4,60	0,27

Pressioni sul terreno di fondazione (Combinazione n° 21)

X [m]	σ_t [kg/cmq]
0,00	0,33
1,10	0,34
2,30	0,33
3,43	0,34
4,60	0,33

Pressioni sul terreno di fondazione (Combinazione n° 22)

X [m]	σ_t [kg/cmq]
0,00	0,33
1,10	0,34
2,30	0,33
3,43	0,34
4,60	0,33

Pressioni sul terreno di fondazione (Combinazione n° 23)

X [m]	σ_t [kg/cmq]
0,00	0,33
1,10	0,34
2,30	0,33
3,43	0,34
4,60	0,33

Pressioni sul terreno di fondazione (Combinazione n° 24)

X [m]	σ_t [kg/cmq]
0,00	0,32
1,10	0,34
2,30	0,33
3,43	0,34
4,60	0,34

Pressioni sul terreno di fondazione (Combinazione n° 25)

X [m]	σ_t [kg/cmq]
0,00	0,32
1,10	0,34
2,30	0,33
3,43	0,34
4,60	0,34

Pressioni sul terreno di fondazione (Combinazione n° 26)

X [m]	σ_t [kg/cmq]
0,00	0,34
1,10	0,35
2,30	0,33
3,43	0,34
4,60	0,32

Pressioni sul terreno di fondazione (Combinazione n° 27)

X [m]	σ_t [kg/cmq]
0,00	0,34
1,10	0,34
2,30	0,33
3,43	0,34
4,60	0,32

Pressioni sul terreno di fondazione (Combinazione n° 28)

X [m]	σ_t [kg/cmq]
0,00	0,32
1,10	0,34
2,30	0,33
3,43	0,34
4,60	0,34

Pressioni sul terreno di fondazione (Combinazione n° 29)

X [m]	σ_t [kg/cmq]
0,00	0,32
1,10	0,34
2,30	0,33
3,43	0,34
4,60	0,34

Pressioni sul terreno di fondazione (Combinazione n° 30)

X [m]	σ_t [kg/cmq]
0,00	0,34
1,10	0,35
2,30	0,33
3,43	0,34
4,60	0,32

Pressioni sul terreno di fondazione (Combinazione n° 31)

X [m]	σ_t [kg/cmq]
0,00	0,34
1,10	0,34
2,30	0,33
3,43	0,34
4,60	0,32

Pressioni sul terreno di fondazione (Combinazione n° 32)

X [m]	σ_t [kg/cmq]
0,00	0,32
1,10	0,34
2,30	0,33
3,43	0,34
4,60	0,34

Pressioni sul terreno di fondazione (Combinazione n° 33)

X [m]	σ_t [kg/cmq]
0,00	0,32
1,10	0,34
2,30	0,33
3,43	0,34
4,60	0,34

Pressioni sul terreno di fondazione (Combinazione n° 34)

X [m]	σ_t [kg/cmq]
0,00	0,34
1,10	0,35
2,30	0,33

3,43	0,34
4,60	0,32

Pressioni sul terreno di fondazione (Combinazione n° 35)

X [m]	σ_t [kg/cmq]
0,00	0,34
1,10	0,34
2,30	0,33
3,43	0,34
4,60	0,32

Verifiche combinazioni SLU

Simbologia adottata ed unità di misura

<i>N°</i>	<i>Indice sezione</i>
X	Ascissa/Ordinata sezione, espresso in cm
M	Momento flettente, espresso in kgm
V	Taglio, espresso in kg
N	Sforzo normale, espresso in kg
N_u	Sforzo normale ultimo, espressa in kg
M_u	Momento ultimo, espressa in kgm
A_{fi}	Area armatura inferiore, espresse in cmq
A_{fs}	Area armatura superiore, espresse in cmq
CS	Coeff. di sicurezza sezione
V_{Rd}	Aliquota taglio assorbita dal calcestruzzo in elementi senza armature trasversali, espressa in kg
V_{Rcd}	Aliquota taglio assorbita dal calcestruzzo in elementi con armature trasversali, espressa in kg
V_{Rsd}	Aliquota taglio assorbita armature trasversali, espressa in kg
A_{sw}	Area armature trasversali nella sezione, espressa in cmq

Verifica sezioni fondazione [Combinazione n° 1 - SLU (Caso A1-M1)]

Base sezione B = 100 cm

Altezza sezioneH = 40,00 cm

Verifiche presso-flessione

N°	X	M	N	N_u	M_u	A_{fi}	A_{fs}	CS
1	0,00	0 (-60)	-6	-853	-9057	6,79	6,79	150,65
2	1,10	1158 (2300)	3496	18672	12284	6,79	4,52	5,34
3	2,30	-1014 (-1014)	3496	72631	-21073	6,79	6,79	20,77
4	3,43	893 (2100)	3496	21125	12687	6,79	4,52	6,04
5	4,60	0 (-60)	-6	-853	-9057	6,79	6,79	150,65

Verifiche taglio

N°	X	V	V_{Rd}	V_{Rsd}	V_{Rcd}	A_{sw}
1	0,00	181	15071	0	0	0,00
2	1,10	-3430	15557	0	0	0,00
3	2,30	201	15557	0	0	0,00
4	3,43	3625	15557	0	0	0,00
5	4,60	-181	15071	0	0	0,00

Verifica sezioni piedritto sinistro [Combinazione n° 1 - SLU (Caso A1-M1)]

Base sezione B = 100 cm

Altezza sezioneH = 30,00 cm

Verifiche presso-flessione

N°	X	M	N	N_u	M_u	A_{fi}	A_{fs}	CS
1	0,20	-3970 (-3970)	3315	5191	-6216	4,52	5,65	1,57
2	1,90	-497 (-709)	1658	18180	-7779	4,52	5,65	10,97
3	3,60	0 (0)	0	0	0	4,52	5,65	1000,00

Verifiche taglio

N°	X	V	V_{Rd}	V_{Rsd}	V_{Rcd}	A_{sw}
1	0,20	3502	12660	0	0	0,00
2	1,90	875	12436	0	0	0,00
3	3,60	0	12213	0	0	0,00

Verifica sezioni piedritto destro [Combinazione n° 1 - SLU (Caso A1-M1)]

Base sezione B = 100 cm
Altezza sezioneH = 30,00 cm

Verifiche presso-flessione

N°	X	M	N	N _u	M _u	A _{fi}	A _{fs}	CS
1	0,20	-3970 (-3970)	3315	5191	-6216	4,52	5,65	1,57
2	1,90	-497 (-709)	1657	18180	-7779	4,52	5,65	10,97
3	3,60	0 (0)	0	0	0	4,52	5,65	1000,00

Verifiche taglio

N°	X	V	V _{Rd}	V _{Rsd}	V _{Rcd}	A _{sw}
1	0,20	-3502	12660	0	0	0,00
2	1,90	-875	12436	0	0	0,00
3	3,60	0	12213	0	0	0,00

Verifica sezioni fondazione [Combinazione n° 2 - SLU (Caso A1-M1)]

Base sezione B = 100 cm
Altezza sezioneH = 40,00 cm

Verifiche presso-flessione

N°	X	M	N	N _u	M _u	A _{fi}	A _{fs}	CS
1	0,00	0 (-46)	-4	-853	-9057	6,79	6,79	195,84
2	1,10	891 (1769)	2689	18672	12284	6,79	4,52	6,94
3	2,30	-780 (-780)	2689	72631	-21073	6,79	6,79	27,01
4	3,43	687 (1615)	2689	21125	12687	6,79	4,52	7,85
5	4,60	0 (-46)	-4	-853	-9057	6,79	6,79	195,84

Verifiche taglio

N°	X	V	V _{Rd}	V _{Rsd}	V _{Rcd}	A _{sw}
1	0,00	139	15071	0	0	0,00
2	1,10	-2639	15445	0	0	0,00
3	2,30	155	15445	0	0	0,00
4	3,43	2788	15445	0	0	0,00
5	4,60	-139	15071	0	0	0,00

Verifica sezioni piedritto sinistro [Combinazione n° 2 - SLU (Caso A1-M1)]

Base sezione B = 100 cm
Altezza sezioneH = 30,00 cm

Verifiche presso-flessione

N°	X	M	N	N _u	M _u	A _{fi}	A _{fs}	CS
1	0,20	-3054 (-3054)	2550	5191	-6216	4,52	5,65	2,04
2	1,90	-382 (-546)	1275	18180	-7779	4,52	5,65	14,26
3	3,60	0 (0)	0	0	0	4,52	5,65	1000,00

Verifiche taglio

N°	X	V	V _{Rd}	V _{Rsd}	V _{Rcd}	A _{sw}
1	0,20	2694	12557	0	0	0,00
2	1,90	673	12385	0	0	0,00
3	3,60	0	12213	0	0	0,00

Verifica sezioni piedritto destro [Combinazione n° 2 - SLU (Caso A1-M1)]

Base sezione B = 100 cm
Altezza sezioneH = 30,00 cm

Verifiche presso-flessione

N°	X	M	N	N _u	M _u	A _{fi}	A _{fs}	CS
1	0,20	-3054 (-3054)	2550	5191	-6216	4,52	5,65	2,04
2	1,90	-382 (-546)	1275	18180	-7779	4,52	5,65	14,26
3	3,60	0 (0)	0	0	0	4,52	5,65	1000,00

Verifiche taglio

N°	X	V	V _{Rd}	V _{Rsd}	V _{Rcd}	A _{sw}
1	0,20	-2694	12557	0	0	0,00
2	1,90	-673	12385	0	0	0,00
3	3,60	0	12213	0	0	0,00

Verifica sezioni fondazione [Combinazione n° 3 - SLU (Caso A2-M2)]

Base sezione B = 100 cm
Altezza sezioneH = 40,00 cm

Verifiche presso-flessione

N°	X	M	N	N _u	M _u	A _{fi}	A _{fs}	CS
1	0,00	0 (42)	-6	-1181	8999	6,79	6,79	214,06
2	1,10	1589 (2515)	3404	16044	11852	6,79	4,52	4,71
3	2,30	-183 (-237)	3404	383291	-26683	6,79	6,79	112,60
4	3,43	1375 (2350)	3404	17517	12094	6,79	4,52	5,15
5	4,60	0 (42)	-6	-1181	8999	6,79	6,79	214,05

Verifiche taglio

N°	X	V	V _{Rd}	V _{Rsd}	V _{Rcd}	A _{sw}
1	0,00	126	15071	0	0	0,00
2	1,10	-2779	15544	0	0	0,00
3	2,30	162	15544	0	0	0,00
4	3,43	2929	15544	0	0	0,00
5	4,60	-126	15071	0	0	0,00

Verifica sezioni piedritto sinistro [Combinazione n° 3 - SLU (Caso A2-M2)]

Base sezione B = 100 cm
Altezza sezioneH = 30,00 cm

Verifiche presso-flessione

N°	X	M	N	N _u	M _u	A _{fi}	A _{fs}	CS
1	0,20	-3865 (-3865)	2550	4007	-6074	4,52	5,65	1,57
2	1,90	-483 (-691)	1275	13273	-7189	4,52	5,65	10,41
3	3,60	0 (0)	0	0	0	4,52	5,65	1000,00

Verifiche taglio

N°	X	V	V _{Rd}	V _{Rsd}	V _{Rcd}	A _{sw}
1	0,20	3410	12557	0	0	0,00
2	1,90	852	12385	0	0	0,00

3	3,60	0	12213	0	0	0,00
---	------	---	-------	---	---	------

Verifica sezioni piedritto destro [Combinazione n° 3 - SLU (Caso A2-M2)]

Base sezione B = 100 cm
Altezza sezioneH = 30,00 cm

Verifiche presso-flessione

N°	X	M	N	N _u	M _u	A _{fi}	A _{fs}	CS
1	0,20	-3865 (-3865)	2550	4007	-6074	4,52	5,65	1,57
2	1,90	-483 (-691)	1275	13273	-7189	4,52	5,65	10,41
3	3,60	0 (0)	0	0	0	4,52	5,65	1000,00

Verifiche taglio

N°	X	V	V _{Rd}	V _{Rsd}	V _{Rcd}	A _{sw}
1	0,20	-3410	12557	0	0	0,00
2	1,90	-852	12385	0	0	0,00
3	3,60	0	12213	0	0	0,00

Verifica sezioni fondazione [Combinazione n° 4 - SLU (Caso A2-M2)]

Base sezione B = 100 cm
Altezza sezioneH = 40,00 cm

Verifiche presso-flessione

N°	X	M	N	N _u	M _u	A _{fi}	A _{fs}	CS
1	0,00	0 (42)	-6	-1181	8999	6,79	6,79	214,06
2	1,10	1589 (2515)	3404	16044	11852	6,79	4,52	4,71
3	2,30	-183 (-237)	3404	383291	-26683	6,79	6,79	112,60
4	3,43	1375 (2350)	3404	17517	12094	6,79	4,52	5,15
5	4,60	0 (42)	-6	-1181	8999	6,79	6,79	214,05

Verifiche taglio

N°	X	V	V _{Rd}	V _{Rsd}	V _{Rcd}	A _{sw}
1	0,00	126	15071	0	0	0,00
2	1,10	-2779	15544	0	0	0,00
3	2,30	162	15544	0	0	0,00
4	3,43	2929	15544	0	0	0,00
5	4,60	-126	15071	0	0	0,00

Verifica sezioni piedritto sinistro [Combinazione n° 4 - SLU (Caso A2-M2)]

Base sezione B = 100 cm
Altezza sezioneH = 30,00 cm

Verifiche presso-flessione

N°	X	M	N	N _u	M _u	A _{fi}	A _{fs}	CS
1	0,20	-3865 (-3865)	2550	4007	-6074	4,52	5,65	1,57
2	1,90	-483 (-691)	1275	13273	-7189	4,52	5,65	10,41
3	3,60	0 (0)	0	0	0	4,52	5,65	1000,00

Verifiche taglio

N°	X	V	V _{Rd}	V _{Rsd}	V _{Rcd}	A _{sw}
1	0,00	0	0	0	0	0,00

1	0,20	3410	12557	0	0	0,00
2	1,90	852	12385	0	0	0,00
3	3,60	0	12213	0	0	0,00

Verifica sezioni piedritto destro [Combinazione n° 4 - SLU (Caso A2-M2)]

Base sezione B = 100 cm

Altezza sezioneH = 30,00 cm

Verifiche presso-flessione

N°	X	M	N	N _u	M _u	A _{fi}	A _{fs}	CS
1	0,20	-3865 (-3865)	2550	4007	-6074	4,52	5,65	1,57
2	1,90	-483 (-691)	1275	13273	-7189	4,52	5,65	10,41
3	3,60	0 (0)	0	0	0	4,52	5,65	1000,00

Verifiche taglio

N°	X	V	V _{Rd}	V _{Rsd}	V _{Rcd}	A _{sw}
1	0,20	-3410	12557	0	0	0,00
2	1,90	-852	12385	0	0	0,00
3	3,60	0	12213	0	0	0,00

Verifica sezioni fondazione [Combinazione n° 5 - SLU (Caso A1-M1) - Sisma Vert. positivo]

Base sezione B = 100 cm

Altezza sezioneH = 40,00 cm

Verifiche presso-flessione

N°	X	M	N	N _u	M _u	A _{fi}	A _{fs}	CS
1	0,00	0 (41)	-380	-32203	3498	6,79	6,79	84,79
2	1,10	1451 (2431)	2804	13114	11371	6,79	4,52	4,68
3	2,30	-594 (-611)	2856	133303	-28521	6,79	6,79	46,68
4	3,43	610 (1487)	2904	26513	13572	6,79	4,52	9,13
5	4,60	0 (50)	371	256636	34456	6,79	6,79	692,57

Verifiche taglio

N°	X	V	V _{Rd}	V _{Rsd}	V _{Rcd}	A _{sw}
1	0,00	124	15019	0	0	0,00
2	1,10	-2944	15461	0	0	0,00
3	2,30	-131	15468	0	0	0,00
4	3,43	2632	15475	0	0	0,00
5	4,60	-149	15123	0	0	0,00

Verifica sezioni piedritto sinistro [Combinazione n° 5 - SLU (Caso A1-M1) - Sisma Vert. positivo]

Base sezione B = 100 cm

Altezza sezioneH = 30,00 cm

Verifiche presso-flessione

N°	X	M	N	N _u	M _u	A _{fi}	A _{fs}	CS
1	0,20	-3806 (-3806)	2605	4171	-6093	4,52	5,65	1,60
2	1,90	-570 (-787)	1302	11548	-6981	4,52	5,65	8,87
3	3,60	0 (0)	0	0	0	4,52	5,65	1000,00

Verifiche taglio

N°	X	V	V _{Rd}	V _{Rsd}	V _{Rcd}	A _{sw}
1	0,20	3136	12564	0	0	0,00
2	1,90	895	12388	0	0	0,00
3	3,60	0	12213	0	0	0,00

Verifica sezioni piedritto destro [Combinazione n° 5 - SLU (Caso A1-M1) - Sisma Vert. positivo]

Base sezione B = 100 cm

Altezza sezioneH = 30,00 cm

Verifiche presso-flessione

N°	X	M	N	N _u	M _u	A _{fi}	A _{fs}	CS
1	0,20	-2867 (-2867)	2605	5704	-6278	4,52	5,65	2,19
2	1,90	-335 (-486)	1302	22147	-8257	4,52	5,65	17,00
3	3,60	0 (0)	0	0	0	4,52	5,65	1000,00

Verifiche taglio

N°	X	V	V _{Rd}	V _{Rsd}	V _{Rcd}	A _{sw}
1	0,20	-2584	12564	0	0	0,00
2	1,90	-619	12388	0	0	0,00
3	3,60	0	12213	0	0	0,00

Verifica sezioni fondazione [Combinazione n° 6 - SLU (Caso A1-M1) - Sisma Vert. negativo]

Base sezione B = 100 cm

Altezza sezioneH = 40,00 cm

Verifiche presso-flessione

N°	X	M	N	N _u	M _u	A _{fi}	A _{fs}	CS
1	0,00	0 (41)	-319	-30001	3888	6,79	6,79	94,17
2	1,10	1305 (2247)	2743	14074	11528	6,79	4,52	5,13
3	2,30	-626 (-637)	2795	118155	-26953	6,79	6,79	42,28
4	3,43	609 (1479)	2843	25885	13469	6,79	4,52	9,10
5	4,60	0 (48)	310	219617	33991	6,79	6,79	709,51

Verifiche taglio

N°	X	V	V _{Rd}	V _{Rsd}	V _{Rcd}	A _{sw}
1	0,00	124	15028	0	0	0,00
2	1,10	-2829	15453	0	0	0,00
3	2,30	-71	15460	0	0	0,00
4	3,43	2614	15467	0	0	0,00
5	4,60	-144	15115	0	0	0,00

Verifica sezioni piedritto sinistro [Combinazione n° 6 - SLU (Caso A1-M1) - Sisma Vert. negativo]

Base sezione B = 100 cm

Altezza sezioneH = 30,00 cm

Verifiche presso-flessione

N°	X	M	N	N _u	M _u	A _{fi}	A _{fs}	CS
1	0,20	-3598 (-3598)	2495	4230	-6101	4,52	5,65	1,70
2	1,90	-518 (-721)	1248	12228	-7063	4,52	5,65	9,80
3	3,60	0 (0)	0	0	0	4,52	5,65	1000,00

Verifiche taglio

N°	X	V	V _{Rd}	V _{Rsd}	V _{Rcd}	A _{sw}
1	0,20	3014	12549	0	0	0,00
2	1,90	834	12381	0	0	0,00
3	3,60	0	12213	0	0	0,00

Verifica sezioni piedritto destro [Combinazione n° 6 - SLU (Caso A1-M1) - Sisma Vert. negativo]

Base sezione B = 100 cm

Altezza sezioneH = 30,00 cm

Verifiche presso-flessione

N°	X	M	N	N _u	M _u	A _{fi}	A _{fs}	CS
1	0,20	-2867 (-2867)	2495	5436	-6246	4,52	5,65	2,18
2	1,90	-335 (-486)	1248	20796	-8094	4,52	5,65	16,67
3	3,60	0 (0)	0	0	0	4,52	5,65	1000,00

Verifiche taglio

N°	X	V	V _{Rd}	V _{Rsd}	V _{Rcd}	A _{sw}
1	0,20	-2584	12549	0	0	0,00
2	1,90	-619	12381	0	0	0,00
3	3,60	0	12213	0	0	0,00

Verifica sezioni fondazione [Combinazione n° 7 - SLU (Caso A1-M1) - Sisma Vert. negativo]

Base sezione B = 100 cm

Altezza sezioneH = 40,00 cm

Verifiche presso-flessione

N°	X	M	N	N _u	M _u	A _{fi}	A _{fs}	CS
1	0,00	0 (41)	-319	-30001	3888	6,79	6,79	94,17
2	1,10	1305 (2247)	2743	14074	11528	6,79	4,52	5,13
3	2,30	-626 (-637)	2795	118155	-26953	6,79	6,79	42,28
4	3,43	609 (1479)	2843	25885	13469	6,79	4,52	9,10
5	4,60	0 (48)	310	219617	33991	6,79	6,79	709,51

Verifiche taglio

N°	X	V	V _{Rd}	V _{Rsd}	V _{Rcd}	A _{sw}
1	0,00	124	15028	0	0	0,00
2	1,10	-2829	15453	0	0	0,00
3	2,30	-71	15460	0	0	0,00
4	3,43	2614	15467	0	0	0,00
5	4,60	-144	15115	0	0	0,00

Verifica sezioni piedritto sinistro [Combinazione n° 7 - SLU (Caso A1-M1) - Sisma Vert. negativo]

Base sezione B = 100 cm

Altezza sezioneH = 30,00 cm

Verifiche presso-flessione

N°	X	M	N	N _u	M _u	A _{fi}	A _{fs}	CS
1	0,20	-3598 (-3598)	2495	4230	-6101	4,52	5,65	1,70

2	1,90	-518 (-721)	1248	12228	-7063	4,52	5,65	9,80
3	3,60	0 (0)	0	0	0	4,52	5,65	1000,00

Verifiche taglio

N°	X	V	V _{Rd}	V _{Rsd}	V _{Rcd}	A _{sw}
1	0,20	3014	12549	0	0	0,00
2	1,90	834	12381	0	0	0,00
3	3,60	0	12213	0	0	0,00

Verifica sezioni piedritto destro [Combinazione n° 7 - SLU (Caso A1-M1) - Sisma Vert. negativo]

Base sezione B = 100 cm

Altezza sezioneH = 30,00 cm

Verifiche presso-flessione

N°	X	M	N	N _u	M _u	A _{fi}	A _{fs}	CS
1	0,20	-2867 (-2867)	2495	5436	-6246	4,52	5,65	2,18
2	1,90	-335 (-486)	1248	20796	-8094	4,52	5,65	16,67
3	3,60	0 (0)	0	0	0	4,52	5,65	1000,00

Verifiche taglio

N°	X	V	V _{Rd}	V _{Rsd}	V _{Rcd}	A _{sw}
1	0,20	-2584	12549	0	0	0,00
2	1,90	-619	12381	0	0	0,00
3	3,60	0	12213	0	0	0,00

Verifica sezioni fondazione [Combinazione n° 8 - SLU (Caso A1-M1) - Sisma Vert. positivo]

Base sezione B = 100 cm

Altezza sezioneH = 40,00 cm

Verifiche presso-flessione

N°	X	M	N	N _u	M _u	A _{fi}	A _{fs}	CS
1	0,00	0 (41)	-380	-32203	3498	6,79	6,79	84,79
2	1,10	1451 (2431)	2804	13114	11371	6,79	4,52	4,68
3	2,30	-594 (-611)	2856	133303	-28521	6,79	6,79	46,68
4	3,43	610 (1487)	2904	26513	13572	6,79	4,52	9,13
5	4,60	0 (50)	371	256636	34456	6,79	6,79	692,57

Verifiche taglio

N°	X	V	V _{Rd}	V _{Rsd}	V _{Rcd}	A _{sw}
1	0,00	124	15019	0	0	0,00
2	1,10	-2944	15461	0	0	0,00
3	2,30	-131	15468	0	0	0,00
4	3,43	2632	15475	0	0	0,00
5	4,60	-149	15123	0	0	0,00

Verifica sezioni piedritto sinistro [Combinazione n° 8 - SLU (Caso A1-M1) - Sisma Vert. positivo]

Base sezione B = 100 cm

Altezza sezioneH = 30,00 cm

Verifiche presso-flessione

N°	X	M	N	N _u	M _u	A _{fi}	A _{fs}	CS
1	0,20	-3806 (-3806)	2605	4171	-6093	4,52	5,65	1,60
2	1,90	-570 (-787)	1302	11548	-6981	4,52	5,65	8,87
3	3,60	0 (0)	0	0	0	4,52	5,65	1000,00

Verifiche taglio

N°	X	V	V _{Rd}	V _{Rsd}	V _{Rcd}	A _{sw}
1	0,20	3136	12564	0	0	0,00
2	1,90	895	12388	0	0	0,00
3	3,60	0	12213	0	0	0,00

Verifica sezioni piedritto destro [Combinazione n° 8 - SLU (Caso A1-M1) - Sisma Vert. positivo]

Base sezione B = 100 cm

Altezza sezioneH = 30,00 cm

Verifiche presso-flessione

N°	X	M	N	N _u	M _u	A _{fi}	A _{fs}	CS
1	0,20	-2867 (-2867)	2605	5704	-6278	4,52	5,65	2,19
2	1,90	-335 (-486)	1302	22147	-8257	4,52	5,65	17,00
3	3,60	0 (0)	0	0	0	4,52	5,65	1000,00

Verifiche taglio

N°	X	V	V _{Rd}	V _{Rsd}	V _{Rcd}	A _{sw}
1	0,20	-2584	12564	0	0	0,00
2	1,90	-619	12388	0	0	0,00
3	3,60	0	12213	0	0	0,00

Verifica sezioni fondazione [Combinazione n° 9 - SLU (Caso A2-M2) - Sisma Vert. negativo]

Base sezione B = 100 cm

Altezza sezioneH = 40,00 cm

Verifiche presso-flessione

N°	X	M	N	N _u	M _u	A _{fi}	A _{fs}	CS
1	0,00	0 (37)	-332	-31938	3545	6,79	6,79	96,32
2	1,10	2034 (3028)	3469	13009	11353	6,79	4,52	3,75
3	2,30	-14 (-40)	3521	466929	-5261	6,79	6,79	132,62
4	3,43	1301 (2216)	3569	20186	12532	6,79	4,52	5,66
5	4,60	0 (-44)	320	252692	-34553	6,79	6,79	789,27

Verifiche taglio

N°	X	V	V _{Rd}	V _{Rsd}	V _{Rcd}	A _{sw}
1	0,00	111	15026	0	0	0,00
2	1,10	-2983	15553	0	0	0,00
3	2,30	-76	15561	0	0	0,00
4	3,43	2749	15567	0	0	0,00
5	4,60	-131	15117	0	0	0,00

Verifica sezioni piedritto sinistro [Combinazione n° 9 - SLU (Caso A2-M2) - Sisma Vert. negativo]

Base sezione B = 100 cm

Altezza sezioneH = 30,00 cm

Verifiche presso-flessione

N°	X	M	N	N _u	M _u	A _{fi}	A _{fs}	CS
1	0,20	-4449 (-4449)	2495	3362	-5996	4,52	5,65	1,35
2	1,90	-630 (-878)	1248	9578	-6744	4,52	5,65	7,68
3	3,60	0 (0)	0	0	0	4,52	5,65	1000,00

Verifiche taglio

N°	X	V	V _{Rd}	V _{Rsd}	V _{Rcd}	A _{sw}
1	0,20	3753	12549	0	0	0,00
2	1,90	1024	12381	0	0	0,00
3	3,60	0	12213	0	0	0,00

Verifica sezioni piedritto destro [Combinazione n° 9 - SLU (Caso A2-M2) - Sisma Vert. negativo]

Base sezione B = 100 cm
Altezza sezioneH = 30,00 cm

Verifiche presso-flessione

N°	X	M	N	N _u	M _u	A _{fi}	A _{fs}	CS
1	0,20	-3678 (-3678)	2495	4130	-6088	4,52	5,65	1,66
2	1,90	-437 (-631)	1248	14521	-7339	4,52	5,65	11,64
3	3,60	0 (0)	0	0	0	4,52	5,65	1000,00

Verifiche taglio

N°	X	V	V _{Rd}	V _{Rsd}	V _{Rcd}	A _{sw}
1	0,20	-3300	12549	0	0	0,00
2	1,90	-797	12381	0	0	0,00
3	3,60	0	12213	0	0	0,00

Verifica sezioni fondazione [Combinazione n° 10 - SLU (Caso A2-M2) - Sisma Vert. positivo]

Base sezione B = 100 cm
Altezza sezioneH = 40,00 cm

Verifiche presso-flessione

N°	X	M	N	N _u	M _u	A _{fi}	A _{fs}	CS
1	0,00	0 (-36)	-409	-34587	-3075	6,79	6,79	84,55
2	1,10	2223 (3261)	3546	12203	11221	6,79	4,52	3,44
3	2,30	38 (89)	3598	457411	11296	6,79	6,79	127,13
4	3,43	1307 (2226)	3647	20661	12610	6,79	4,52	5,67
5	4,60	0 (-46)	397	289122	-33269	6,79	6,79	727,51

Verifiche taglio

N°	X	V	V _{Rd}	V _{Rsd}	V _{Rcd}	A _{sw}
1	0,00	109	15015	0	0	0,00
2	1,10	-3117	15564	0	0	0,00
3	2,30	-152	15571	0	0	0,00
4	3,43	2758	15578	0	0	0,00
5	4,60	-137	15127	0	0	0,00

Verifica sezioni piedritto sinistro [Combinazione n° 10 - SLU (Caso A2-M2) - Sisma Vert. positivo]

Base sezione B = 100 cm
Altezza sezioneH = 30,00 cm

Verifiche presso-flessione

N°	X	M	N	N _u	M _u	A _{fi}	A _{fs}	CS
1	0,20	-4713 (-4713)	2605	3311	-5990	4,52	5,65	1,27
2	1,90	-695 (-963)	1302	9032	-6678	4,52	5,65	6,93
3	3,60	0 (0)	0	0	0	4,52	5,65	1000,00

Verifiche taglio

N°	X	V	V _{Rd}	V _{Rsd}	V _{Rcd}	A _{sw}
1	0,20	3908	12564	0	0	0,00
2	1,90	1102	12388	0	0	0,00
3	3,60	0	12213	0	0	0,00

Verifica sezioni piedritto destro [Combinazione n° 10 - SLU (Caso A2-M2) - Sisma Vert. positivo]

Base sezione B = 100 cm
Altezza sezioneH = 30,00 cm

Verifiche presso-flessione

N°	X	M	N	N _u	M _u	A _{fi}	A _{fs}	CS
1	0,20	-3678 (-3678)	2605	4329	-6112	4,52	5,65	1,66
2	1,90	-437 (-631)	1302	15371	-7441	4,52	5,65	11,80
3	3,60	0 (0)	0	0	0	4,52	5,65	1000,00

Verifiche taglio

N°	X	V	V _{Rd}	V _{Rsd}	V _{Rcd}	A _{sw}
1	0,20	-3300	12564	0	0	0,00
2	1,90	-797	12388	0	0	0,00
3	3,60	0	12213	0	0	0,00

Verifica sezioni fondazione [Combinazione n° 11 - SLU (Caso A2-M2) - Sisma Vert. positivo]

Base sezione B = 100 cm
Altezza sezioneH = 40,00 cm

Verifiche presso-flessione

N°	X	M	N	N _u	M _u	A _{fi}	A _{fs}	CS
1	0,00	0 (-36)	-409	-34587	-3075	6,79	6,79	84,55
2	1,10	2223 (3261)	3546	12203	11221	6,79	4,52	3,44
3	2,30	38 (89)	3598	457411	11296	6,79	6,79	127,13
4	3,43	1307 (2226)	3647	20661	12610	6,79	4,52	5,67
5	4,60	0 (-46)	397	289122	-33269	6,79	6,79	727,51

Verifiche taglio

N°	X	V	V _{Rd}	V _{Rsd}	V _{Rcd}	A _{sw}
1	0,00	109	15015	0	0	0,00
2	1,10	-3117	15564	0	0	0,00
3	2,30	-152	15571	0	0	0,00
4	3,43	2758	15578	0	0	0,00
5	4,60	-137	15127	0	0	0,00

Verifica sezioni piedritto sinistro [Combinazione n° 11 - SLU (Caso A2-M2) - Sisma Vert. positivo]

Base sezione B = 100 cm
Altezza sezioneH = 30,00 cm

Verifiche presso-flessione

N°	X	M	N	N _u	M _u	A _{fi}	A _{fs}	CS
1	0,20	-4713 (-4713)	2605	3311	-5990	4,52	5,65	1,27
2	1,90	-695 (-963)	1302	9032	-6678	4,52	5,65	6,93
3	3,60	0 (0)	0	0	0	4,52	5,65	1000,00

Verifiche taglio

N°	X	V	V _{Rd}	V _{Rsd}	V _{Rcd}	A _{sw}
1	0,20	3908	12564	0	0	0,00
2	1,90	1102	12388	0	0	0,00
3	3,60	0	12213	0	0	0,00

Verifica sezioni piedritto destro [Combinazione n° 11 - SLU (Caso A2-M2) - Sisma Vert. positivo]

Base sezione B = 100 cm
Altezza sezioneH = 30,00 cm

Verifiche presso-flessione

N°	X	M	N	N _u	M _u	A _{fi}	A _{fs}	CS
1	0,20	-3678 (-3678)	2605	4329	-6112	4,52	5,65	1,66
2	1,90	-437 (-631)	1302	15371	-7441	4,52	5,65	11,80
3	3,60	0 (0)	0	0	0	4,52	5,65	1000,00

Verifiche taglio

N°	X	V	V _{Rd}	V _{Rsd}	V _{Rcd}	A _{sw}
1	0,20	-3300	12564	0	0	0,00
2	1,90	-797	12388	0	0	0,00
3	3,60	0	12213	0	0	0,00

Verifica sezioni fondazione [Combinazione n° 12 - SLU (Caso A2-M2) - Sisma Vert. negativo]

Base sezione B = 100 cm
Altezza sezioneH = 40,00 cm

Verifiche presso-flessione

N°	X	M	N	N _u	M _u	A _{fi}	A _{fs}	CS
1	0,00	0 (37)	-332	-31938	3545	6,79	6,79	96,32
2	1,10	2034 (3028)	3469	13009	11353	6,79	4,52	3,75
3	2,30	-14 (-40)	3521	466929	-5261	6,79	6,79	132,62
4	3,43	1301 (2216)	3569	20186	12532	6,79	4,52	5,66
5	4,60	0 (-44)	320	252692	-34553	6,79	6,79	789,27

Verifiche taglio

N°	X	V	V _{Rd}	V _{Rsd}	V _{Rcd}	A _{sw}
1	0,00	111	15026	0	0	0,00
2	1,10	-2983	15553	0	0	0,00
3	2,30	-76	15561	0	0	0,00
4	3,43	2749	15567	0	0	0,00
5	4,60	-131	15117	0	0	0,00

Verifica sezioni piedritto sinistro [Combinazione n° 12 - SLU (Caso A2-M2) - Sisma Vert. negativo]

Base sezione B = 100 cm
Altezza sezioneH = 30,00 cm

Verifiche presso-flessione

N°	X	M	N	N _u	M _u	A _{fi}	A _{fs}	CS
1	0,20	-4449 (-4449)	2495	3362	-5996	4,52	5,65	1,35
2	1,90	-630 (-878)	1248	9578	-6744	4,52	5,65	7,68
3	3,60	0 (0)	0	0	0	4,52	5,65	1000,00

Verifiche taglio

N°	X	V	V _{Rd}	V _{Rsd}	V _{Rcd}	A _{sw}
1	0,20	3753	12549	0	0	0,00
2	1,90	1024	12381	0	0	0,00
3	3,60	0	12213	0	0	0,00

Verifica sezioni piedritto destro [Combinazione n° 12 - SLU (Caso A2-M2) - Sisma Vert. negativo]

Base sezione B = 100 cm
Altezza sezioneH = 30,00 cm

Verifiche presso-flessione

N°	X	M	N	N _u	M _u	A _{fi}	A _{fs}	CS
1	0,20	-3678 (-3678)	2495	4130	-6088	4,52	5,65	1,66
2	1,90	-437 (-631)	1248	14521	-7339	4,52	5,65	11,64
3	3,60	0 (0)	0	0	0	4,52	5,65	1000,00

Verifiche taglio

N°	X	V	V _{Rd}	V _{Rsd}	V _{Rcd}	A _{sw}
1	0,20	-3300	12549	0	0	0,00
2	1,90	-797	12381	0	0	0,00
3	3,60	0	12213	0	0	0,00

Verifica sezioni fondazione [Combinazione n° 13 - SLU (Caso A1-M1) - Sisma Vert. positivo]

Base sezione B = 100 cm
Altezza sezioneH = 40,00 cm

Verifiche presso-flessione

N°	X	M	N	N _u	M _u	A _{fi}	A _{fs}	CS
1	0,00	0 (-50)	371	256638	-34456	6,79	6,79	692,57
2	1,10	802 (1627)	2907	23311	13046	6,79	4,52	8,02
3	2,30	-594 (-723)	2856	96911	-24521	6,79	6,79	33,94
4	3,43	1224 (2254)	2807	14428	11587	6,79	4,52	5,14
5	4,60	0 (-41)	-380	-32203	-3498	6,79	6,79	84,79

Verifiche taglio

N°	X	V	V _{Rd}	V _{Rsd}	V _{Rcd}	A _{sw}
1	0,00	149	15123	0	0	0,00
2	1,10	-2477	15475	0	0	0,00
3	2,30	449	15468	0	0	0,00
4	3,43	3094	15462	0	0	0,00

5	4,60	-124	15019	0	0	0,00
---	------	------	-------	---	---	------

Verifica sezioni piedritto sinistro [Combinazione n° 13 - SLU (Caso A1-M1) - Sisma Vert. positivo]

Base sezione B = 100 cm
Altezza sezioneH = 30,00 cm

Verifiche presso-flessione

N°	X	M	N	N _u	M _u	A _{fi}	A _{fs}	CS
1	0,20	-2867 (-2867)	2605	5704	-6278	4,52	5,65	2,19
2	1,90	-335 (-486)	1302	22147	-8257	4,52	5,65	17,00
3	3,60	0 (0)	0	0	0	4,52	5,65	1000,00

Verifiche taglio

N°	X	V	V _{Rd}	V _{Rsd}	V _{Rcd}	A _{sw}
1	0,20	2584	12564	0	0	0,00
2	1,90	619	12388	0	0	0,00
3	3,60	0	12213	0	0	0,00

Verifica sezioni piedritto destro [Combinazione n° 13 - SLU (Caso A1-M1) - Sisma Vert. positivo]

Base sezione B = 100 cm
Altezza sezioneH = 30,00 cm

Verifiche presso-flessione

N°	X	M	N	N _u	M _u	A _{fi}	A _{fs}	CS
1	0,20	-3806 (-3806)	2605	4171	-6093	4,52	5,65	1,60
2	1,90	-570 (-787)	1302	11548	-6981	4,52	5,65	8,87
3	3,60	0 (0)	0	0	0	4,52	5,65	1000,00

Verifiche taglio

N°	X	V	V _{Rd}	V _{Rsd}	V _{Rcd}	A _{sw}
1	0,20	-3136	12564	0	0	0,00
2	1,90	-895	12388	0	0	0,00
3	3,60	0	12213	0	0	0,00

Verifica sezioni fondazione [Combinazione n° 14 - SLU (Caso A1-M1) - Sisma Vert. negativo]

Base sezione B = 100 cm
Altezza sezioneH = 40,00 cm

Verifiche presso-flessione

N°	X	M	N	N _u	M _u	A _{fi}	A _{fs}	CS
1	0,00	0 (-48)	310	219621	-33991	6,79	6,79	709,52
2	1,10	800 (1621)	2846	22751	12954	6,79	4,52	7,99
3	2,30	-626 (-716)	2795	94642	-24249	6,79	6,79	33,87
4	3,43	1087 (2077)	2746	15565	11773	6,79	4,52	5,67
5	4,60	0 (41)	-319	-30001	3888	6,79	6,79	94,17

Verifiche taglio

N°	X	V	V _{Rd}	V _{Rsd}	V _{Rcd}	A _{sw}
1	0,00	144	15115	0	0	0,00
2	1,10	-2465	15467	0	0	0,00

3	2,30	380	15460	0	0	0,00
4	3,43	2974	15453	0	0	0,00
5	4,60	-124	15028	0	0	0,00

Verifica sezioni piedritto sinistro [Combinazione n° 14 - SLU (Caso A1-M1) - Sisma Vert. negativo]

Base sezione B = 100 cm

Altezza sezioneH = 30,00 cm

Verifiche presso-flessione

N°	X	M	N	N _u	M _u	A _{fi}	A _{fs}	CS
1	0,20	-2867 (-2867)	2495	5436	-6246	4,52	5,65	2,18
2	1,90	-335 (-486)	1248	20796	-8094	4,52	5,65	16,67
3	3,60	0 (0)	0	0	0	4,52	5,65	1000,00

Verifiche taglio

N°	X	V	V _{Rd}	V _{Rsd}	V _{Rcd}	A _{sw}
1	0,20	2584	12549	0	0	0,00
2	1,90	619	12381	0	0	0,00
3	3,60	0	12213	0	0	0,00

Verifica sezioni piedritto destro [Combinazione n° 14 - SLU (Caso A1-M1) - Sisma Vert. negativo]

Base sezione B = 100 cm

Altezza sezioneH = 30,00 cm

Verifiche presso-flessione

N°	X	M	N	N _u	M _u	A _{fi}	A _{fs}	CS
1	0,20	-3598 (-3598)	2495	4230	-6101	4,52	5,65	1,70
2	1,90	-518 (-721)	1248	12228	-7063	4,52	5,65	9,80
3	3,60	0 (0)	0	0	0	4,52	5,65	1000,00

Verifiche taglio

N°	X	V	V _{Rd}	V _{Rsd}	V _{Rcd}	A _{sw}
1	0,20	-3014	12549	0	0	0,00
2	1,90	-834	12381	0	0	0,00
3	3,60	0	12213	0	0	0,00

Verifica sezioni fondazione [Combinazione n° 15 - SLU (Caso A1-M1) - Sisma Vert. negativo]

Base sezione B = 100 cm

Altezza sezioneH = 40,00 cm

Verifiche presso-flessione

N°	X	M	N	N _u	M _u	A _{fi}	A _{fs}	CS
1	0,00	0 (-48)	310	219621	-33991	6,79	6,79	709,52
2	1,10	800 (1621)	2846	22751	12954	6,79	4,52	7,99
3	2,30	-626 (-716)	2795	94642	-24249	6,79	6,79	33,87
4	3,43	1087 (2077)	2746	15565	11773	6,79	4,52	5,67
5	4,60	0 (41)	-319	-30001	3888	6,79	6,79	94,17

Verifiche taglio

N°	X	V	V _{Rd}	V _{Rsd}	V _{Rcd}	A _{sw}
----	---	---	-----------------	------------------	------------------	-----------------

1	0,00	144	15115	0	0	0,00
2	1,10	-2465	15467	0	0	0,00
3	2,30	380	15460	0	0	0,00
4	3,43	2974	15453	0	0	0,00
5	4,60	-124	15028	0	0	0,00

Verifica sezioni piedritto sinistro [Combinazione n° 15 - SLU (Caso A1-M1) - Sisma Vert. negativo]

Base sezione B = 100 cm

Altezza sezioneH = 30,00 cm

Verifiche presso-flessione

N°	X	M	N	N _u	M _u	A _{fi}	A _{fs}	CS
1	0,20	-2867 (-2867)	2495	5436	-6246	4,52	5,65	2,18
2	1,90	-335 (-486)	1248	20796	-8094	4,52	5,65	16,67
3	3,60	0 (0)	0	0	0	4,52	5,65	1000,00

Verifiche taglio

N°	X	V	V _{Rd}	V _{Rsd}	V _{Rcd}	A _{sw}
1	0,20	2584	12549	0	0	0,00
2	1,90	619	12381	0	0	0,00
3	3,60	0	12213	0	0	0,00

Verifica sezioni piedritto destro [Combinazione n° 15 - SLU (Caso A1-M1) - Sisma Vert. negativo]

Base sezione B = 100 cm

Altezza sezioneH = 30,00 cm

Verifiche presso-flessione

N°	X	M	N	N _u	M _u	A _{fi}	A _{fs}	CS
1	0,20	-3598 (-3598)	2495	4230	-6101	4,52	5,65	1,70
2	1,90	-518 (-721)	1248	12228	-7063	4,52	5,65	9,80
3	3,60	0 (0)	0	0	0	4,52	5,65	1000,00

Verifiche taglio

N°	X	V	V _{Rd}	V _{Rsd}	V _{Rcd}	A _{sw}
1	0,20	-3014	12549	0	0	0,00
2	1,90	-834	12381	0	0	0,00
3	3,60	0	12213	0	0	0,00

Verifica sezioni fondazione [Combinazione n° 16 - SLU (Caso A1-M1) - Sisma Vert. positivo]

Base sezione B = 100 cm

Altezza sezioneH = 40,00 cm

Verifiche presso-flessione

N°	X	M	N	N _u	M _u	A _{fi}	A _{fs}	CS
1	0,00	0 (-50)	371	256638	-34456	6,79	6,79	692,57
2	1,10	802 (1627)	2907	23311	13046	6,79	4,52	8,02
3	2,30	-594 (-723)	2856	96911	-24521	6,79	6,79	33,94
4	3,43	1224 (2254)	2807	14428	11587	6,79	4,52	5,14
5	4,60	0 (-41)	-380	-32203	-3498	6,79	6,79	84,79

Verifiche taglio

N°	X	V	V _{Rd}	V _{Rsd}	V _{Rcd}	A _{sw}
1	0,00	149	15123	0	0	0,00
2	1,10	-2477	15475	0	0	0,00
3	2,30	449	15468	0	0	0,00
4	3,43	3094	15462	0	0	0,00
5	4,60	-124	15019	0	0	0,00

Verifica sezioni piedritto sinistro [Combinazione n° 16 - SLU (Caso A1-M1) - Sisma Vert. positivo]

Base sezione B = 100 cm
Altezza sezioneH = 30,00 cm

Verifiche presso-flessione

N°	X	M	N	N _u	M _u	A _{fi}	A _{fs}	CS
1	0,20	-2867 (-2867)	2605	5704	-6278	4,52	5,65	2,19
2	1,90	-335 (-486)	1302	22147	-8257	4,52	5,65	17,00
3	3,60	0 (0)	0	0	0	4,52	5,65	1000,00

Verifiche taglio

N°	X	V	V _{Rd}	V _{Rsd}	V _{Rcd}	A _{sw}
1	0,20	2584	12564	0	0	0,00
2	1,90	619	12388	0	0	0,00
3	3,60	0	12213	0	0	0,00

Verifica sezioni piedritto destro [Combinazione n° 16 - SLU (Caso A1-M1) - Sisma Vert. positivo]

Base sezione B = 100 cm
Altezza sezioneH = 30,00 cm

Verifiche presso-flessione

N°	X	M	N	N _u	M _u	A _{fi}	A _{fs}	CS
1	0,20	-3806 (-3806)	2605	4171	-6093	4,52	5,65	1,60
2	1,90	-570 (-787)	1302	11548	-6981	4,52	5,65	8,87
3	3,60	0 (0)	0	0	0	4,52	5,65	1000,00

Verifiche taglio

N°	X	V	V _{Rd}	V _{Rsd}	V _{Rcd}	A _{sw}
1	0,20	-3136	12564	0	0	0,00
2	1,90	-895	12388	0	0	0,00
3	3,60	0	12213	0	0	0,00

Verifica sezioni fondazione [Combinazione n° 17 - SLU (Caso A2-M2) - Sisma Vert. negativo]

Base sezione B = 100 cm
Altezza sezioneH = 40,00 cm

Verifiche presso-flessione

N°	X	M	N	N _u	M _u	A _{fi}	A _{fs}	CS
1	0,00	0 (44)	320	252693	34553	6,79	6,79	789,28
2	1,10	1502 (2367)	3573	18496	12255	6,79	4,52	5,18
3	2,30	-14 (-148)	3521	445754	-18688	6,79	6,79	126,60
4	3,43	1805 (2847)	3472	14060	11526	6,79	4,52	4,05
5	4,60	0 (-37)	-332	-31938	-3545	6,79	6,79	96,32

Verifiche taglio

N°	X	V	V _{Rd}	V _{Rsd}	V _{Rcd}	A _{sw}
1	0,00	131	15117	0	0	0,00
2	1,10	-2599	15568	0	0	0,00
3	2,30	400	15561	0	0	0,00
4	3,43	3129	15554	0	0	0,00
5	4,60	-111	15026	0	0	0,00

Verifica sezioni piedritto sinistro [Combinazione n° 17 - SLU (Caso A2-M2) - Sisma Vert. negativo]

Base sezione B = 100 cm

Altezza sezioneH = 30,00 cm

Verifiche presso-flessione

N°	X	M	N	N _u	M _u	A _{fi}	A _{fs}	CS
1	0,20	-3678 (-3678)	2495	4130	-6088	4,52	5,65	1,66
2	1,90	-437 (-631)	1248	14521	-7339	4,52	5,65	11,64
3	3,60	0 (0)	0	0	0	4,52	5,65	1000,00

Verifiche taglio

N°	X	V	V _{Rd}	V _{Rsd}	V _{Rcd}	A _{sw}
1	0,20	3300	12549	0	0	0,00
2	1,90	797	12381	0	0	0,00
3	3,60	0	12213	0	0	0,00

Verifica sezioni piedritto destro [Combinazione n° 17 - SLU (Caso A2-M2) - Sisma Vert. negativo]

Base sezione B = 100 cm

Altezza sezioneH = 30,00 cm

Verifiche presso-flessione

N°	X	M	N	N _u	M _u	A _{fi}	A _{fs}	CS
1	0,20	-4449 (-4449)	2495	3362	-5996	4,52	5,65	1,35
2	1,90	-630 (-878)	1248	9578	-6744	4,52	5,65	7,68
3	3,60	0 (0)	0	0	0	4,52	5,65	1000,00

Verifiche taglio

N°	X	V	V _{Rd}	V _{Rsd}	V _{Rcd}	A _{sw}
1	0,20	-3753	12549	0	0	0,00
2	1,90	-1024	12381	0	0	0,00
3	3,60	0	12213	0	0	0,00

Verifica sezioni fondazione [Combinazione n° 18 - SLU (Caso A2-M2) - Sisma Vert. positivo]

Base sezione B = 100 cm

Altezza sezioneH = 40,00 cm

Verifiche presso-flessione

N°	X	M	N	N _u	M _u	A _{fi}	A _{fs}	CS
1	0,00	0 (-46)	397	289122	-33269	6,79	6,79	727,51
2	1,10	1509 (2375)	3650	18944	12328	6,79	4,52	5,19
3	2,30	38 (200)	3598	417105	23210	6,79	6,79	115,92

4	3,43	1984 (3071)	3550	13147	11376	6,79	4,52	3,70
5	4,60	0 (-36)	-409	-34587	-3075	6,79	6,79	84,55

Verifiche taglio

N°	X	V	V _{Rd}	V _{Rsd}	V _{Rcd}	A _{sw}
1	0,00	137	15127	0	0	0,00
2	1,10	-2602	15578	0	0	0,00
3	2,30	486	15571	0	0	0,00
4	3,43	3267	15565	0	0	0,00
5	4,60	-109	15015	0	0	0,00

Verifica sezioni piedritto sinistro [Combinazione n° 18 - SLU (Caso A2-M2) - Sisma Vert. positivo]

Base sezione B = 100 cm

Altezza sezioneH = 30,00 cm

Verifiche presso-flessione

N°	X	M	N	N _u	M _u	A _{fi}	A _{fs}	CS
1	0,20	-3678 (-3678)	2605	4329	-6112	4,52	5,65	1,66
2	1,90	-437 (-631)	1302	15371	-7441	4,52	5,65	11,80
3	3,60	0 (0)	0	0	0	4,52	5,65	1000,00

Verifiche taglio

N°	X	V	V _{Rd}	V _{Rsd}	V _{Rcd}	A _{sw}
1	0,20	3300	12564	0	0	0,00
2	1,90	797	12388	0	0	0,00
3	3,60	0	12213	0	0	0,00

Verifica sezioni piedritto destro [Combinazione n° 18 - SLU (Caso A2-M2) - Sisma Vert. positivo]

Base sezione B = 100 cm

Altezza sezioneH = 30,00 cm

Verifiche presso-flessione

N°	X	M	N	N _u	M _u	A _{fi}	A _{fs}	CS
1	0,20	-4713 (-4713)	2605	3311	-5990	4,52	5,65	1,27
2	1,90	-695 (-963)	1302	9032	-6678	4,52	5,65	6,93
3	3,60	0 (0)	0	0	0	4,52	5,65	1000,00

Verifiche taglio

N°	X	V	V _{Rd}	V _{Rsd}	V _{Rcd}	A _{sw}
1	0,20	-3908	12564	0	0	0,00
2	1,90	-1102	12388	0	0	0,00
3	3,60	0	12213	0	0	0,00

Verifica sezioni fondazione [Combinazione n° 19 - SLU (Caso A2-M2) - Sisma Vert. positivo]

Base sezione B = 100 cm

Altezza sezioneH = 40,00 cm

Verifiche presso-flessione

N°	X	M	N	N _u	M _u	A _{fi}	A _{fs}	CS
1	0,00	0 (-46)	397	289122	-33269	6,79	6,79	727,51

2	1,10	1509 (2375)	3650	18944	12328	6,79	4,52	5,19
3	2,30	38 (200)	3598	417105	23210	6,79	6,79	115,92
4	3,43	1984 (3071)	3550	13147	11376	6,79	4,52	3,70
5	4,60	0 (-36)	-409	-34587	-3075	6,79	6,79	84,55

Verifiche taglio

N°	X	V	V _{Rd}	V _{Rsd}	V _{Rcd}	A _{sw}
1	0,00	137	15127	0	0	0,00
2	1,10	-2602	15578	0	0	0,00
3	2,30	486	15571	0	0	0,00
4	3,43	3267	15565	0	0	0,00
5	4,60	-109	15015	0	0	0,00

Verifica sezioni piedritto sinistro [Combinazione n° 19 - SLU (Caso A2-M2) - Sisma Vert. positivo]

Base sezione B = 100 cm
Altezza sezioneH = 30,00 cm

Verifiche presso-flessione

N°	X	M	N	N _u	M _u	A _{fi}	A _{fs}	CS
1	0,20	-3678 (-3678)	2605	4329	-6112	4,52	5,65	1,66
2	1,90	-437 (-631)	1302	15371	-7441	4,52	5,65	11,80
3	3,60	0 (0)	0	0	0	4,52	5,65	1000,00

Verifiche taglio

N°	X	V	V _{Rd}	V _{Rsd}	V _{Rcd}	A _{sw}
1	0,20	3300	12564	0	0	0,00
2	1,90	797	12388	0	0	0,00
3	3,60	0	12213	0	0	0,00

Verifica sezioni piedritto destro [Combinazione n° 19 - SLU (Caso A2-M2) - Sisma Vert. positivo]

Base sezione B = 100 cm
Altezza sezioneH = 30,00 cm

Verifiche presso-flessione

N°	X	M	N	N _u	M _u	A _{fi}	A _{fs}	CS
1	0,20	-4713 (-4713)	2605	3311	-5990	4,52	5,65	1,27
2	1,90	-695 (-963)	1302	9032	-6678	4,52	5,65	6,93
3	3,60	0 (0)	0	0	0	4,52	5,65	1000,00

Verifiche taglio

N°	X	V	V _{Rd}	V _{Rsd}	V _{Rcd}	A _{sw}
1	0,20	-3908	12564	0	0	0,00
2	1,90	-1102	12388	0	0	0,00
3	3,60	0	12213	0	0	0,00

Verifica sezioni fondazione [Combinazione n° 20 - SLU (Caso A2-M2) - Sisma Vert. negativo]

Base sezione B = 100 cm
Altezza sezioneH = 40,00 cm

Verifiche presso-flessione

N°	X	M	N	N _u	M _u	A _{fi}	A _{fs}	CS
1	0,00	0 (44)	320	252693	34553	6,79	6,79	789,28
2	1,10	1502 (2367)	3573	18496	12255	6,79	4,52	5,18
3	2,30	-14 (-148)	3521	445754	-18688	6,79	6,79	126,60
4	3,43	1805 (2847)	3472	14060	11526	6,79	4,52	4,05
5	4,60	0 (-37)	-332	-31938	-3545	6,79	6,79	96,32

Verifiche taglio

N°	X	V	V _{Rd}	V _{Rsd}	V _{Rcd}	A _{sw}
1	0,00	131	15117	0	0	0,00
2	1,10	-2599	15568	0	0	0,00
3	2,30	400	15561	0	0	0,00
4	3,43	3129	15554	0	0	0,00
5	4,60	-111	15026	0	0	0,00

Verifica sezioni piedritto sinistro [Combinazione n° 20 - SLU (Caso A2-M2) - Sisma Vert. negativo]

Base sezione B = 100 cm
Altezza sezioneH = 30,00 cm

Verifiche presso-flessione

N°	X	M	N	N _u	M _u	A _{fi}	A _{fs}	CS
1	0,20	-3678 (-3678)	2495	4130	-6088	4,52	5,65	1,66
2	1,90	-437 (-631)	1248	14521	-7339	4,52	5,65	11,64
3	3,60	0 (0)	0	0	0	4,52	5,65	1000,00

Verifiche taglio

N°	X	V	V _{Rd}	V _{Rsd}	V _{Rcd}	A _{sw}
1	0,20	3300	12549	0	0	0,00
2	1,90	797	12381	0	0	0,00
3	3,60	0	12213	0	0	0,00

Verifica sezioni piedritto destro [Combinazione n° 20 - SLU (Caso A2-M2) - Sisma Vert. negativo]

Base sezione B = 100 cm
Altezza sezioneH = 30,00 cm

Verifiche presso-flessione

N°	X	M	N	N _u	M _u	A _{fi}	A _{fs}	CS
1	0,20	-4449 (-4449)	2495	3362	-5996	4,52	5,65	1,35
2	1,90	-630 (-878)	1248	9578	-6744	4,52	5,65	7,68
3	3,60	0 (0)	0	0	0	4,52	5,65	1000,00

Verifiche taglio

N°	X	V	V _{Rd}	V _{Rsd}	V _{Rcd}	A _{sw}
1	0,20	-3753	12549	0	0	0,00
2	1,90	-1024	12381	0	0	0,00
3	3,60	0	12213	0	0	0,00

Verifiche combinazioni SLE

Simbologia adottata ed unità di misura

<i>N°</i>	<i>Indice sezione</i>
X	Ascissa/Ordinata sezione, espresso in m
M	Momento flettente, espresso in kgm
V	Taglio, espresso in kg
N	Sforzo normale, espresso in kg
A_{fi}	Area armatura inferiore, espressa in cmq
A_{fs}	Area armatura superiore, espressa in cmq
σ_{fi}	Tensione nell'armatura disposta in corrispondenza del lembo inferiore, espresse in kg/cmq
σ_{fs}	Tensione nell'armatura disposta in corrispondenza del lembo superiore, espresse in kg/cmq
σ_c	Tensione nel calcestruzzo, espresse in kg/cmq
τ_c	Tensione tangenziale nel calcestruzzo, espresse in kg/cmq
A_{sw}	Area armature trasversali nella sezione, espressa in cmq

Verifica sezioni fondazione [Combinazione n° 21 - SLE (Quasi Permanente)]

Base sezione B = 100 cm

Altezza sezioneH = 40,00 cm

Verifiche presso-flessione

N°	X	M	N	A_{fi}	A_{fs}	σ_{fs}	σ_{fi}	σ_c
1	0,00	0	-4	6,79	6,79	0,3	0,3	0,0
2	1,10	891	2689	6,79	4,52	71,0	203,0	6,3
3	2,30	-780	2689	6,79	6,79	157,0	60,9	5,3
4	3,43	687	2689	6,79	4,52	55,8	121,6	4,8
5	4,60	0	-4	6,79	6,79	0,3	0,3	0,0

Verifiche taglio

N°	X	V	τ_c	A_{sw}
1	0,00	139	0,04	0,00
2	1,10	-2639	-0,84	0,00
3	2,30	155	0,05	0,00
4	3,43	2788	0,89	0,00
5	4,60	-139	-0,04	0,00

Verifica sezioni piedritto sinistro [Combinazione n° 21 - SLE (Quasi Permanente)]

Base sezione B = 100 cm

Altezza sezioneH = 30,00 cm

Verifiche presso-flessione

N°	X	M	N	A_{fi}	A_{fs}	σ_{fs}	σ_{fi}	σ_c
1	0,20	-3054	2550	4,52	5,65	1942,2	303,5	38,9
2	1,90	-382	1275	4,52	5,65	165,0	46,2	4,8
3	3,60	0	0	4,52	5,65	0,0	0,0	0,0

Verifiche taglio

N°	X	V	τ_c	A_{sw}
1	0,20	2694	1,17	0,00
2	1,90	673	0,29	0,00
3	3,60	0	0,00	0,00

Verifica sezioni piedritto destro [Combinazione n° 21 - SLE (Quasi Permanente)]

Base sezione B = 100 cm
Altezza sezioneH = 30,00 cm

Verifiche presso-flessione

N°	X	M	N	A _{fi}	A _{fs}	σ _{fs}	σ _{fi}	σ _c
1	0,20	-3054	2550	4,52	5,65	1942,2	303,5	38,9
2	1,90	-382	1275	4,52	5,65	165,0	46,2	4,8
3	3,60	0	0	4,52	5,65	0,0	0,0	0,0

Verifiche taglio

N°	X	V	τ _c	A _{sw}
1	0,20	-2694	-1,17	0,00
2	1,90	-673	-0,29	0,00
3	3,60	0	0,00	0,00

Verifica sezioni fondazione [Combinazione n° 22 - SLE (Frequente)]

Base sezione B = 100 cm
Altezza sezioneH = 40,00 cm

Verifiche presso-flessione

N°	X	M	N	A _{fi}	A _{fs}	σ _{fs}	σ _{fi}	σ _c
1	0,00	0	-4	6,79	6,79	0,3	0,3	0,0
2	1,10	891	2689	6,79	4,52	71,0	203,0	6,3
3	2,30	-780	2689	6,79	6,79	157,0	60,9	5,3
4	3,43	687	2689	6,79	4,52	55,8	121,6	4,8
5	4,60	0	-4	6,79	6,79	0,3	0,3	0,0

Verifiche taglio

N°	X	V	τ _c	A _{sw}
1	0,00	139	0,04	0,00
2	1,10	-2639	-0,84	0,00
3	2,30	155	0,05	0,00
4	3,43	2788	0,89	0,00
5	4,60	-139	-0,04	0,00

Verifica sezioni piedritto sinistro [Combinazione n° 22 - SLE (Frequente)]

Base sezione B = 100 cm
Altezza sezioneH = 30,00 cm

Verifiche presso-flessione

N°	X	M	N	A _{fi}	A _{fs}	σ _{fs}	σ _{fi}	σ _c
1	0,20	-3054	2550	4,52	5,65	1942,2	303,5	38,9
2	1,90	-382	1275	4,52	5,65	165,0	46,2	4,8
3	3,60	0	0	4,52	5,65	0,0	0,0	0,0

Verifiche taglio

N°	X	V	τ _c	A _{sw}
1	0,20	2694	1,17	0,00
2	1,90	673	0,29	0,00
3	3,60	0	0,00	0,00

Verifica sezioni piedritto destro [Combinazione n° 22 - SLE (Frequente)]

Base sezione B = 100 cm
Altezza sezioneH = 30,00 cm

Verifiche presso-flessione

N°	X	M	N	A _{fi}	A _{fs}	σ _{fs}	σ _{fi}	σ _c
1	0,20	-3054	2550	4,52	5,65	1942,2	303,5	38,9
2	1,90	-382	1275	4,52	5,65	165,0	46,2	4,8
3	3,60	0	0	4,52	5,65	0,0	0,0	0,0

Verifiche taglio

N°	X	V	τ _c	A _{sw}
1	0,20	-2694	-1,17	0,00
2	1,90	-673	-0,29	0,00
3	3,60	0	0,00	0,00

Verifica sezioni fondazione [Combinazione n° 23 - SLE (Rara)]

Base sezione B = 100 cm
Altezza sezioneH = 40,00 cm

Verifiche presso-flessione

N°	X	M	N	A _{fi}	A _{fs}	σ _{fs}	σ _{fi}	σ _c
1	0,00	0	-4	6,79	6,79	0,3	0,3	0,0
2	1,10	891	2689	6,79	4,52	71,0	203,0	6,3
3	2,30	-780	2689	6,79	6,79	157,0	60,9	5,3
4	3,43	687	2689	6,79	4,52	55,8	121,6	4,8
5	4,60	0	-4	6,79	6,79	0,3	0,3	0,0

Verifiche taglio

N°	X	V	τ _c	A _{sw}
1	0,00	139	0,04	0,00
2	1,10	-2639	-0,84	0,00
3	2,30	155	0,05	0,00
4	3,43	2788	0,89	0,00
5	4,60	-139	-0,04	0,00

Verifica sezioni piedritto sinistro [Combinazione n° 23 - SLE (Rara)]

Base sezione B = 100 cm
Altezza sezioneH = 30,00 cm

Verifiche presso-flessione

N°	X	M	N	A _{fi}	A _{fs}	σ _{fs}	σ _{fi}	σ _c
1	0,20	-3054	2550	4,52	5,65	1942,2	303,5	38,9
2	1,90	-382	1275	4,52	5,65	165,0	46,2	4,8
3	3,60	0	0	4,52	5,65	0,0	0,0	0,0

Verifiche taglio

N°	X	V	τ _c	A _{sw}
1	0,20	2694	1,17	0,00
2	1,90	673	0,29	0,00

3	3,60	0	0,00	0,00
---	------	---	------	------

Verifica sezioni piedritto destro [Combinazione n° 23 - SLE (Rara)]

Base sezione B = 100 cm
Altezza sezioneH = 30,00 cm

Verifiche presso-flessione

N°	X	M	N	A _{fi}	A _{fs}	σ _{fs}	σ _{fi}	σ _c
1	0,20	-3054	2550	4,52	5,65	1942,2	303,5	38,9
2	1,90	-382	1275	4,52	5,65	165,0	46,2	4,8
3	3,60	0	0	4,52	5,65	0,0	0,0	0,0

Verifiche taglio

N°	X	V	τ _c	A _{sw}
1	0,20	-2694	-1,17	0,00
2	1,90	-673	-0,29	0,00
3	3,60	0	0,00	0,00

Verifica sezioni fondazione [Combinazione n° 24 - SLE (Quasi Permanente) - Sisma Vert. positivo]

Base sezione B = 100 cm
Altezza sezioneH = 40,00 cm

Verifiche presso-flessione

N°	X	M	N	A _{fi}	A _{fs}	σ _{fs}	σ _{fi}	σ _c
1	0,00	0	-113	6,79	6,79	8,3	8,3	0,0
2	1,10	1051	2722	6,79	4,52	82,5	267,3	7,6
3	2,30	-727	2737	6,79	6,79	133,3	57,1	4,9
4	3,43	664	2751	6,79	4,52	54,1	109,6	4,6
5	4,60	0	104	6,79	6,79	0,4	0,4	0,0

Verifiche taglio

N°	X	V	τ _c	A _{sw}
1	0,00	135	0,04	0,00
2	1,10	-2727	-0,87	0,00
3	2,30	72	0,02	0,00
4	3,43	2743	0,87	0,00
5	4,60	-142	-0,05	0,00

Verifica sezioni piedritto sinistro [Combinazione n° 24 - SLE (Quasi Permanente) - Sisma Vert. positivo]

Base sezione B = 100 cm
Altezza sezioneH = 30,00 cm

Verifiche presso-flessione

N°	X	M	N	A _{fi}	A _{fs}	σ _{fs}	σ _{fi}	σ _c
1	0,20	-3270	2566	4,52	5,65	2093,7	323,2	41,7
2	1,90	-436	1283	4,52	5,65	201,8	51,6	5,6
3	3,60	0	0	4,52	5,65	0,0	0,0	0,0

Verifiche taglio

N°	X	V	τ_c	A_{sw}
1	0,20	2821	1,23	0,00
2	1,90	737	0,32	0,00
3	3,60	0	0,00	0,00

Verifica sezioni piedritto destro [Combinazione n° 24 - SLE (Quasi Permanente) - Sisma Vert. positivo]
1

Base sezione B = 100 cm
Altezza sezioneH = 30,00 cm

Verifiche presso-flessione

N°	X	M	N	A_{fi}	A_{fs}	σ_{fs}	σ_{fi}	σ_c
1	0,20	-2999	2566	4,52	5,65	1902,2	298,8	38,3
2	1,90	-368	1283	4,52	5,65	155,0	44,9	4,7
3	3,60	0	0	4,52	5,65	0,0	0,0	0,0

Verifiche taglio

N°	X	V	τ_c	A_{sw}
1	0,20	-2662	-1,16	0,00
2	1,90	-657	-0,29	0,00
3	3,60	0	0,00	0,00

Verifica sezioni fondazione [Combinazione n° 25 - SLE (Quasi Permanente) - Sisma Vert. negativo]

Base sezione B = 100 cm
Altezza sezioneH = 40,00 cm

Verifiche presso-flessione

N°	X	M	N	A_{fi}	A_{fs}	σ_{fs}	σ_{fi}	σ_c
1	0,00	0	-95	6,79	6,79	7,0	7,0	0,0
2	1,10	1008	2704	6,79	4,52	79,4	250,6	7,2
3	2,30	-737	2719	6,79	6,79	138,1	57,8	5,0
4	3,43	663	2733	6,79	4,52	54,0	110,4	4,6
5	4,60	0	86	6,79	6,79	0,3	0,3	0,0

Verifiche taglio

N°	X	V	τ_c	A_{sw}
1	0,00	135	0,04	0,00
2	1,10	-2693	-0,86	0,00
3	2,30	90	0,03	0,00
4	3,43	2738	0,87	0,00
5	4,60	-140	-0,04	0,00

Verifica sezioni piedritto sinistro [Combinazione n° 25 - SLE (Quasi Permanente) - Sisma Vert. negativo]

Base sezione B = 100 cm
Altezza sezioneH = 30,00 cm

Verifiche presso-flessione

N°	X	M	N	A_{fi}	A_{fs}	σ_{fs}	σ_{fi}	σ_c
1	0,00	0	0	0,00	0,00	0,0	0,0	0,0

1	0,20	-3209	2534	4,52	5,65	2053,1	317,3	40,9
2	1,90	-421	1267	4,52	5,65	192,5	50,0	5,4
3	3,60	0	0	4,52	5,65	0,0	0,0	0,0

Verifiche taglio

N°	X	V	τ_c	A_{sw}
1	0,20	2785	1,21	0,00
2	1,90	719	0,31	0,00
3	3,60	0	0,00	0,00

Verifica sezioni piedritto destro [Combinazione n° 25 - SLE (Quasi Permanente) - Sisma Vert. negativo]

Base sezione B = 100 cm

Altezza sezioneH = 30,00 cm

Verifiche presso-flessione

N°	X	M	N	A_{fi}	A_{fs}	σ_{fs}	σ_{fi}	σ_c
1	0,20	-2999	2534	4,52	5,65	1904,9	298,4	38,3
2	1,90	-368	1267	4,52	5,65	156,2	44,8	4,7
3	3,60	0	0	4,52	5,65	0,0	0,0	0,0

Verifiche taglio

N°	X	V	τ_c	A_{sw}
1	0,20	-2662	-1,16	0,00
2	1,90	-657	-0,29	0,00
3	3,60	0	0,00	0,00

Verifica sezioni fondazione [Combinazione n° 26 - SLE (Quasi Permanente) - Sisma Vert. positivo]

Base sezione B = 100 cm

Altezza sezioneH = 40,00 cm

Verifiche presso-flessione

N°	X	M	N	A_{fi}	A_{fs}	σ_{fs}	σ_{fi}	σ_c
1	0,00	0	104	6,79	6,79	0,4	0,4	0,0
2	1,10	864	2752	6,79	4,52	69,2	188,6	6,1
3	2,30	-727	2737	6,79	6,79	133,3	57,1	4,9
4	3,43	841	2723	6,79	4,52	67,5	180,9	6,0
5	4,60	0	-113	6,79	6,79	8,3	8,3	0,0

Verifiche taglio

N°	X	V	τ_c	A_{sw}
1	0,00	142	0,05	0,00
2	1,10	-2592	-0,82	0,00
3	2,30	239	0,08	0,00
4	3,43	2876	0,91	0,00
5	4,60	-135	-0,04	0,00

Verifica sezioni piedritto sinistro [Combinazione n° 26 - SLE (Quasi Permanente) - Sisma Vert. positivo]

Base sezione B = 100 cm
Altezza sezioneH = 30,00 cm

Verifiche presso-flessione

N°	X	M	N	A _{fi}	A _{fs}	σ _{fs}	σ _{fi}	σ _c
1	0,20	-2999	2566	4,52	5,65	1902,2	298,8	38,3
2	1,90	-368	1283	4,52	5,65	155,0	44,9	4,7
3	3,60	0	0	4,52	5,65	0,0	0,0	0,0

Verifiche taglio

N°	X	V	τ _c	A _{sw}
1	0,20	2662	1,16	0,00
2	1,90	657	0,29	0,00
3	3,60	0	0,00	0,00

Verifica sezioni piedritto destro [Combinazione n° 26 - SLE (Quasi Permanente) - Sisma Vert. positivo]
1

Base sezione B = 100 cm
Altezza sezioneH = 30,00 cm

Verifiche presso-flessione

N°	X	M	N	A _{fi}	A _{fs}	σ _{fs}	σ _{fi}	σ _c
1	0,20	-3270	2566	4,52	5,65	2093,7	323,2	41,7
2	1,90	-436	1283	4,52	5,65	201,8	51,6	5,6
3	3,60	0	0	4,52	5,65	0,0	0,0	0,0

Verifiche taglio

N°	X	V	τ _c	A _{sw}
1	0,20	-2821	-1,23	0,00
2	1,90	-737	-0,32	0,00
3	3,60	0	0,00	0,00

Verifica sezioni fondazione [Combinazione n° 27 - SLE (Quasi Permanente) - Sisma Vert. negativo]

Base sezione B = 100 cm
Altezza sezioneH = 40,00 cm

Verifiche presso-flessione

N°	X	M	N	A _{fi}	A _{fs}	σ _{fs}	σ _{fi}	σ _c
1	0,00	0	86	6,79	6,79	0,3	0,3	0,0
2	1,10	864	2734	6,79	4,52	69,1	189,4	6,1
3	2,30	-737	2719	6,79	6,79	138,1	57,8	5,0
4	3,43	801	2705	6,79	4,52	64,4	165,7	5,7
5	4,60	0	-95	6,79	6,79	7,0	7,0	0,0

Verifiche taglio

N°	X	V	τ _c	A _{sw}
1	0,00	140	0,04	0,00
2	1,10	-2589	-0,82	0,00
3	2,30	219	0,07	0,00
4	3,43	2841	0,90	0,00
5	4,60	-135	-0,04	0,00

Verifica sezioni piedritto sinistro [Combinazione n° 27 - SLE (Quasi Permanente) - Sisma Vert. negativo]

Base sezione B = 100 cm
Altezza sezioneH = 30,00 cm

Verifiche presso-flessione

N°	X	M	N	A _{fi}	A _{fs}	σ _{fs}	σ _{fi}	σ _c
1	0,20	-2999	2534	4,52	5,65	1904,9	298,4	38,3
2	1,90	-368	1267	4,52	5,65	156,2	44,8	4,7
3	3,60	0	0	4,52	5,65	0,0	0,0	0,0

Verifiche taglio

N°	X	V	τ _c	A _{sw}
1	0,20	2662	1,16	0,00
2	1,90	657	0,29	0,00
3	3,60	0	0,00	0,00

Verifica sezioni piedritto destro [Combinazione n° 27 - SLE (Quasi Permanente) - Sisma Vert. negativo]

Base sezione B = 100 cm
Altezza sezioneH = 30,00 cm

Verifiche presso-flessione

N°	X	M	N	A _{fi}	A _{fs}	σ _{fs}	σ _{fi}	σ _c
1	0,20	-3209	2534	4,52	5,65	2053,1	317,3	40,9
2	1,90	-421	1267	4,52	5,65	192,5	50,0	5,4
3	3,60	0	0	4,52	5,65	0,0	0,0	0,0

Verifiche taglio

N°	X	V	τ _c	A _{sw}
1	0,20	-2785	-1,21	0,00
2	1,90	-719	-0,31	0,00
3	3,60	0	0,00	0,00

Verifica sezioni fondazione [Combinazione n° 28 - SLE (Frequente) - Sisma Vert. positivo]

Base sezione B = 100 cm
Altezza sezioneH = 40,00 cm

Verifiche presso-flessione

N°	X	M	N	A _{fi}	A _{fs}	σ _{fs}	σ _{fi}	σ _c
1	0,00	0	-113	6,79	6,79	8,3	8,3	0,0
2	1,10	1051	2722	6,79	4,52	82,5	267,3	7,6
3	2,30	-727	2737	6,79	6,79	133,3	57,1	4,9
4	3,43	664	2751	6,79	4,52	54,1	109,6	4,6
5	4,60	0	104	6,79	6,79	0,4	0,4	0,0

Verifiche taglio

N°	X	V	τ _c	A _{sw}
1	0,00	135	0,04	0,00

2	1,10	-2727	-0,87	0,00
3	2,30	72	0,02	0,00
4	3,43	2743	0,87	0,00
5	4,60	-142	-0,05	0,00

Verifica sezioni piedritto sinistro [Combinazione n° 28 - SLE (Frequente) - Sisma Vert. positivo]

Base sezione B = 100 cm
Altezza sezioneH = 30,00 cm

Verifiche presso-flessione

N°	X	M	N	A _{fi}	A _{fs}	σ _{fs}	σ _{fi}	σ _c
1	0,20	-3270	2566	4,52	5,65	2093,7	323,2	41,7
2	1,90	-436	1283	4,52	5,65	201,8	51,6	5,6
3	3,60	0	0	4,52	5,65	0,0	0,0	0,0

Verifiche taglio

N°	X	V	τ _c	A _{sw}
1	0,20	2821	1,23	0,00
2	1,90	737	0,32	0,00
3	3,60	0	0,00	0,00

Verifica sezioni piedritto destro [Combinazione n° 28 - SLE (Frequente) - Sisma Vert. positivo]

Base sezione B = 100 cm
Altezza sezioneH = 30,00 cm

Verifiche presso-flessione

N°	X	M	N	A _{fi}	A _{fs}	σ _{fs}	σ _{fi}	σ _c
1	0,20	-2999	2566	4,52	5,65	1902,2	298,8	38,3
2	1,90	-368	1283	4,52	5,65	155,0	44,9	4,7
3	3,60	0	0	4,52	5,65	0,0	0,0	0,0

Verifiche taglio

N°	X	V	τ _c	A _{sw}
1	0,20	-2662	-1,16	0,00
2	1,90	-657	-0,29	0,00
3	3,60	0	0,00	0,00

Verifica sezioni fondazione [Combinazione n° 29 - SLE (Frequente) - Sisma Vert. negativo]

Base sezione B = 100 cm
Altezza sezioneH = 40,00 cm

Verifiche presso-flessione

N°	X	M	N	A _{fi}	A _{fs}	σ _{fs}	σ _{fi}	σ _c
1	0,00	0	-95	6,79	6,79	7,0	7,0	0,0
2	1,10	1008	2704	6,79	4,52	79,4	250,6	7,2
3	2,30	-737	2719	6,79	6,79	138,1	57,8	5,0
4	3,43	663	2733	6,79	4,52	54,0	110,4	4,6
5	4,60	0	86	6,79	6,79	0,3	0,3	0,0

Verifiche taglio

N°	X	V	τ_c	A_{sw}
1	0,00	135	0,04	0,00
2	1,10	-2693	-0,86	0,00
3	2,30	90	0,03	0,00
4	3,43	2738	0,87	0,00
5	4,60	-140	-0,04	0,00

Verifica sezioni piedritto sinistro [Combinazione n° 29 - SLE (Frequente) - Sisma Vert. negativo]

Base sezione B = 100 cm
Altezza sezioneH = 30,00 cm

Verifiche presso-flessione

N°	X	M	N	A_{fi}	A_{fs}	σ_{fs}	σ_{fi}	σ_c
1	0,20	-3209	2534	4,52	5,65	2053,1	317,3	40,9
2	1,90	-421	1267	4,52	5,65	192,5	50,0	5,4
3	3,60	0	0	4,52	5,65	0,0	0,0	0,0

Verifiche taglio

N°	X	V	τ_c	A_{sw}
1	0,20	2785	1,21	0,00
2	1,90	719	0,31	0,00
3	3,60	0	0,00	0,00

Verifica sezioni piedritto destro [Combinazione n° 29 - SLE (Frequente) - Sisma Vert. negativo]

Base sezione B = 100 cm
Altezza sezioneH = 30,00 cm

Verifiche presso-flessione

N°	X	M	N	A_{fi}	A_{fs}	σ_{fs}	σ_{fi}	σ_c
1	0,20	-2999	2534	4,52	5,65	1904,9	298,4	38,3
2	1,90	-368	1267	4,52	5,65	156,2	44,8	4,7
3	3,60	0	0	4,52	5,65	0,0	0,0	0,0

Verifiche taglio

N°	X	V	τ_c	A_{sw}
1	0,20	-2662	-1,16	0,00
2	1,90	-657	-0,29	0,00
3	3,60	0	0,00	0,00

Verifica sezioni fondazione [Combinazione n° 30 - SLE (Frequente) - Sisma Vert. positivo]

Base sezione B = 100 cm
Altezza sezioneH = 40,00 cm

Verifiche presso-flessione

N°	X	M	N	A_{fi}	A_{fs}	σ_{fs}	σ_{fi}	σ_c
1	0,00	0	104	6,79	6,79	0,4	0,4	0,0
2	1,10	864	2752	6,79	4,52	69,2	188,6	6,1
3	2,30	-727	2737	6,79	6,79	133,3	57,1	4,9
4	3,43	841	2723	6,79	4,52	67,5	180,9	6,0

5	4,60	0	-113	6,79	6,79	8,3	8,3	0,0
---	------	---	------	------	------	-----	-----	-----

Verifiche taglio

N°	X	V	τ_c	A_{sw}
1	0,00	142	0,05	0,00
2	1,10	-2592	-0,82	0,00
3	2,30	239	0,08	0,00
4	3,43	2876	0,91	0,00
5	4,60	-135	-0,04	0,00

Verifica sezioni piedritto sinistro [Combinazione n° 30 - SLE (Frequente) - Sisma Vert. positivo]

Base sezione B = 100 cm

Altezza sezioneH = 30,00 cm

Verifiche presso-flessione

N°	X	M	N	A_{fi}	A_{fs}	σ_{fs}	σ_{fi}	σ_c
1	0,20	-2999	2566	4,52	5,65	1902,2	298,8	38,3
2	1,90	-368	1283	4,52	5,65	155,0	44,9	4,7
3	3,60	0	0	4,52	5,65	0,0	0,0	0,0

Verifiche taglio

N°	X	V	τ_c	A_{sw}
1	0,20	2662	1,16	0,00
2	1,90	657	0,29	0,00
3	3,60	0	0,00	0,00

Verifica sezioni piedritto destro [Combinazione n° 30 - SLE (Frequente) - Sisma Vert. positivo]

Base sezione B = 100 cm

Altezza sezioneH = 30,00 cm

Verifiche presso-flessione

N°	X	M	N	A_{fi}	A_{fs}	σ_{fs}	σ_{fi}	σ_c
1	0,20	-3270	2566	4,52	5,65	2093,7	323,2	41,7
2	1,90	-436	1283	4,52	5,65	201,8	51,6	5,6
3	3,60	0	0	4,52	5,65	0,0	0,0	0,0

Verifiche taglio

N°	X	V	τ_c	A_{sw}
1	0,20	-2821	-1,23	0,00
2	1,90	-737	-0,32	0,00
3	3,60	0	0,00	0,00

Verifica sezioni fondazione [Combinazione n° 31 - SLE (Frequente) - Sisma Vert. negativo]

Base sezione B = 100 cm

Altezza sezioneH = 40,00 cm

Verifiche presso-flessione

N°	X	M	N	A_{fi}	A_{fs}	σ_{fs}	σ_{fi}	σ_c
1	0,00	0	86	6,79	6,79	0,3	0,3	0,0

2	1,10	864	2734	6,79	4,52	69,1	189,4	6,1
3	2,30	-737	2719	6,79	6,79	138,1	57,8	5,0
4	3,43	801	2705	6,79	4,52	64,4	165,7	5,7
5	4,60	0	-95	6,79	6,79	7,0	7,0	0,0

Verifiche taglio

N°	X	V	τ_c	A_{sw}
1	0,00	140	0,04	0,00
2	1,10	-2589	-0,82	0,00
3	2,30	219	0,07	0,00
4	3,43	2841	0,90	0,00
5	4,60	-135	-0,04	0,00

Verifica sezioni piedritto sinistro [Combinazione n° 31 - SLE (Frequente) - Sisma Vert. negativo]

Base sezione B = 100 cm
Altezza sezioneH = 30,00 cm

Verifiche presso-flessione

N°	X	M	N	A_{fi}	A_{fs}	σ_{fs}	σ_{fi}	σ_c
1	0,20	-2999	2534	4,52	5,65	1904,9	298,4	38,3
2	1,90	-368	1267	4,52	5,65	156,2	44,8	4,7
3	3,60	0	0	4,52	5,65	0,0	0,0	0,0

Verifiche taglio

N°	X	V	τ_c	A_{sw}
1	0,20	2662	1,16	0,00
2	1,90	657	0,29	0,00
3	3,60	0	0,00	0,00

Verifica sezioni piedritto destro [Combinazione n° 31 - SLE (Frequente) - Sisma Vert. negativo]

Base sezione B = 100 cm
Altezza sezioneH = 30,00 cm

Verifiche presso-flessione

N°	X	M	N	A_{fi}	A_{fs}	σ_{fs}	σ_{fi}	σ_c
1	0,20	-3209	2534	4,52	5,65	2053,1	317,3	40,9
2	1,90	-421	1267	4,52	5,65	192,5	50,0	5,4
3	3,60	0	0	4,52	5,65	0,0	0,0	0,0

Verifiche taglio

N°	X	V	τ_c	A_{sw}
1	0,20	-2785	-1,21	0,00
2	1,90	-719	-0,31	0,00
3	3,60	0	0,00	0,00

Verifica sezioni fondazione [Combinazione n° 32 - SLE (Rara) - Sisma Vert. positivo]

Base sezione B = 100 cm
Altezza sezioneH = 40,00 cm

Verifiche presso-flessione

N°	X	M	N	A _{fi}	A _{fs}	σ _{fs}	σ _{fi}	σ _c
1	0,00	0	-113	6,79	6,79	8,3	8,3	0,0
2	1,10	1051	2722	6,79	4,52	82,5	267,3	7,6
3	2,30	-727	2737	6,79	6,79	133,3	57,1	4,9
4	3,43	664	2751	6,79	4,52	54,1	109,6	4,6
5	4,60	0	104	6,79	6,79	0,4	0,4	0,0

Verifiche taglio

N°	X	V	τ _c	A _{sw}
1	0,00	135	0,04	0,00
2	1,10	-2727	-0,87	0,00
3	2,30	72	0,02	0,00
4	3,43	2743	0,87	0,00
5	4,60	-142	-0,05	0,00

Verifica sezioni piedritto sinistro [Combinazione n° 32 - SLE (Rara) - Sisma Vert. positivo]

Base sezione B = 100 cm

Altezza sezioneH = 30,00 cm

Verifiche presso-flessione

N°	X	M	N	A _{fi}	A _{fs}	σ _{fs}	σ _{fi}	σ _c
1	0,20	-3270	2566	4,52	5,65	2093,7	323,2	41,7
2	1,90	-436	1283	4,52	5,65	201,8	51,6	5,6
3	3,60	0	0	4,52	5,65	0,0	0,0	0,0

Verifiche taglio

N°	X	V	τ _c	A _{sw}
1	0,20	2821	1,23	0,00
2	1,90	737	0,32	0,00
3	3,60	0	0,00	0,00

Verifica sezioni piedritto destro [Combinazione n° 32 - SLE (Rara) - Sisma Vert. positivo]

Base sezione B = 100 cm

Altezza sezioneH = 30,00 cm

Verifiche presso-flessione

N°	X	M	N	A _{fi}	A _{fs}	σ _{fs}	σ _{fi}	σ _c
1	0,20	-2999	2566	4,52	5,65	1902,2	298,8	38,3
2	1,90	-368	1283	4,52	5,65	155,0	44,9	4,7
3	3,60	0	0	4,52	5,65	0,0	0,0	0,0

Verifiche taglio

N°	X	V	τ _c	A _{sw}
1	0,20	-2662	-1,16	0,00
2	1,90	-657	-0,29	0,00
3	3,60	0	0,00	0,00

Verifica sezioni fondazione [Combinazione n° 33 - SLE (Rara) - Sisma Vert. negativo]

Base sezione B = 100 cm
Altezza sezioneH = 40,00 cm

Verifiche presso-flessione

N°	X	M	N	A _{fi}	A _{fs}	σ _{fs}	σ _{fi}	σ _c
1	0,00	0	-95	6,79	6,79	7,0	7,0	0,0
2	1,10	1008	2704	6,79	4,52	79,4	250,6	7,2
3	2,30	-737	2719	6,79	6,79	138,1	57,8	5,0
4	3,43	663	2733	6,79	4,52	54,0	110,4	4,6
5	4,60	0	86	6,79	6,79	0,3	0,3	0,0

Verifiche taglio

N°	X	V	τ _c	A _{sw}
1	0,00	135	0,04	0,00
2	1,10	-2693	-0,86	0,00
3	2,30	90	0,03	0,00
4	3,43	2738	0,87	0,00
5	4,60	-140	-0,04	0,00

Verifica sezioni piedritto sinistro [Combinazione n° 33 - SLE (Rara) - Sisma Vert. negativo]

Base sezione B = 100 cm
Altezza sezioneH = 30,00 cm

Verifiche presso-flessione

N°	X	M	N	A _{fi}	A _{fs}	σ _{fs}	σ _{fi}	σ _c
1	0,20	-3209	2534	4,52	5,65	2053,1	317,3	40,9
2	1,90	-421	1267	4,52	5,65	192,5	50,0	5,4
3	3,60	0	0	4,52	5,65	0,0	0,0	0,0

Verifiche taglio

N°	X	V	τ _c	A _{sw}
1	0,20	2785	1,21	0,00
2	1,90	719	0,31	0,00
3	3,60	0	0,00	0,00

Verifica sezioni piedritto destro [Combinazione n° 33 - SLE (Rara) - Sisma Vert. negativo]

Base sezione B = 100 cm
Altezza sezioneH = 30,00 cm

Verifiche presso-flessione

N°	X	M	N	A _{fi}	A _{fs}	σ _{fs}	σ _{fi}	σ _c
1	0,20	-2999	2534	4,52	5,65	1904,9	298,4	38,3
2	1,90	-368	1267	4,52	5,65	156,2	44,8	4,7
3	3,60	0	0	4,52	5,65	0,0	0,0	0,0

Verifiche taglio

N°	X	V	τ _c	A _{sw}
1	0,20	-2662	-1,16	0,00
2	1,90	-657	-0,29	0,00
3	3,60	0	0,00	0,00

Verifica sezioni fondazione [Combinazione n° 34 - SLE (Rara) - Sisma Vert. positivo]

Base sezione B = 100 cm
Altezza sezioneH = 40,00 cm

Verifiche presso-flessione

N°	X	M	N	A _{fi}	A _{fs}	σ _{fs}	σ _{fi}	σ _c
1	0,00	0	104	6,79	6,79	0,4	0,4	0,0
2	1,10	864	2752	6,79	4,52	69,2	188,6	6,1
3	2,30	-727	2737	6,79	6,79	133,3	57,1	4,9
4	3,43	841	2723	6,79	4,52	67,5	180,9	6,0
5	4,60	0	-113	6,79	6,79	8,3	8,3	0,0

Verifiche taglio

N°	X	V	τ _c	A _{sw}
1	0,00	142	0,05	0,00
2	1,10	-2592	-0,82	0,00
3	2,30	239	0,08	0,00
4	3,43	2876	0,91	0,00
5	4,60	-135	-0,04	0,00

Verifica sezioni piedritto sinistro [Combinazione n° 34 - SLE (Rara) - Sisma Vert. positivo]

Base sezione B = 100 cm
Altezza sezioneH = 30,00 cm

Verifiche presso-flessione

N°	X	M	N	A _{fi}	A _{fs}	σ _{fs}	σ _{fi}	σ _c
1	0,20	-2999	2566	4,52	5,65	1902,2	298,8	38,3
2	1,90	-368	1283	4,52	5,65	155,0	44,9	4,7
3	3,60	0	0	4,52	5,65	0,0	0,0	0,0

Verifiche taglio

N°	X	V	τ _c	A _{sw}
1	0,20	2662	1,16	0,00
2	1,90	657	0,29	0,00
3	3,60	0	0,00	0,00

Verifica sezioni piedritto destro [Combinazione n° 34 - SLE (Rara) - Sisma Vert. positivo]

Base sezione B = 100 cm
Altezza sezioneH = 30,00 cm

Verifiche presso-flessione

N°	X	M	N	A _{fi}	A _{fs}	σ _{fs}	σ _{fi}	σ _c
1	0,20	-3270	2566	4,52	5,65	2093,7	323,2	41,7
2	1,90	-436	1283	4,52	5,65	201,8	51,6	5,6
3	3,60	0	0	4,52	5,65	0,0	0,0	0,0

Verifiche taglio

N°	X	V	τ _c	A _{sw}
1	0,20	-2821	-1,23	0,00
2	1,90	-737	-0,32	0,00

3	3,60	0	0,00	0,00
---	------	---	------	------

Verifica sezioni fondazione [Combinazione n° 35 - SLE (Rara) - Sisma Vert. negativo]

Base sezione B = 100 cm
Altezza sezioneH = 40,00 cm

Verifiche presso-flessione

N°	X	M	N	A _{fi}	A _{fs}	σ _{fs}	σ _{fi}	σ _c
1	0,00	0	86	6,79	6,79	0,3	0,3	0,0
2	1,10	864	2734	6,79	4,52	69,1	189,4	6,1
3	2,30	-737	2719	6,79	6,79	138,1	57,8	5,0
4	3,43	801	2705	6,79	4,52	64,4	165,7	5,7
5	4,60	0	-95	6,79	6,79	7,0	7,0	0,0

Verifiche taglio

N°	X	V	τ _c	A _{sw}
1	0,00	140	0,04	0,00
2	1,10	-2589	-0,82	0,00
3	2,30	219	0,07	0,00
4	3,43	2841	0,90	0,00
5	4,60	-135	-0,04	0,00

Verifica sezioni piedritto sinistro [Combinazione n° 35 - SLE (Rara) - Sisma Vert. negativo]

Base sezione B = 100 cm
Altezza sezioneH = 30,00 cm

Verifiche presso-flessione

N°	X	M	N	A _{fi}	A _{fs}	σ _{fs}	σ _{fi}	σ _c
1	0,20	-2999	2534	4,52	5,65	1904,9	298,4	38,3
2	1,90	-368	1267	4,52	5,65	156,2	44,8	4,7
3	3,60	0	0	4,52	5,65	0,0	0,0	0,0

Verifiche taglio

N°	X	V	τ _c	A _{sw}
1	0,20	2662	1,16	0,00
2	1,90	657	0,29	0,00
3	3,60	0	0,00	0,00

Verifica sezioni piedritto destro [Combinazione n° 35 - SLE (Rara) - Sisma Vert. negativo]

Base sezione B = 100 cm
Altezza sezioneH = 30,00 cm

Verifiche presso-flessione

N°	X	M	N	A _{fi}	A _{fs}	σ _{fs}	σ _{fi}	σ _c
1	0,20	-3209	2534	4,52	5,65	2053,1	317,3	40,9
2	1,90	-421	1267	4,52	5,65	192,5	50,0	5,4
3	3,60	0	0	4,52	5,65	0,0	0,0	0,0

Verifiche taglio

N°	X	V	τ_c	A _{sw}
1	0,20	-2785	-1,21	0,00
2	1,90	-719	-0,31	0,00
3	3,60	0	0,00	0,00

Verifiche fessurazione

Simbologia adottata ed unità di misura

N°	Indice sezione
X_i	Ascissa/Ordinata sezione, espresso in m
M_p	Momento, espresse in kgm
M_n	Momento, espresse in kgm
w_k	Aampiezza fessure, espresse in mm
w_{lim}	Apertura limite fessure, espresse in mm
s	Distanza media tra le fessure, espresse in mm
ε_{sm}	Deformazione nelle fessure, espresse in [%]

Verifica fessurazione fondazione [Combinazione n° 21 - SLE (Quasi Permanente)]

N°	X	A_{fi}	A_{fs}	Mp	Mn	M	w	w_{lim}	s_m	ε_{sm}
1	0,03	6,79	6,79	3837	-3837	0	0,00	0,10	0,00	0,00000
2	1,10	6,79	4,52	3821	-3758	891	0,00	0,10	0,00	0,00000
3	2,30	6,79	6,79	3837	-3837	-780	0,00	0,10	0,00	0,00000
4	3,42	6,79	4,52	3821	-3758	687	0,00	0,10	0,00	0,00000
5	4,57	6,79	6,79	3837	-3837	0	0,00	0,10	0,00	0,00000

Verifica fessurazione piedritto sinistro [Combinazione n° 21 - SLE (Quasi Permanente)]

N°	X	A_{fi}	A_{fs}	Mp	Mn	M	w	w_{lim}	s_m	ε_{sm}
1	0,20	4,52	5,65	2131	-2153	-3054	0,23	0,10	208,92	0,00065
2	1,90	4,52	5,65	2131	-2153	-382	0,00	0,10	0,00	0,00000
3	3,60	4,52	5,65	2131	-2153	0	0,00	0,10	0,00	0,00000

Verifica fessurazione piedritto destro [Combinazione n° 21 - SLE (Quasi Permanente)]

N°	X	A_{fi}	A_{fs}	Mp	Mn	M	w	w_{lim}	s_m	ε_{sm}
1	0,20	4,52	5,65	2131	-2153	-3054	0,23	0,10	208,92	0,00065
2	1,90	4,52	5,65	2131	-2153	-382	0,00	0,10	0,00	0,00000
3	3,60	4,52	5,65	2131	-2153	0	0,00	0,10	0,00	0,00000

Verifica fessurazione fondazione [Combinazione n° 22 - SLE (Frequente)]

N°	X	A_{fi}	A_{fs}	Mp	Mn	M	w	w_{lim}	s_m	ε_{sm}
1	0,03	6,79	6,79	3837	-3837	0	0,00	0,20	0,00	0,00000
2	1,10	6,79	4,52	3821	-3758	891	0,00	0,20	0,00	0,00000
3	2,30	6,79	6,79	3837	-3837	-780	0,00	0,20	0,00	0,00000
4	3,42	6,79	4,52	3821	-3758	687	0,00	0,20	0,00	0,00000
5	4,57	6,79	6,79	3837	-3837	0	0,00	0,20	0,00	0,00000

Verifica fessurazione piedritto sinistro [Combinazione n° 22 - SLE (Frequente)]

N°	X	A_{fi}	A_{fs}	Mp	Mn	M	w	w_{lim}	s_m	ε_{sm}
1	0,20	4,52	5,65	2131	-2153	-3054	0,23	0,20	208,92	0,00065
2	1,90	4,52	5,65	2131	-2153	-382	0,00	0,20	0,00	0,00000
3	3,60	4,52	5,65	2131	-2153	0	0,00	0,20	0,00	0,00000

Verifica fessurazione piedritto destro [Combinazione n° 22 - SLE (Frequente)]

N°	X	A _{fi}	A _{fs}	M _p	M _n	M	w	w _{lim}	s _m	ε _{sm}
1	0,20	4,52	5,65	2131	-2153	-3054	0,23	0,20	208,92	0,00065
2	1,90	4,52	5,65	2131	-2153	-382	0,00	0,20	0,00	0,00000
3	3,60	4,52	5,65	2131	-2153	0	0,00	0,20	0,00	0,00000

Verifica fessurazione fondazione [Combinazione n° 23 - SLE (Rara)]

N°	X	A _{fi}	A _{fs}	M _p	M _n	M	w	w _{lim}	s _m	ε _{sm}
1	0,03	6,79	6,79	3837	-3837	0	0,00	100,00	0,00	0,00000
2	1,10	6,79	4,52	3821	-3758	891	0,00	100,00	0,00	0,00000
3	2,30	6,79	6,79	3837	-3837	-780	0,00	100,00	0,00	0,00000
4	3,42	6,79	4,52	3821	-3758	687	0,00	100,00	0,00	0,00000
5	4,57	6,79	6,79	3837	-3837	0	0,00	100,00	0,00	0,00000

Verifica fessurazione piedritto sinistro [Combinazione n° 23 - SLE (Rara)]

N°	X	A _{fi}	A _{fs}	M _p	M _n	M	w	w _{lim}	s _m	ε _{sm}
1	0,20	4,52	5,65	2131	-2153	-3054	0,23	100,00	208,92	0,00065
2	1,90	4,52	5,65	2131	-2153	-382	0,00	100,00	0,00	0,00000
3	3,60	4,52	5,65	2131	-2153	0	0,00	100,00	0,00	0,00000

Verifica fessurazione piedritto destro [Combinazione n° 23 - SLE (Rara)]

N°	X	A _{fi}	A _{fs}	M _p	M _n	M	w	w _{lim}	s _m	ε _{sm}
1	0,20	4,52	5,65	2131	-2153	-3054	0,23	100,00	208,92	0,00065
2	1,90	4,52	5,65	2131	-2153	-382	0,00	100,00	0,00	0,00000
3	3,60	4,52	5,65	2131	-2153	0	0,00	100,00	0,00	0,00000

Verifica fessurazione fondazione [Combinazione n° 24 - SLE (Quasi Permanente) - Sisma Vert. positivo]

N°	X	A _{fi}	A _{fs}	M _p	M _n	M	w	w _{lim}	s _m	ε _{sm}
1	0,03	6,79	6,79	3837	-3837	0	0,00	0,10	0,00	0,00000
2	1,10	6,79	4,52	3821	-3758	1051	0,00	0,10	0,00	0,00000
3	2,30	6,79	6,79	3837	-3837	-727	0,00	0,10	0,00	0,00000
4	3,42	6,79	4,52	3821	-3758	664	0,00	0,10	0,00	0,00000
5	4,57	6,79	6,79	3837	-3837	0	0,00	0,10	0,00	0,00000

Verifica fessurazione piedritto sinistro [Combinazione n° 24 - SLE (Quasi Permanente) - Sisma Vert. positivo]

N°	X	A _{fi}	A _{fs}	M _p	M _n	M	w	w _{lim}	s _m	ε _{sm}
1	0,20	4,52	5,65	2131	-2153	-3270	0,26	0,10	208,92	0,00074
2	1,90	4,52	5,65	2131	-2153	-436	0,00	0,10	0,00	0,00000
3	3,60	4,52	5,65	2131	-2153	0	0,00	0,10	0,00	0,00000

Verifica fessurazione piedritto destro [Combinazione n° 24 - SLE (Quasi Permanente) - Sisma Vert. positivo]

N°	X	A _{fi}	A _{fs}	M _p	M _n	M	W	W _{lim}	S _m	ε _{sm}
1	0,20	4,52	5,65	2131	-2153	-2999	0,22	0,10	208,92	0,00063
2	1,90	4,52	5,65	2131	-2153	-368	0,00	0,10	0,00	0,00000
3	3,60	4,52	5,65	2131	-2153	0	0,00	0,10	0,00	0,00000

Verifica fessurazione fondazione [Combinazione n° 25 - SLE (Quasi Permanente) - Sisma Vert. negativo]

N°	X	A _{fi}	A _{fs}	M _p	M _n	M	W	W _{lim}	S _m	ε _{sm}
1	0,03	6,79	6,79	3837	-3837	0	0,00	0,10	0,00	0,00000
2	1,10	6,79	4,52	3821	-3758	1008	0,00	0,10	0,00	0,00000
3	2,30	6,79	6,79	3837	-3837	-737	0,00	0,10	0,00	0,00000
4	3,42	6,79	4,52	3821	-3758	663	0,00	0,10	0,00	0,00000
5	4,57	6,79	6,79	3837	-3837	0	0,00	0,10	0,00	0,00000

Verifica fessurazione piedritto sinistro [Combinazione n° 25 - SLE (Quasi Permanente) - Sisma Vert. negativo]

N°	X	A _{fi}	A _{fs}	M _p	M _n	M	W	W _{lim}	S _m	ε _{sm}
1	0,20	4,52	5,65	2131	-2153	-3209	0,26	0,10	208,92	0,00072
2	1,90	4,52	5,65	2131	-2153	-421	0,00	0,10	0,00	0,00000
3	3,60	4,52	5,65	2131	-2153	0	0,00	0,10	0,00	0,00000

Verifica fessurazione piedritto destro [Combinazione n° 25 - SLE (Quasi Permanente) - Sisma Vert. negativo]

N°	X	A _{fi}	A _{fs}	M _p	M _n	M	W	W _{lim}	S _m	ε _{sm}
1	0,20	4,52	5,65	2131	-2153	-2999	0,22	0,10	208,92	0,00063
2	1,90	4,52	5,65	2131	-2153	-368	0,00	0,10	0,00	0,00000
3	3,60	4,52	5,65	2131	-2153	0	0,00	0,10	0,00	0,00000

Verifica fessurazione fondazione [Combinazione n° 26 - SLE (Quasi Permanente) - Sisma Vert. positivo]

N°	X	A _{fi}	A _{fs}	M _p	M _n	M	W	W _{lim}	S _m	ε _{sm}
1	0,03	6,79	6,79	3837	-3837	0	0,00	0,10	0,00	0,00000
2	1,10	6,79	4,52	3821	-3758	864	0,00	0,10	0,00	0,00000
3	2,30	6,79	6,79	3837	-3837	-727	0,00	0,10	0,00	0,00000
4	3,42	6,79	4,52	3821	-3758	841	0,00	0,10	0,00	0,00000
5	4,57	6,79	6,79	3837	-3837	0	0,00	0,10	0,00	0,00000

Verifica fessurazione piedritto sinistro [Combinazione n° 26 - SLE (Quasi Permanente) - Sisma Vert. positivo]

N°	X	A _{fi}	A _{fs}	M _p	M _n	M	W	W _{lim}	S _m	ε _{sm}
1	0,20	4,52	5,65	2131	-2153	-2999	0,22	0,10	208,92	0,00063
2	1,90	4,52	5,65	2131	-2153	-368	0,00	0,10	0,00	0,00000
3	3,60	4,52	5,65	2131	-2153	0	0,00	0,10	0,00	0,00000

Verifica fessurazione piedritto destro [Combinazione n° 26 - SLE (Quasi Permanente) - Sisma Vert. positivo]

N°	X	A _{fi}	A _{fs}	M _p	M _n	M	w	w _{lim}	s _m	ε _{sm}
1	0,20	4,52	5,65	2131	-2153	-3270	0,26	0,10	208,92	0,00074
2	1,90	4,52	5,65	2131	-2153	-436	0,00	0,10	0,00	0,00000
3	3,60	4,52	5,65	2131	-2153	0	0,00	0,10	0,00	0,00000

Verifica fessurazione fondazione [Combinazione n° 27 - SLE (Quasi Permanente) - Sisma Vert. negativo]

N°	X	A _{fi}	A _{fs}	M _p	M _n	M	w	w _{lim}	s _m	ε _{sm}
1	0,03	6,79	6,79	3837	-3837	0	0,00	0,10	0,00	0,00000
2	1,10	6,79	4,52	3821	-3758	864	0,00	0,10	0,00	0,00000
3	2,30	6,79	6,79	3837	-3837	-737	0,00	0,10	0,00	0,00000
4	3,42	6,79	4,52	3821	-3758	801	0,00	0,10	0,00	0,00000
5	4,57	6,79	6,79	3837	-3837	0	0,00	0,10	0,00	0,00000

Verifica fessurazione piedritto sinistro [Combinazione n° 27 - SLE (Quasi Permanente) - Sisma Vert. negativo]

N°	X	A _{fi}	A _{fs}	M _p	M _n	M	w	w _{lim}	s _m	ε _{sm}
1	0,20	4,52	5,65	2131	-2153	-2999	0,22	0,10	208,92	0,00063
2	1,90	4,52	5,65	2131	-2153	-368	0,00	0,10	0,00	0,00000
3	3,60	4,52	5,65	2131	-2153	0	0,00	0,10	0,00	0,00000

Verifica fessurazione piedritto destro [Combinazione n° 27 - SLE (Quasi Permanente) - Sisma Vert. negativo]

N°	X	A _{fi}	A _{fs}	M _p	M _n	M	w	w _{lim}	s _m	ε _{sm}
1	0,20	4,52	5,65	2131	-2153	-3209	0,26	0,10	208,92	0,00072
2	1,90	4,52	5,65	2131	-2153	-421	0,00	0,10	0,00	0,00000
3	3,60	4,52	5,65	2131	-2153	0	0,00	0,10	0,00	0,00000

Verifica fessurazione fondazione [Combinazione n° 28 - SLE (Frequente) - Sisma Vert. positivo]

N°	X	A _{fi}	A _{fs}	M _p	M _n	M	w	w _{lim}	s _m	ε _{sm}
1	0,03	6,79	6,79	3837	-3837	0	0,00	0,20	0,00	0,00000
2	1,10	6,79	4,52	3821	-3758	1051	0,00	0,20	0,00	0,00000
3	2,30	6,79	6,79	3837	-3837	-727	0,00	0,20	0,00	0,00000
4	3,42	6,79	4,52	3821	-3758	664	0,00	0,20	0,00	0,00000
5	4,57	6,79	6,79	3837	-3837	0	0,00	0,20	0,00	0,00000

Verifica fessurazione piedritto sinistro [Combinazione n° 28 - SLE (Frequente) - Sisma Vert. positivo]

N°	X	A _{fi}	A _{fs}	M _p	M _n	M	w	w _{lim}	s _m	ε _{sm}
1	0,20	4,52	5,65	2131	-2153	-3270	0,26	0,20	208,92	0,00074
2	1,90	4,52	5,65	2131	-2153	-436	0,00	0,20	0,00	0,00000

3	3,60	4,52	5,65	2131	-2153	0	0,00	0,20	0,00	0,00000
---	------	------	------	------	-------	---	------	------	------	---------

Verifica fessurazione piedritto destro [Combinazione n° 28 - SLE (Frequente) - Sisma Vert. positivo]

N°	X	A _{fi}	A _{fs}	M _p	M _n	M	W	W _{lim}	S _m	ε _{sm}
1	0,20	4,52	5,65	2131	-2153	-2999	0,22	0,20	208,92	0,00063
2	1,90	4,52	5,65	2131	-2153	-368	0,00	0,20	0,00	0,00000
3	3,60	4,52	5,65	2131	-2153	0	0,00	0,20	0,00	0,00000

Verifica fessurazione fondazione [Combinazione n° 29 - SLE (Frequente) - Sisma Vert. negativo]

N°	X	A _{fi}	A _{fs}	M _p	M _n	M	W	W _{lim}	S _m	ε _{sm}
1	0,03	6,79	6,79	3837	-3837	0	0,00	0,20	0,00	0,00000
2	1,10	6,79	4,52	3821	-3758	1008	0,00	0,20	0,00	0,00000
3	2,30	6,79	6,79	3837	-3837	-737	0,00	0,20	0,00	0,00000
4	3,42	6,79	4,52	3821	-3758	663	0,00	0,20	0,00	0,00000
5	4,57	6,79	6,79	3837	-3837	0	0,00	0,20	0,00	0,00000

Verifica fessurazione piedritto sinistro [Combinazione n° 29 - SLE (Frequente) - Sisma Vert. negativo]

N°	X	A _{fi}	A _{fs}	M _p	M _n	M	W	W _{lim}	S _m	ε _{sm}
1	0,20	4,52	5,65	2131	-2153	-3209	0,26	0,20	208,92	0,00072
2	1,90	4,52	5,65	2131	-2153	-421	0,00	0,20	0,00	0,00000
3	3,60	4,52	5,65	2131	-2153	0	0,00	0,20	0,00	0,00000

Verifica fessurazione piedritto destro [Combinazione n° 29 - SLE (Frequente) - Sisma Vert. negativo]

N°	X	A _{fi}	A _{fs}	M _p	M _n	M	W	W _{lim}	S _m	ε _{sm}
1	0,20	4,52	5,65	2131	-2153	-2999	0,22	0,20	208,92	0,00063
2	1,90	4,52	5,65	2131	-2153	-368	0,00	0,20	0,00	0,00000
3	3,60	4,52	5,65	2131	-2153	0	0,00	0,20	0,00	0,00000

Verifica fessurazione fondazione [Combinazione n° 30 - SLE (Frequente) - Sisma Vert. positivo]

N°	X	A _{fi}	A _{fs}	M _p	M _n	M	W	W _{lim}	S _m	ε _{sm}
1	0,03	6,79	6,79	3837	-3837	0	0,00	0,20	0,00	0,00000
2	1,10	6,79	4,52	3821	-3758	864	0,00	0,20	0,00	0,00000
3	2,30	6,79	6,79	3837	-3837	-727	0,00	0,20	0,00	0,00000
4	3,42	6,79	4,52	3821	-3758	841	0,00	0,20	0,00	0,00000
5	4,57	6,79	6,79	3837	-3837	0	0,00	0,20	0,00	0,00000

Verifica fessurazione piedritto sinistro [Combinazione n° 30 - SLE (Frequente) - Sisma Vert. positivo]

N°	X	A _{fi}	A _{fs}	M _p	M _n	M	W	W _{lim}	S _m	ε _{sm}
1	0,20	4,52	5,65	2131	-2153	-2999	0,22	0,20	208,92	0,00063
2	1,90	4,52	5,65	2131	-2153	-368	0,00	0,20	0,00	0,00000
3	3,60	4,52	5,65	2131	-2153	0	0,00	0,20	0,00	0,00000

Verifica fessurazione piedritto destro [Combinazione n° 30 - SLE (Frequente) - Sisma Vert. positivo]

N°	X	A _{fi}	A _{fs}	M _p	M _n	M	W	W _{lim}	S _m	ε _{sm}
1	0,20	4,52	5,65	2131	-2153	-3270	0,26	0,20	208,92	0,00074
2	1,90	4,52	5,65	2131	-2153	-436	0,00	0,20	0,00	0,00000
3	3,60	4,52	5,65	2131	-2153	0	0,00	0,20	0,00	0,00000

Verifica fessurazione fondazione [Combinazione n° 31 - SLE (Frequente) - Sisma Vert. negativo]

N°	X	A _{fi}	A _{fs}	M _p	M _n	M	W	W _{lim}	S _m	ε _{sm}
1	0,03	6,79	6,79	3837	-3837	0	0,00	0,20	0,00	0,00000
2	1,10	6,79	4,52	3821	-3758	864	0,00	0,20	0,00	0,00000
3	2,30	6,79	6,79	3837	-3837	-737	0,00	0,20	0,00	0,00000
4	3,42	6,79	4,52	3821	-3758	801	0,00	0,20	0,00	0,00000
5	4,57	6,79	6,79	3837	-3837	0	0,00	0,20	0,00	0,00000

Verifica fessurazione piedritto sinistro [Combinazione n° 31 - SLE (Frequente) - Sisma Vert. negativo]

N°	X	A _{fi}	A _{fs}	M _p	M _n	M	W	W _{lim}	S _m	ε _{sm}
1	0,20	4,52	5,65	2131	-2153	-2999	0,22	0,20	208,92	0,00063
2	1,90	4,52	5,65	2131	-2153	-368	0,00	0,20	0,00	0,00000
3	3,60	4,52	5,65	2131	-2153	0	0,00	0,20	0,00	0,00000

Verifica fessurazione piedritto destro [Combinazione n° 31 - SLE (Frequente) - Sisma Vert. negativo]

N°	X	A _{fi}	A _{fs}	M _p	M _n	M	W	W _{lim}	S _m	ε _{sm}
1	0,20	4,52	5,65	2131	-2153	-3209	0,26	0,20	208,92	0,00072
2	1,90	4,52	5,65	2131	-2153	-421	0,00	0,20	0,00	0,00000
3	3,60	4,52	5,65	2131	-2153	0	0,00	0,20	0,00	0,00000

Verifica fessurazione fondazione [Combinazione n° 32 - SLE (Rara) - Sisma Vert. positivo]

N°	X	A _{fi}	A _{fs}	M _p	M _n	M	W	W _{lim}	S _m	ε _{sm}
1	0,03	6,79	6,79	3837	-3837	0	0,00	100,00	0,00	0,00000
2	1,10	6,79	4,52	3821	-3758	1051	0,00	100,00	0,00	0,00000
3	2,30	6,79	6,79	3837	-3837	-727	0,00	100,00	0,00	0,00000
4	3,42	6,79	4,52	3821	-3758	664	0,00	100,00	0,00	0,00000
5	4,57	6,79	6,79	3837	-3837	0	0,00	100,00	0,00	0,00000

Verifica fessurazione piedritto sinistro [Combinazione n° 32 - SLE (Rara) - Sisma Vert. positivo]

N°	X	A _{fi}	A _{fs}	M _p	M _n	M	W	W _{lim}	S _m	ε _{sm}
1	0,20	4,52	5,65	2131	-2153	-3270	0,26	100,00	208,92	0,00074
2	1,90	4,52	5,65	2131	-2153	-436	0,00	100,00	0,00	0,00000
3	3,60	4,52	5,65	2131	-2153	0	0,00	100,00	0,00	0,00000

Verifica fessurazione piedritto destro [Combinazione n° 32 - SLE (Rara) - Sisma Vert. positivo]

N°	X	A _{fi}	A _{fs}	M _p	M _n	M	W	W _{lim}	S _m	ε _{sm}
1	0,20	4,52	5,65	2131	-2153	-2999	0,22	100,00	208,92	0,00063
2	1,90	4,52	5,65	2131	-2153	-368	0,00	100,00	0,00	0,00000
3	3,60	4,52	5,65	2131	-2153	0	0,00	100,00	0,00	0,00000

Verifica fessurazione fondazione [Combinazione n° 33 - SLE (Rara) - Sisma Vert. negativo]

N°	X	A _{fi}	A _{fs}	M _p	M _n	M	W	W _{lim}	S _m	ε _{sm}
1	0,03	6,79	6,79	3837	-3837	0	0,00	100,00	0,00	0,00000
2	1,10	6,79	4,52	3821	-3758	1008	0,00	100,00	0,00	0,00000
3	2,30	6,79	6,79	3837	-3837	-737	0,00	100,00	0,00	0,00000
4	3,42	6,79	4,52	3821	-3758	663	0,00	100,00	0,00	0,00000
5	4,57	6,79	6,79	3837	-3837	0	0,00	100,00	0,00	0,00000

Verifica fessurazione piedritto sinistro [Combinazione n° 33 - SLE (Rara) - Sisma Vert. negativo]

N°	X	A _{fi}	A _{fs}	M _p	M _n	M	W	W _{lim}	S _m	ε _{sm}
1	0,20	4,52	5,65	2131	-2153	-3209	0,26	100,00	208,92	0,00072
2	1,90	4,52	5,65	2131	-2153	-421	0,00	100,00	0,00	0,00000
3	3,60	4,52	5,65	2131	-2153	0	0,00	100,00	0,00	0,00000

Verifica fessurazione piedritto destro [Combinazione n° 33 - SLE (Rara) - Sisma Vert. negativo]

N°	X	A _{fi}	A _{fs}	M _p	M _n	M	W	W _{lim}	S _m	ε _{sm}
1	0,20	4,52	5,65	2131	-2153	-2999	0,22	100,00	208,92	0,00063
2	1,90	4,52	5,65	2131	-2153	-368	0,00	100,00	0,00	0,00000
3	3,60	4,52	5,65	2131	-2153	0	0,00	100,00	0,00	0,00000

Verifica fessurazione fondazione [Combinazione n° 34 - SLE (Rara) - Sisma Vert. positivo]

N°	X	A _{fi}	A _{fs}	M _p	M _n	M	W	W _{lim}	S _m	ε _{sm}
1	0,03	6,79	6,79	3837	-3837	0	0,00	100,00	0,00	0,00000
2	1,10	6,79	4,52	3821	-3758	864	0,00	100,00	0,00	0,00000
3	2,30	6,79	6,79	3837	-3837	-727	0,00	100,00	0,00	0,00000
4	3,42	6,79	4,52	3821	-3758	841	0,00	100,00	0,00	0,00000
5	4,57	6,79	6,79	3837	-3837	0	0,00	100,00	0,00	0,00000

Verifica fessurazione piedritto sinistro [Combinazione n° 34 - SLE (Rara) - Sisma Vert. positivo]

N°	X	A _{fi}	A _{fs}	M _p	M _n	M	W	W _{lim}	S _m	ε _{sm}
1	0,20	4,52	5,65	2131	-2153	-2999	0,22	100,00	208,92	0,00063
2	1,90	4,52	5,65	2131	-2153	-368	0,00	100,00	0,00	0,00000
3	3,60	4,52	5,65	2131	-2153	0	0,00	100,00	0,00	0,00000

Verifica fessurazione piedritto destro [Combinazione n° 34 - SLE (Rara) - Sisma Vert. positivo]

N°	X	A _{fi}	A _{fs}	M _p	M _n	M	W	W _{lim}	S _m	ε _{sm}
1	0,20	4,52	5,65	2131	-2153	-3270	0,26	100,00	208,92	0,00074
2	1,90	4,52	5,65	2131	-2153	-436	0,00	100,00	0,00	0,00000

3	3,60	4,52	5,65	2131	-2153	0	0,00	100,00	0,00	0,00000
---	------	------	------	------	-------	---	------	--------	------	---------

Verifica fessurazione fondazione [Combinazione n° 35 - SLE (Rara) - Sisma Vert. negativo]

N°	X	A _{fi}	A _{fs}	M _p	M _n	M	W	W _{lim}	S _m	ε _{sm}
1	0,03	6,79	6,79	3837	-3837	0	0,00	100,00	0,00	0,00000
2	1,10	6,79	4,52	3821	-3758	864	0,00	100,00	0,00	0,00000
3	2,30	6,79	6,79	3837	-3837	-737	0,00	100,00	0,00	0,00000
4	3,42	6,79	4,52	3821	-3758	801	0,00	100,00	0,00	0,00000
5	4,57	6,79	6,79	3837	-3837	0	0,00	100,00	0,00	0,00000

Verifica fessurazione piedritto sinistro [Combinazione n° 35 - SLE (Rara) - Sisma Vert. negativo]

N°	X	A _{fi}	A _{fs}	M _p	M _n	M	W	W _{lim}	S _m	ε _{sm}
1	0,20	4,52	5,65	2131	-2153	-2999	0,22	100,00	208,92	0,00063
2	1,90	4,52	5,65	2131	-2153	-368	0,00	100,00	0,00	0,00000
3	3,60	4,52	5,65	2131	-2153	0	0,00	100,00	0,00	0,00000

Verifica fessurazione piedritto destro [Combinazione n° 35 - SLE (Rara) - Sisma Vert. negativo]

N°	X	A _{fi}	A _{fs}	M _p	M _n	M	W	W _{lim}	S _m	ε _{sm}
1	0,20	4,52	5,65	2131	-2153	-3209	0,26	100,00	208,92	0,00072
2	1,90	4,52	5,65	2131	-2153	-421	0,00	100,00	0,00	0,00000
3	3,60	4,52	5,65	2131	-2153	0	0,00	100,00	0,00	0,00000

Inviluppo spostamenti nodali

Inviluppo spostamenti fondazione

X [m]	u _{xmin} [cm]	u _{xmax} [cm]	u _{ymin} [cm]	u _{ymax} [cm]
0,00	-0,0322	0,0331	0,0524	0,0867
1,10	-0,0323	0,0330	0,0655	0,0885
2,30	-0,0326	0,0326	0,0658	0,0857
3,43	-0,0330	0,0323	0,0656	0,0883
4,52	-0,0331	0,0322	0,0524	0,0867

Inviluppo spostamenti piedritto sinistro

Y [m]	u _{xmin} [cm]	u _{xmax} [cm]	u _{ymin} [cm]	u _{ymax} [cm]
0,20	-0,0322	0,0331	0,0616	0,0884
1,90	0,0074	0,1206	0,0620	0,0888
3,60	0,0660	0,2478	0,0621	0,0890

Inviluppo spostamenti piedritto destro

Y [m]	u _{xmin} [cm]	u _{xmax} [cm]	u _{ymin} [cm]	u _{ymax} [cm]
0,20	-0,0331	0,0322	0,0616	0,0884
1,90	-0,1206	-0,0074	0,0619	0,0888
3,60	-0,2478	-0,0660	0,0621	0,0890

Inviluppo sollecitazioni nodali

Inviluppo sollecitazioni fondazione

X [m]	M _{min} [kgm]	M _{max} [kgm]	V _{min} [kg]	V _{max} [kg]	N _{min} [kg]	N _{max} [kg]
0,00	0	0	109	181	-409	397
1,10	-2223	-800	-3430	-2465	2689	3650
2,30	-38	1014	-152	486	2689	3598
3,43	-1984	-609	2614	3625	2689	3647
4,60	0	0	-181	-109	-409	397

Inviluppo sollecitazioni piedritto sinistro

Y [m]	M _{min} [kgm]	M _{max} [kgm]	V _{min} [kg]	V _{max} [kg]	N _{min} [kg]	N _{max} [kg]
0,20	-4713	-2867	2584	3908	2495	3315
1,90	-695	-335	619	1102	1248	1658
3,60	0	0	0	0	0	0

Inviluppo sollecitazioni piedritto destro

Y [m]	M _{min} [kgm]	M _{max} [kgm]	V _{min} [kg]	V _{max} [kg]	N _{min} [kg]	N _{max} [kg]
0,20	-4713	-2867	-3908	-2584	2495	3315
1,90	-695	-335	-1102	-619	1248	1657
3,60	0	0	0	0	0	0

Inviluppo pressioni terreno

Inviluppo pressioni sul terreno di fondazione

X [m]	$\sigma_{t\min}$ [kg/cmq]	$\sigma_{t\max}$ [kg/cmq]
0,00	0,26	0,43
1,10	0,33	0,44
2,30	0,33	0,43
3,43	0,33	0,44
4,60	0,26	0,43

Inviluppo verifiche stato limite ultimo (SLU)

Verifica sezioni fondazione (Inviluppo)

Base sezione B = 100 cm

Altezza sezioneH = 40,00 cm

X	A _{fi}	A _{fs}	CS
0,00	6,79	6,79	84,55
1,10	6,79	4,52	3,44
2,30	6,79	6,79	20,77
3,43	6,79	4,52	3,70
4,60	6,79	6,79	84,55

X	V _{Rd}	V _{Rsd}	V _{Rcd}	A _{sw}
0,00	15071	0	0	0,00
1,10	15557	0	0	0,00
2,30	15557	0	0	0,00
3,43	15557	0	0	0,00
4,60	15071	0	0	0,00

Verifica sezioni piedritto sinistro (Inviluppo)

Base sezione B = 100 cm

Altezza sezioneH = 30,00 cm

Y	A _{fi}	A _{fs}	CS
0,20	4,52	5,65	1,27
1,90	4,52	5,65	6,93
3,60	4,52	5,65	1000,00

Y	V _{Rd}	V _{Rsd}	V _{Rcd}	A _{sw}
0,20	12660	0	0	0,00
1,90	12436	0	0	0,00
3,60	12213	0	0	0,00

Verifica sezioni piedritto destro (Inviluppo)

Base sezione B = 100 cm

Altezza sezioneH = 30,00 cm

Y	A_{fi}	A_{fs}	CS
0,20	4,52	5,65	1,27
1,90	4,52	5,65	6,93
3,60	4,52	5,65	1000,00

Y	V_{Rd}	V_{Rsd}	V_{Rcd}	A_{sw}
0,20	12660	0	0	0,00
1,90	12436	0	0	0,00
3,60	12213	0	0	0,00

Inviluppo verifiche stato limite esercizio (SLE)

Verifica sezioni fondazione (Inviluppo)

Base sezione B = 100 cm

Altezza sezioneH = 40,00 cm

X	A_{fi}	A_{fs}	σ_c	σ_{fi}	σ_{fs}
0,00	6,79	6,79	0,02	8,34	8,34
1,10	6,79	4,52	7,56	267,31	82,48
2,30	6,79	6,79	5,34	60,92	156,97
3,43	6,79	4,52	5,96	180,91	67,46
4,60	6,79	6,79	0,02	8,34	8,34

X	τ_c	A_{sw}
0,00	0,0	0,00
1,10	-0,9	0,00
2,30	0,1	0,00
3,43	0,9	0,00
4,60	0,0	0,00

Verifica sezioni piedritto sinistro (Inviluppo)

Base sezione B = 100 cm

Altezza sezioneH = 30,00 cm

Y	A_{fi}	A_{fs}	σ_c	σ_{fi}	σ_{fs}
0,20	4,52	5,65	41,69	323,21	2093,67
1,90	4,52	5,65	5,55	51,63	201,82
3,60	4,52	5,65	0,00	0,00	0,00

Y	τ_c	A_{sw}
0,20	1,2	0,00
1,90	0,3	0,00
3,60	0,0	0,00

Verifica sezioni piedritto destro (Inviluppo)

Base sezione B = 100 cm

Altezza sezioneH = 30,00 cm

Y	A_{fi}	A_{fs}	σ_c	σ_{fi}	σ_{fs}
0,20	4,52	5,65	41,69	323,21	2093,67
1,90	4,52	5,65	5,55	51,63	201,82
3,60	4,52	5,65	0,00	0,00	0,00

Y	τ_c	A_{sw}
0,20	-1,2	0,00
1,90	-0,3	0,00
3,60	0,0	0,00

Schema Strutturale

Area ed Inerzia elementi

Destinazione	Area [cmq]	Inerzia [cm^4]
Fondazione	4000,00	533333,33
Piedritto sinistro	3000,00	225000,00
Piedritto destro	3000,00	225000,00

Simbologia adottata ed unità di misura

<i>N</i>	indice elemento
<i>N_i</i>	indice nodo iniziale elemento
<i>N_j</i>	indice nodo finale elemento
(<i>X_i, Y_i</i>)	coordinate nodo iniziale, espresse in cm
(<i>X_j, Y_j</i>)	coordinate nodo finale, espresse in cm
<i>Dest</i>	appartenenza elemento

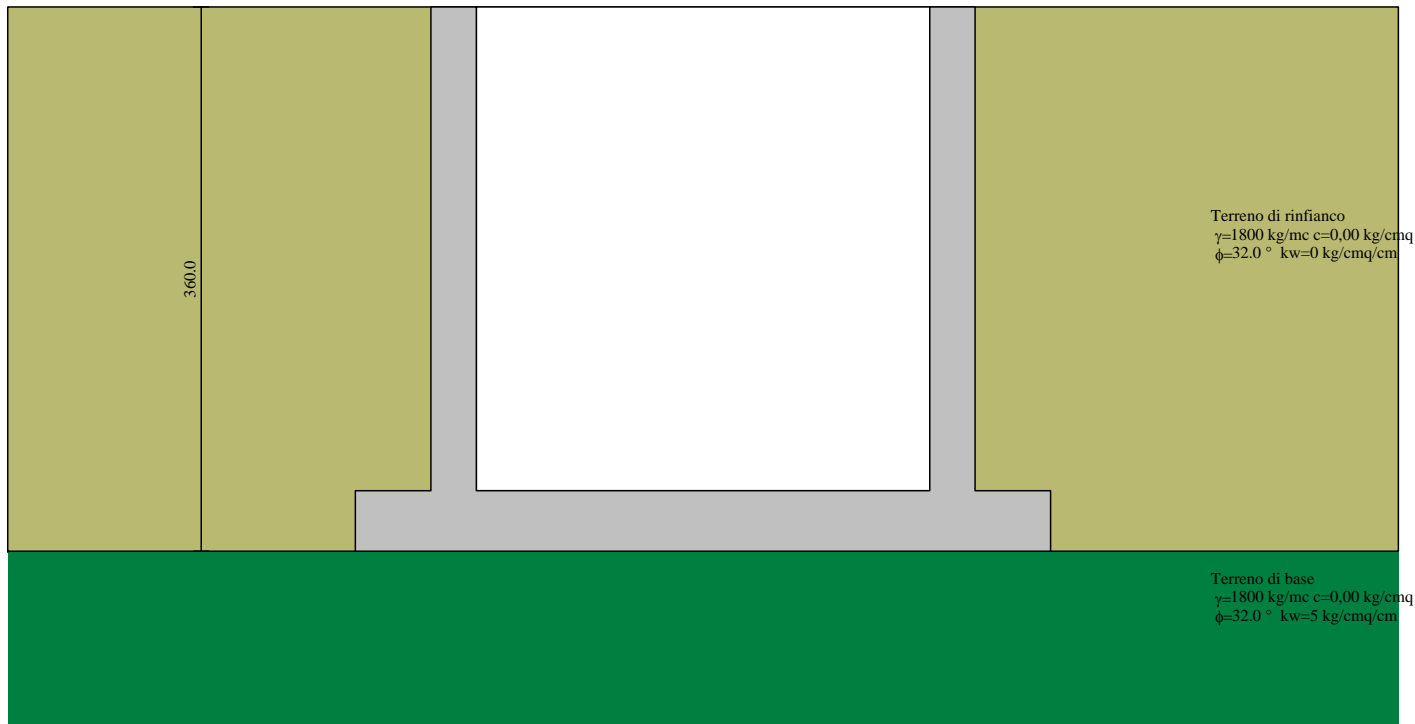
N	N _i	N _j	X _i	Y _i	X _j	Y _j	Dest
1	1	2	0,00	20,00	8,33	20,00	Fond
2	2	3	8,33	20,00	16,67	20,00	Fond
3	3	4	16,67	20,00	25,00	20,00	Fond
4	4	5	25,00	20,00	33,33	20,00	Fond
5	5	6	33,33	20,00	41,67	20,00	Fond
6	6	7	41,67	20,00	50,00	20,00	Fond
7	7	8	50,00	20,00	57,50	20,00	Fond
8	8	9	57,50	20,00	65,00	20,00	Fond
9	9	10	65,00	20,00	72,50	20,00	Fond
10	10	11	72,50	20,00	80,00	20,00	Fond
11	11	12	80,00	20,00	90,00	20,00	Fond
12	12	13	90,00	20,00	100,00	20,00	Fond
13	13	14	100,00	20,00	110,00	20,00	Fond
14	14	15	110,00	20,00	120,00	20,00	Fond
15	15	16	120,00	20,00	130,00	20,00	Fond
16	16	17	130,00	20,00	140,00	20,00	Fond
17	17	18	140,00	20,00	150,00	20,00	Fond
18	18	19	150,00	20,00	160,00	20,00	Fond
19	19	20	160,00	20,00	170,00	20,00	Fond
20	20	21	170,00	20,00	180,00	20,00	Fond
21	21	22	180,00	20,00	190,00	20,00	Fond
22	22	23	190,00	20,00	200,00	20,00	Fond
23	23	24	200,00	20,00	210,00	20,00	Fond
24	24	25	210,00	20,00	220,00	20,00	Fond
25	25	26	220,00	20,00	230,00	20,00	Fond
26	26	27	230,00	20,00	239,37	20,00	Fond
27	27	28	239,37	20,00	248,75	20,00	Fond
28	28	29	248,75	20,00	258,13	20,00	Fond
29	29	30	258,13	20,00	267,50	20,00	Fond
30	30	31	267,50	20,00	276,88	20,00	Fond
31	31	32	276,88	20,00	286,25	20,00	Fond
32	32	33	286,25	20,00	295,63	20,00	Fond
33	33	34	295,63	20,00	305,00	20,00	Fond
34	34	35	305,00	20,00	314,38	20,00	Fond
35	35	36	314,38	20,00	323,75	20,00	Fond
36	36	37	323,75	20,00	333,13	20,00	Fond
37	37	38	333,13	20,00	342,50	20,00	Fond
38	38	39	342,50	20,00	351,88	20,00	Fond
39	39	40	351,88	20,00	361,25	20,00	Fond
40	40	41	361,25	20,00	370,63	20,00	Fond
41	41	42	370,63	20,00	380,00	20,00	Fond
42	42	43	380,00	20,00	387,50	20,00	Fond

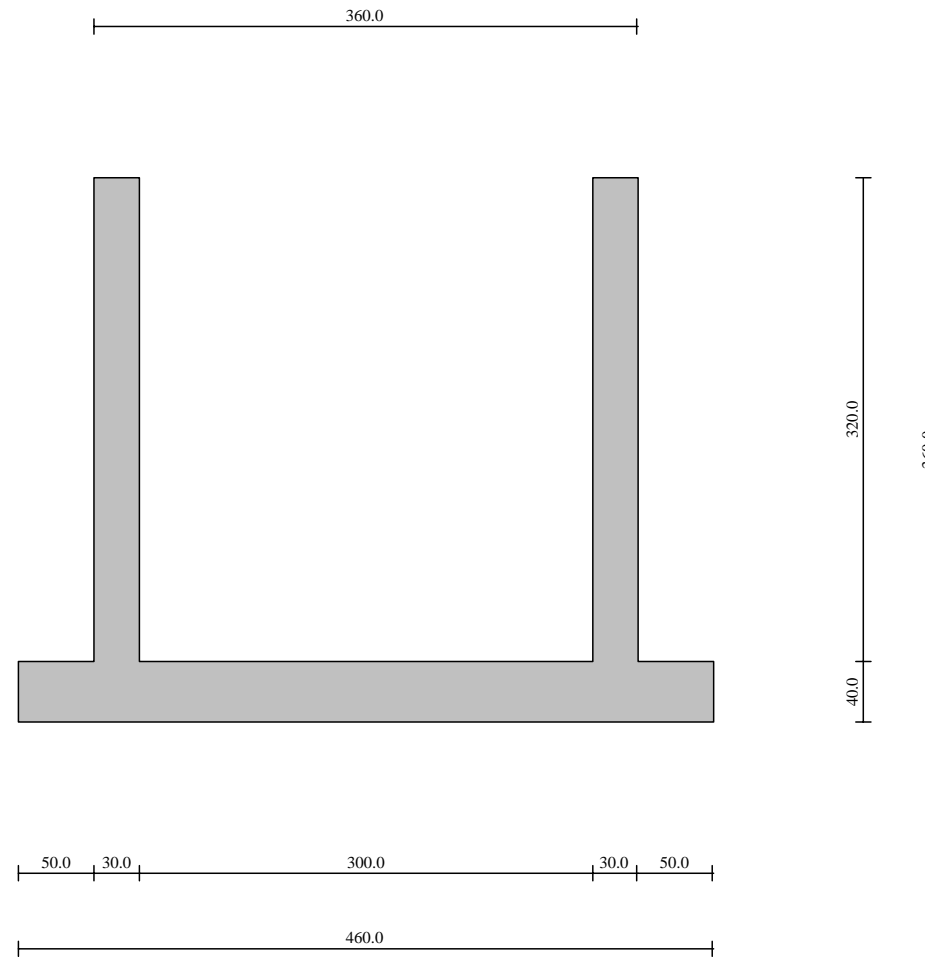
43	43	44	387,50	20,00	395,00	20,00	Fond
44	44	45	395,00	20,00	402,50	20,00	Fond
45	45	46	402,50	20,00	410,00	20,00	Fond
46	46	47	410,00	20,00	418,33	20,00	Fond
47	47	48	418,33	20,00	426,67	20,00	Fond
48	48	49	426,67	20,00	435,00	20,00	Fond
49	49	50	435,00	20,00	443,33	20,00	Fond
50	50	51	443,33	20,00	451,67	20,00	Fond
51	51	52	451,67	20,00	460,00	20,00	Fond
52	9	107	65,00	20,00	65,00	29,44	PiedL
53	107	108	65,00	29,44	65,00	38,89	PiedL
54	108	109	65,00	38,89	65,00	48,33	PiedL
55	109	110	65,00	48,33	65,00	57,78	PiedL
56	110	111	65,00	57,78	65,00	67,22	PiedL
57	111	112	65,00	67,22	65,00	76,67	PiedL
58	112	113	65,00	76,67	65,00	86,11	PiedL
59	113	114	65,00	86,11	65,00	95,56	PiedL
60	114	115	65,00	95,56	65,00	105,00	PiedL
61	115	116	65,00	105,00	65,00	114,44	PiedL
62	116	117	65,00	114,44	65,00	123,89	PiedL
63	117	118	65,00	123,89	65,00	133,33	PiedL
64	118	119	65,00	133,33	65,00	142,78	PiedL
65	119	120	65,00	142,78	65,00	152,22	PiedL
66	120	121	65,00	152,22	65,00	161,67	PiedL
67	121	122	65,00	161,67	65,00	171,11	PiedL
68	122	123	65,00	171,11	65,00	180,56	PiedL
69	123	124	65,00	180,56	65,00	190,00	PiedL
70	124	125	65,00	190,00	65,00	199,44	PiedL
71	125	126	65,00	199,44	65,00	208,89	PiedL
72	126	127	65,00	208,89	65,00	218,33	PiedL
73	127	128	65,00	218,33	65,00	227,78	PiedL
74	128	129	65,00	227,78	65,00	237,22	PiedL
75	129	130	65,00	237,22	65,00	246,67	PiedL
76	130	131	65,00	246,67	65,00	256,11	PiedL
77	131	132	65,00	256,11	65,00	265,56	PiedL
78	132	133	65,00	265,56	65,00	275,00	PiedL
79	133	134	65,00	275,00	65,00	284,44	PiedL
80	134	135	65,00	284,44	65,00	293,89	PiedL
81	135	136	65,00	293,89	65,00	303,33	PiedL
82	136	137	65,00	303,33	65,00	312,78	PiedL
83	137	138	65,00	312,78	65,00	322,22	PiedL
84	138	139	65,00	322,22	65,00	331,67	PiedL
85	139	140	65,00	331,67	65,00	341,11	PiedL
86	140	141	65,00	341,11	65,00	350,56	PiedL
87	141	142	65,00	350,56	65,00	360,00	PiedL
88	44	179	395,00	20,00	395,00	29,44	PiedR
89	179	180	395,00	29,44	395,00	38,89	PiedR
90	180	181	395,00	38,89	395,00	48,33	PiedR
91	181	182	395,00	48,33	395,00	57,78	PiedR
92	182	183	395,00	57,78	395,00	67,22	PiedR
93	183	184	395,00	67,22	395,00	76,67	PiedR
94	184	185	395,00	76,67	395,00	86,11	PiedR
95	185	186	395,00	86,11	395,00	95,56	PiedR
96	186	187	395,00	95,56	395,00	105,00	PiedR
97	187	188	395,00	105,00	395,00	114,44	PiedR
98	188	189	395,00	114,44	395,00	123,89	PiedR
99	189	190	395,00	123,89	395,00	133,33	PiedR
100	190	191	395,00	133,33	395,00	142,78	PiedR
101	191	192	395,00	142,78	395,00	152,22	PiedR
102	192	193	395,00	152,22	395,00	161,67	PiedR
103	193	194	395,00	161,67	395,00	171,11	PiedR
104	194	195	395,00	171,11	395,00	180,56	PiedR

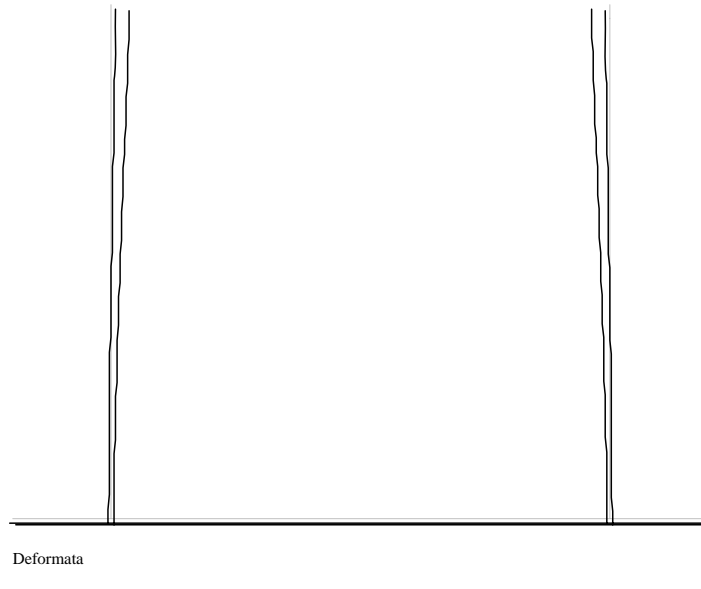
105	195	196	395,00	180,56	395,00	190,00	PiedR
106	196	197	395,00	190,00	395,00	199,44	PiedR
107	197	198	395,00	199,44	395,00	208,89	PiedR
108	198	199	395,00	208,89	395,00	218,33	PiedR
109	199	200	395,00	218,33	395,00	227,78	PiedR
110	200	201	395,00	227,78	395,00	237,22	PiedR
111	201	202	395,00	237,22	395,00	246,67	PiedR
112	202	203	395,00	246,67	395,00	256,11	PiedR
113	203	204	395,00	256,11	395,00	265,56	PiedR
114	204	205	395,00	265,56	395,00	275,00	PiedR
115	205	206	395,00	275,00	395,00	284,44	PiedR
116	206	207	395,00	284,44	395,00	293,89	PiedR
117	207	208	395,00	293,89	395,00	303,33	PiedR
118	208	209	395,00	303,33	395,00	312,78	PiedR
119	209	210	395,00	312,78	395,00	322,22	PiedR
120	210	211	395,00	322,22	395,00	331,67	PiedR
121	211	212	395,00	331,67	395,00	341,11	PiedR
122	212	213	395,00	341,11	395,00	350,56	PiedR
123	213	214	395,00	350,56	395,00	360,00	PiedR
124	1	53	0,00	20,00	0,00	-80,00	MollaF
125	2	54	8,33	20,00	8,33	-80,00	MollaF
126	3	55	16,67	20,00	16,67	-80,00	MollaF
127	4	56	25,00	20,00	25,00	-80,00	MollaF
128	5	57	33,33	20,00	33,33	-80,00	MollaF
129	6	58	41,67	20,00	41,67	-80,00	MollaF
130	7	59	50,00	20,00	50,00	-80,00	MollaF
131	8	60	57,50	20,00	57,50	-80,00	MollaF
132	9	61	65,00	20,00	65,00	-80,00	MollaF
133	10	62	72,50	20,00	72,50	-80,00	MollaF
134	11	63	80,00	20,00	80,00	-80,00	MollaF
135	12	64	90,00	20,00	90,00	-80,00	MollaF
136	13	65	100,00	20,00	100,00	-80,00	MollaF
137	14	66	110,00	20,00	110,00	-80,00	MollaF
138	15	67	120,00	20,00	120,00	-80,00	MollaF
139	16	68	130,00	20,00	130,00	-80,00	MollaF
140	17	69	140,00	20,00	140,00	-80,00	MollaF
141	18	70	150,00	20,00	150,00	-80,00	MollaF
142	19	71	160,00	20,00	160,00	-80,00	MollaF
143	20	72	170,00	20,00	170,00	-80,00	MollaF
144	21	73	180,00	20,00	180,00	-80,00	MollaF
145	22	74	190,00	20,00	190,00	-80,00	MollaF
146	23	75	200,00	20,00	200,00	-80,00	MollaF
147	24	76	210,00	20,00	210,00	-80,00	MollaF
148	25	77	220,00	20,00	220,00	-80,00	MollaF
149	26	78	230,00	20,00	230,00	-80,00	MollaF
150	27	79	239,37	20,00	239,37	-80,00	MollaF
151	28	80	248,75	20,00	248,75	-80,00	MollaF
152	29	81	258,13	20,00	258,13	-80,00	MollaF
153	30	82	267,50	20,00	267,50	-80,00	MollaF
154	31	83	276,88	20,00	276,88	-80,00	MollaF
155	32	84	286,25	20,00	286,25	-80,00	MollaF
156	33	85	295,63	20,00	295,63	-80,00	MollaF
157	34	86	305,00	20,00	305,00	-80,00	MollaF
158	35	87	314,38	20,00	314,38	-80,00	MollaF
159	36	88	323,75	20,00	323,75	-80,00	MollaF
160	37	89	333,13	20,00	333,13	-80,00	MollaF
161	38	90	342,50	20,00	342,50	-80,00	MollaF
162	39	91	351,88	20,00	351,88	-80,00	MollaF
163	40	92	361,25	20,00	361,25	-80,00	MollaF
164	41	93	370,63	20,00	370,63	-80,00	MollaF
165	42	94	380,00	20,00	380,00	-80,00	MollaF
166	43	95	387,50	20,00	387,50	-80,00	MollaF

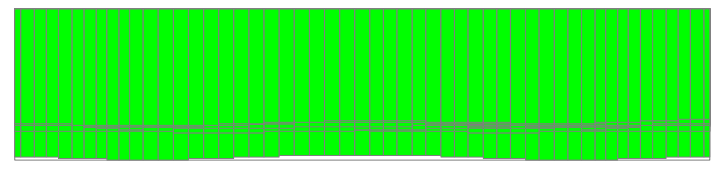
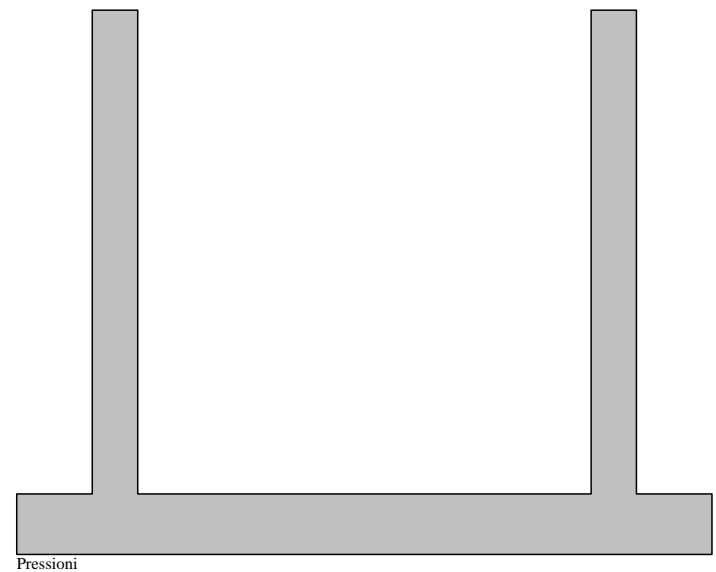
167	44	96	395,00	20,00	395,00	-80,00	MollaF
168	45	97	402,50	20,00	402,50	-80,00	MollaF
169	46	98	410,00	20,00	410,00	-80,00	MollaF
170	47	99	418,33	20,00	418,33	-80,00	MollaF
171	48	100	426,67	20,00	426,67	-80,00	MollaF
172	49	101	435,00	20,00	435,00	-80,00	MollaF
173	50	102	443,33	20,00	443,33	-80,00	MollaF
174	51	103	451,67	20,00	451,67	-80,00	MollaF
175	52	104	460,00	20,00	460,00	-80,00	MollaF
176	1	105	0,00	20,00	-100,00	20,00	MollaPL
177	107	143	65,00	29,44	-35,00	29,44	MollaPL
178	108	144	65,00	38,89	-35,00	38,89	MollaPL
179	109	145	65,00	48,33	-35,00	48,33	MollaPL
180	110	146	65,00	57,78	-35,00	57,78	MollaPL
181	111	147	65,00	67,22	-35,00	67,22	MollaPL
182	112	148	65,00	76,67	-35,00	76,67	MollaPL
183	113	149	65,00	86,11	-35,00	86,11	MollaPL
184	114	150	65,00	95,56	-35,00	95,56	MollaPL
185	115	151	65,00	105,00	-35,00	105,00	MollaPL
186	116	152	65,00	114,44	-35,00	114,44	MollaPL
187	117	153	65,00	123,89	-35,00	123,89	MollaPL
188	118	154	65,00	133,33	-35,00	133,33	MollaPL
189	119	155	65,00	142,78	-35,00	142,78	MollaPL
190	120	156	65,00	152,22	-35,00	152,22	MollaPL
191	121	157	65,00	161,67	-35,00	161,67	MollaPL
192	122	158	65,00	171,11	-35,00	171,11	MollaPL
193	123	159	65,00	180,56	-35,00	180,56	MollaPL
194	124	160	65,00	190,00	-35,00	190,00	MollaPL
195	125	161	65,00	199,44	-35,00	199,44	MollaPL
196	126	162	65,00	208,89	-35,00	208,89	MollaPL
197	127	163	65,00	218,33	-35,00	218,33	MollaPL
198	128	164	65,00	227,78	-35,00	227,78	MollaPL
199	129	165	65,00	237,22	-35,00	237,22	MollaPL
200	130	166	65,00	246,67	-35,00	246,67	MollaPL
201	131	167	65,00	256,11	-35,00	256,11	MollaPL
202	132	168	65,00	265,56	-35,00	265,56	MollaPL
203	133	169	65,00	275,00	-35,00	275,00	MollaPL
204	134	170	65,00	284,44	-35,00	284,44	MollaPL
205	135	171	65,00	293,89	-35,00	293,89	MollaPL
206	136	172	65,00	303,33	-35,00	303,33	MollaPL
207	137	173	65,00	312,78	-35,00	312,78	MollaPL
208	138	174	65,00	322,22	-35,00	322,22	MollaPL
209	139	175	65,00	331,67	-35,00	331,67	MollaPL
210	140	176	65,00	341,11	-35,00	341,11	MollaPL
211	141	177	65,00	350,56	-35,00	350,56	MollaPL
212	142	178	65,00	360,00	-35,00	360,00	MollaPL
213	52	106	460,00	20,00	560,00	20,00	MollaPR
214	179	215	395,00	29,44	495,00	29,44	MollaPR
215	180	216	395,00	38,89	495,00	38,89	MollaPR
216	181	217	395,00	48,33	495,00	48,33	MollaPR
217	182	218	395,00	57,78	495,00	57,78	MollaPR
218	183	219	395,00	67,22	495,00	67,22	MollaPR
219	184	220	395,00	76,67	495,00	76,67	MollaPR
220	185	221	395,00	86,11	495,00	86,11	MollaPR
221	186	222	395,00	95,56	495,00	95,56	MollaPR
222	187	223	395,00	105,00	495,00	105,00	MollaPR
223	188	224	395,00	114,44	495,00	114,44	MollaPR
224	189	225	395,00	123,89	495,00	123,89	MollaPR
225	190	226	395,00	133,33	495,00	133,33	MollaPR
226	191	227	395,00	142,78	495,00	142,78	MollaPR
227	192	228	395,00	152,22	495,00	152,22	MollaPR
228	193	229	395,00	161,67	495,00	161,67	MollaPR

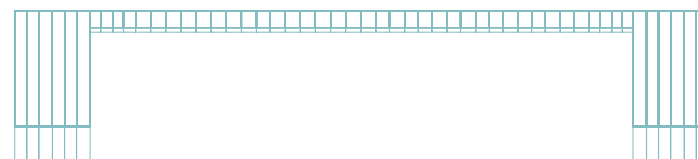
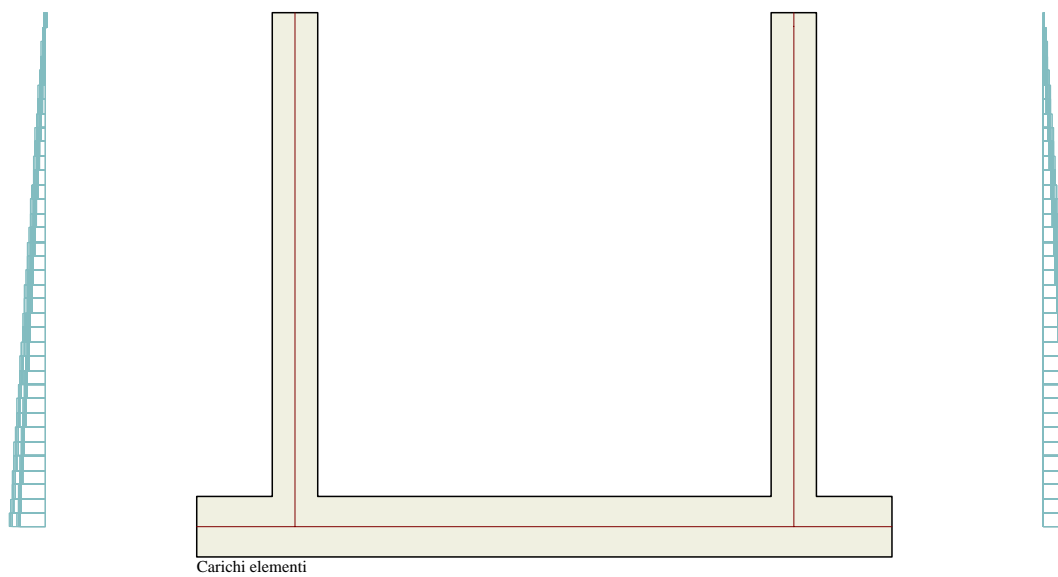
229	194	230	395,00	171,11	495,00	171,11	MollaPR
230	195	231	395,00	180,56	495,00	180,56	MollaPR
231	196	232	395,00	190,00	495,00	190,00	MollaPR
232	197	233	395,00	199,44	495,00	199,44	MollaPR
233	198	234	395,00	208,89	495,00	208,89	MollaPR
234	199	235	395,00	218,33	495,00	218,33	MollaPR
235	200	236	395,00	227,78	495,00	227,78	MollaPR
236	201	237	395,00	237,22	495,00	237,22	MollaPR
237	202	238	395,00	246,67	495,00	246,67	MollaPR
238	203	239	395,00	256,11	495,00	256,11	MollaPR
239	204	240	395,00	265,56	495,00	265,56	MollaPR
240	205	241	395,00	275,00	495,00	275,00	MollaPR
241	206	242	395,00	284,44	495,00	284,44	MollaPR
242	207	243	395,00	293,89	495,00	293,89	MollaPR
243	208	244	395,00	303,33	495,00	303,33	MollaPR
244	209	245	395,00	312,78	495,00	312,78	MollaPR
245	210	246	395,00	322,22	495,00	322,22	MollaPR
246	211	247	395,00	331,67	495,00	331,67	MollaPR
247	212	248	395,00	341,11	495,00	341,11	MollaPR
248	213	249	395,00	350,56	495,00	350,56	MollaPR
249	214	250	395,00	360,00	495,00	360,00	MollaPR

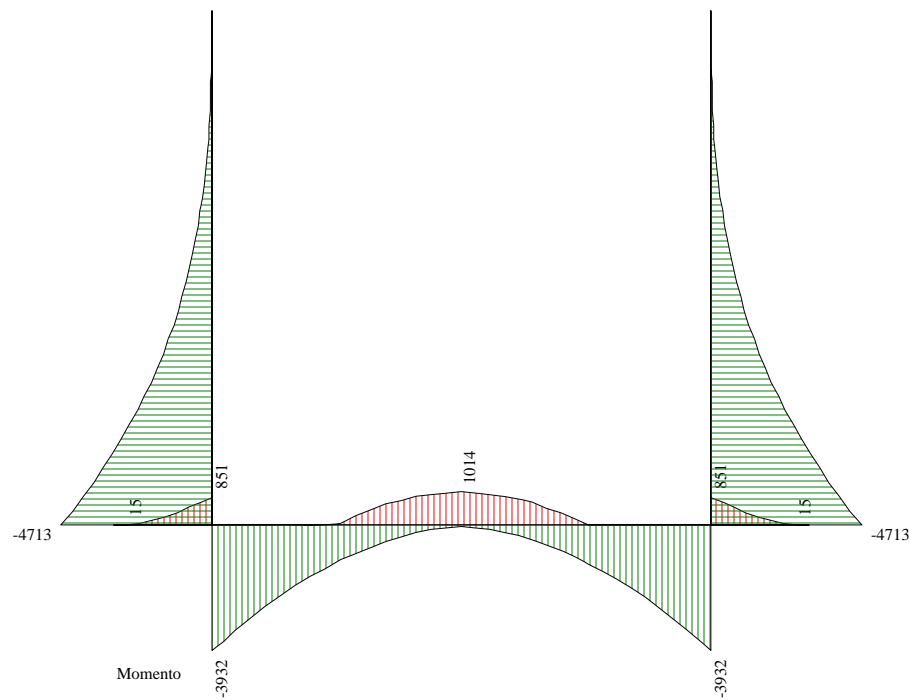




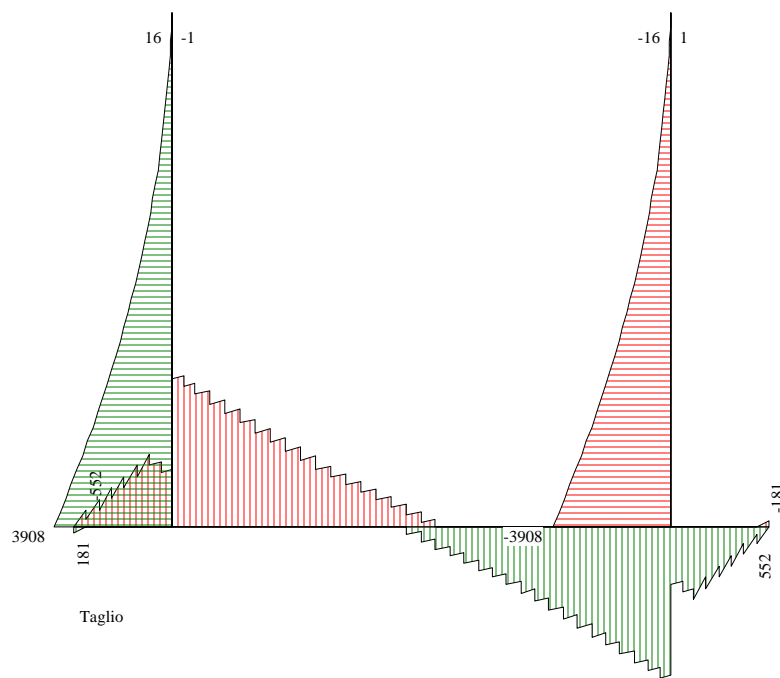






 4712,6 kgm

 4993,1 kg





3669,2 kg

